

UNIVERSIDADE DE SÃO PAULO  
Instituto de Ciências Matemáticas e de Computação  
ISSN 0103-2569

---

**Relatório Técnico do Freeflow-2D**

**Juliana de Oliveira  
Antonio Castelo Filho**

**Nº 117**

---

**RELATÓRIOS TÉCNICOS**



**São Carlos – SP  
Jul./2000**

SYSNO	<u>102592</u>
DATA	<u>1</u> <u>1</u>
ICMC - SBAB	

Departamento de Computação e Estatística  
Instituto de Ciências Matemáticas e de Computação  
Universidade de São Paulo - Campus de São Carlos  
Caixa Postal 668  
13560-970 São Carlos SP

## **Relatório Técnico do Freeflow-2D**

JULIANA DE OLIVEIRA

ANTONIO CASTELO FILHO

USP - São Carlos  
2000

# Sumário

<b>Introdução</b> . . . . .	<b>1</b>
<b>1 Simulador</b> . . . . .	<b>3</b>
1.1 Considerações Iniciais . . . . .	3
1.2 Cálculo das Velocidades $u$ e $v$ pelas Condições de Contorno na Superfície Livre . . . . .	4
1.3 Cálculo das Velocidades Tangenciais $u$ e $v$ das Células S com as Células V . . . . .	16
1.4 Cálculo das Velocidades $u$ e $v$ pelas Condições de Contorno no Contorno Rígido . . . . .	19
1.5 Cálculo das Velocidades Tangenciais $u$ e $v$ nos Injetores . . . . .	60
1.6 Cálculo da Pressão $p$ nas Condições de Contorno na Superfície Livre . . . . .	62
1.7 Cálculo das Velocidades Intermediárias . . . . .	72
1.8 Resolução da Equação de Poisson . . . . .	79
1.9 Cálculo das Velocidades Finais $u$ e $v$ . . . . .	83
1.10 Eliminação das Partículas Virtuais . . . . .	89
1.11 Cálculo das Velocidades $u$ e $v$ das Partículas Virtuais . . . . .	90
1.12 Inserção das Partículas Virtuais . . . . .	99
1.13 Redefinição das Células Após o Movimento das Partículas Virtuais . . . . .	100
1.14 Considerações Finais . . . . .	102
<b>2 Modelador</b> . . . . .	<b>103</b>
2.1 Considerações Iniciais . . . . .	103
2.2 Intersecções nas Células . . . . .	103
2.3 Estrutura dos Objetos Geométricos . . . . .	110
2.4 Considerações Finais . . . . .	116
<b>Bibliografia</b> . . . . .	<b>117</b>

# Lista de Figuras

1.1 Célula S tendo a face $i + \frac{1}{2}$ em contato com a célula V . . . . .	4
1.2 Célula S tendo a face $j + \frac{1}{2}$ em contato com a célula V . . . . .	5
1.3 Célula S tendo a face $i - \frac{1}{2}$ em contato com a célula V . . . . .	5
1.4 Célula S tendo a face $j - \frac{1}{2}$ em contato com a célula V . . . . .	6
1.5 Célula S tendo as faces $i + \frac{1}{2}$ e $j + \frac{1}{2}$ em contato com células V . . . . .	7
1.6 Célula S tendo as faces $i - \frac{1}{2}$ e $j + \frac{1}{2}$ em contato com células V . . . . .	7
1.7 Célula S tendo as faces $i + \frac{1}{2}$ e $j - \frac{1}{2}$ em contato com células V . . . . .	8
1.8 Célula S tendo as faces $i - \frac{1}{2}$ e $j - \frac{1}{2}$ em contato com células V . . . . .	9
1.9 Célula S tendo as faces $i + \frac{1}{2}$ e $i - \frac{1}{2}$ em contato com células V . . . . .	9
1.10 Célula S tendo as faces $j + \frac{1}{2}$ e $j - \frac{1}{2}$ em contato com células V . . . . .	10
1.11 Célula S tendo as faces $i + \frac{1}{2}$ , $i - \frac{1}{2}$ e $j + \frac{1}{2}$ em contato com células V . . . . .	11
1.12 Célula S tendo as faces $i + \frac{1}{2}$ , $j + \frac{1}{2}$ e $j - \frac{1}{2}$ em contato com células V . . . . .	12
1.13 Célula S tendo as faces $i + \frac{1}{2}$ , $i - \frac{1}{2}$ e $j - \frac{1}{2}$ em contato com células V . . . . .	13
1.14 Célula S tendo as faces $i - \frac{1}{2}$ , $j + \frac{1}{2}$ e $j - \frac{1}{2}$ em contato com células V . . . . .	14
1.15 Célula S tendo as faces $i + \frac{1}{2}$ , $i - \frac{1}{2}$ , $j + \frac{1}{2}$ e $j - \frac{1}{2}$ em contato com células V . . . . .	15
1.16 Células $i, j$ e $i + 1, j$ são S e as células $i, j + 1$ e $i + 1, j + 1$ são V . . . . .	16
1.17 Células $i, j$ e $i + 1, j$ são S e as células $i, j - 1$ e $i + 1, j - 1$ são V . . . . .	17
1.18 Células $i, j$ e $i, j + 1$ são S e as células $i + 1, j$ e $i + 1, j + 1$ são V . . . . .	18
1.19 Células $i, j$ e $i, j + 1$ são S e as células $i - 1, j$ e $i - 1, j + 1$ são V . . . . .	18
1.20 Célula F com a face $i + \frac{1}{2}$ em contato com células S ou C . . . . .	19
1.21 Velocidades utilizadas para o cálculo de $u_{i+\frac{3}{2},j}$ . . . . .	20
1.22 Velocidades utilizadas para o cálculo de $v_{i+1,j+\frac{1}{2}}$ . . . . .	20
1.23 Velocidades utilizadas para o cálculo de $v_{i+1,j-\frac{1}{2}}$ . . . . .	21
1.24 Célula F com a face $i + \frac{1}{2}$ em contato com células S ou C - cálculo de $u_{i+\frac{1}{2},j}$ . . . . .	21
1.25 Célula F com a face $i + \frac{1}{2}$ em contato com células S ou C - cálculo de $v_{i,j+\frac{1}{2}}$ . . . . .	22
1.26 Célula F com a face $i + \frac{1}{2}$ em contato com células S ou C - cálculo de $v_{i,j-\frac{1}{2}}$ . . . . .	22
1.27 Célula F com a face $i - \frac{1}{2}$ em contato com células S ou C . . . . .	23
1.28 Velocidades utilizadas para o cálculo de $u_{i-\frac{3}{2},j}$ . . . . .	23
1.29 Velocidades utilizadas para o cálculo de $v_{i-1,j+\frac{1}{2}}$ . . . . .	24
1.30 Velocidades utilizadas para o cálculo de $v_{i-1,j-\frac{1}{2}}$ . . . . .	25
1.31 Célula F com a face $i - \frac{1}{2}$ em contato com células S ou C - cálculo de $u_{i-\frac{1}{2},j}$ . . . . .	25
1.32 Célula F com a face $i - \frac{1}{2}$ em contato com células S ou C - cálculo de $v_{i,j+\frac{1}{2}}$ . . . . .	26

1.33 Célula F com a face $i - \frac{1}{2}$ em contato com células S ou C - cálculo de $v_{i,j-\frac{1}{2}}$	26
1.34 Célula F com a face $j + \frac{1}{2}$ em contato com células S ou C . . . . .	27
1.35 Velocidades utilizadas para o cálculo de $u_{i+\frac{1}{2},j+1}$ . . . . .	27
1.36 Velocidades utilizadas para o cálculo de $u_{i-\frac{1}{2},j+1}$ . . . . .	28
1.37 Velocidades utilizadas para o cálculo de $v_{i,j+\frac{3}{2}}$ . . . . .	29
1.38 Célula F com a face $j + \frac{1}{2}$ em contato com células S ou C - cálculo de $u_{i+\frac{1}{2},j}$	29
1.39 Célula F com a face $j + \frac{1}{2}$ em contato com células S ou C - cálculo de $u_{i-\frac{1}{2},j}$	30
1.40 Célula F com a face $j + \frac{1}{2}$ em contato com células S ou C - cálculo de $v_{i,j+\frac{1}{2}}$	31
1.41 Célula F com a face $j - \frac{1}{2}$ em contato com células S ou C . . . . .	32
1.42 Velocidades utilizadas para o cálculo de $u_{i+\frac{1}{2},j-1}$ . . . . .	32
1.43 Velocidades utilizadas para o cálculo de $u_{i-\frac{1}{2},j-1}$ . . . . .	33
1.44 Velocidades utilizadas para o cálculo de $v_{i,j-\frac{3}{2}}$ . . . . .	33
1.45 Célula F com a face $j - \frac{1}{2}$ em contato com células S ou C - cálculo de $u_{i+\frac{1}{2},j}$	34
1.46 Célula F com a face $j - \frac{1}{2}$ em contato com células S ou C - cálculo de $u_{i-\frac{1}{2},j}$	35
1.47 Célula F com a face $j - \frac{1}{2}$ em contato com células S ou C - cálculo de $v_{i,j-\frac{1}{2}}$	36
1.48 Célula F com a face $i + \frac{1}{2}$ e $j + \frac{1}{2}$ em contato com células S ou C . . . . .	37
1.49 Velocidades utilizadas para o cálculo de $u_{i+\frac{3}{2},j}$ e $u_{i+\frac{1}{2},j+1}$ . . . . .	37
1.50 Velocidades utilizadas para o cálculo de $v_{i+1,j+\frac{1}{2}}$ e $v_{i,j+\frac{3}{2}}$ . . . . .	38
1.51 Célula F com as faces $i + \frac{1}{2}$ e $j + \frac{1}{2}$ em contato com células S ou C - cálculo de $u_{i+\frac{1}{2},j}$ . . . . .	39
1.52 Célula F com as faces $i + \frac{1}{2}$ e $j + \frac{1}{2}$ em contato com células S ou C - cálculo de $u_{i+\frac{1}{2},j}$ na direção x . . . . .	39
1.53 Célula F com as faces $i + \frac{1}{2}$ e $j + \frac{1}{2}$ em contato com células S ou C - cálculo de $u_{i+\frac{1}{2},j}$ na direção y . . . . .	40
1.54 Célula F com a face $i + \frac{1}{2}$ e $j + \frac{1}{2}$ em contato com células S ou C - cálculo de $v_{i,j+\frac{1}{2}}$ . . . . .	41
1.55 Célula F com as faces $i + \frac{1}{2}$ e $j + \frac{1}{2}$ em contato com células S ou C - cálculo de $v_{i,j+\frac{1}{2}}$ na direção x . . . . .	41
1.56 Célula F com as faces $i + \frac{1}{2}$ e $j + \frac{1}{2}$ em contato com células S ou C - cálculo de $v_{i,j+\frac{1}{2}}$ na direção y . . . . .	42
1.57 Célula F com a face $i - \frac{1}{2}$ e $j + \frac{1}{2}$ em contato com células S ou C . . . . .	43
1.58 Velocidades utilizadas para o cálculo de $u_{i-\frac{3}{2},j}$ e $u_{i-\frac{1}{2},j+1}$ . . . . .	43
1.59 Velocidades utilizadas para o cálculo de $v_{i-1,j+\frac{1}{2}}$ e $v_{i,j+\frac{3}{2}}$ . . . . .	44
1.60 Célula F com as faces $i - \frac{1}{2}$ e $j + \frac{1}{2}$ em contato com células S ou C - cálculo de $u_{i-\frac{1}{2},j}$ . . . . .	45
1.61 Célula F com as faces $i - \frac{1}{2}$ e $j + \frac{1}{2}$ em contato com células S ou C - cálculo de $u_{i-\frac{1}{2},j}$ na direção x . . . . .	45
1.62 Célula F com as faces $i - \frac{1}{2}$ e $j + \frac{1}{2}$ em contato com células S ou C - cálculo de $u_{i-\frac{1}{2},j}$ na direção y . . . . .	46

1.63 Célula F com a face $i - \frac{1}{2}$ e $j + \frac{1}{2}$ em contato com células S ou C - cálculo de $v_{i,j+\frac{1}{2}}$ . . . . .	47
1.64 Célula F com as faces $i - \frac{1}{2}$ e $j + \frac{1}{2}$ em contato com células S ou C - cálculo de $v_{i,j+\frac{1}{2}}$ na direção x . . . . .	47
1.65 Célula F com as faces $i - \frac{1}{2}$ e $j + \frac{1}{2}$ em contato com células S ou C - cálculo de $v_{i,j+\frac{1}{2}}$ na direção y . . . . .	48
1.66 Célula F com a face $i + \frac{1}{2}$ e $j - \frac{1}{2}$ em contato com células S ou C . . . . .	49
1.67 Velocidades utilizadas para o cálculo de $u_{i+\frac{3}{2},j}$ e $u_{i+\frac{1}{2},j-1}$ . . . . .	49
1.68 Velocidades utilizadas para o cálculo de $v_{i+1,j-\frac{1}{2}}$ e $v_{i,j-\frac{3}{2}}$ . . . . .	50
1.69 Célula F com as faces $i + \frac{1}{2}$ e $j - \frac{1}{2}$ em contato com células S ou C - cálculo de $u_{i+\frac{1}{2},j}$ . . . . .	51
1.70 Célula F com as faces $i + \frac{1}{2}$ e $j - \frac{1}{2}$ em contato com células S ou C - cálculo de $u_{i+\frac{1}{2},j}$ na direção x . . . . .	51
1.71 Célula F com as faces $i + \frac{1}{2}$ e $j - \frac{1}{2}$ em contato com células S ou C - cálculo de $u_{i+\frac{1}{2},j}$ na direção y . . . . .	52
1.72 Célula F com a face $i + \frac{1}{2}$ e $j - \frac{1}{2}$ em contato com células S ou C - cálculo de $v_{i,j-\frac{1}{2}}$ . . . . .	53
1.73 Célula F com as faces $i + \frac{1}{2}$ e $j - \frac{1}{2}$ em contato com células S ou C - cálculo de $v_{i,j-\frac{1}{2}}$ na direção x . . . . .	53
1.74 Célula F com as faces $i + \frac{1}{2}$ e $j - \frac{1}{2}$ em contato com células S ou C - cálculo de $v_{i,j-\frac{1}{2}}$ na direção y . . . . .	54
1.75 Célula F com a face $i - \frac{1}{2}$ e $j - \frac{1}{2}$ em contato com células S ou C . . . . .	55
1.76 Velocidades utilizadas para o cálculo de $u_{i-\frac{3}{2},j}$ e $u_{i-\frac{1}{2},j-1}$ . . . . .	55
1.77 Velocidades utilizadas para o cálculo de $v_{i-1,j-\frac{1}{2}}$ e $v_{i,j-\frac{3}{2}}$ . . . . .	56
1.78 Célula F com as faces $i - \frac{1}{2}$ e $j - \frac{1}{2}$ em contato com células S ou C - cálculo de $u_{i-\frac{1}{2},j}$ . . . . .	57
1.79 Célula F com as faces $i - \frac{1}{2}$ e $j - \frac{1}{2}$ em contato com células S ou C - cálculo de $u_{i-\frac{1}{2},j}$ na direção x . . . . .	57
1.80 Célula F com as faces $i - \frac{1}{2}$ e $j - \frac{1}{2}$ em contato com células S ou C - cálculo de $u_{i-\frac{1}{2},j}$ na direção y . . . . .	58
1.81 Célula F com a face $i - \frac{1}{2}$ e $j - \frac{1}{2}$ em contato com células S ou C - cálculo de $v_{i,j-\frac{1}{2}}$ . . . . .	59
1.82 Célula F com as faces $i - \frac{1}{2}$ e $j - \frac{1}{2}$ em contato com células S ou C - cálculo de $v_{i,j-\frac{1}{2}}$ na direção x . . . . .	59
1.83 Célula F com as faces $i - \frac{1}{2}$ e $j - \frac{1}{2}$ em contato com células S ou C - cálculo de $v_{i,j-\frac{1}{2}}$ na direção y . . . . .	60
1.84 Plano x e y, e orientação dos possíveis injetores . . . . .	61
1.85 Célula S tendo a face $i + \frac{1}{2}$ em contato com a célula V . . . . .	63
1.86 Célula S tendo a face $i - \frac{1}{2}$ em contato com a célula V . . . . .	63

1.87 Célula S tendo a face $j + \frac{1}{2}$ em contato com a célula V . . . . .	64
1.88 Célula S tendo a face $j - \frac{1}{2}$ em contato com a célula V . . . . .	64
1.89 Célula S tendo as faces $i + \frac{1}{2}$ e $j + \frac{1}{2}$ em contato com células V . . . . .	65
1.90 Célula S tendo as faces $i - \frac{1}{2}$ e $j + \frac{1}{2}$ em contato com células V . . . . .	66
1.91 Célula S tendo as faces $i + \frac{1}{2}$ e $j - \frac{1}{2}$ em contato com células V . . . . .	67
1.92 Célula S tendo as faces $i - \frac{1}{2}$ e $j - \frac{1}{2}$ em contato com células V . . . . .	68
1.93 Célula S tendo as faces $i + \frac{1}{2}$ e $i - \frac{1}{2}$ em contato com células V . . . . .	69
1.94 Célula S tendo as faces $j + \frac{1}{2}$ e $j - \frac{1}{2}$ em contato com células V . . . . .	69
1.95 Célula S tendo as faces $i + \frac{1}{2}$ , $i - \frac{1}{2}$ e $j + \frac{1}{2}$ em contato com células V . . . .	70
1.96 Célula S tendo as faces $i + \frac{1}{2}$ , $j + \frac{1}{2}$ e $j - \frac{1}{2}$ em contato com células V . . . .	70
1.97 Célula S tendo as faces $i + \frac{1}{2}$ , $i - \frac{1}{2}$ e $j - \frac{1}{2}$ em contato com células V . . . .	71
1.98 Célula S tendo as faces $i - \frac{1}{2}$ , $j + \frac{1}{2}$ e $j - \frac{1}{2}$ em contato com células V . . . .	71
1.99 Célula S tendo as faces $i + \frac{1}{2}$ , $i - \frac{1}{2}$ , $j + \frac{1}{2}$ e $j - \frac{1}{2}$ em contato com células V . . . .	72
1.100 Células $i, j$ e $i + 1, j$ são C . . . . .	75
1.101 Célula $i, j$ é C e $i + 1, j$ é S . . . . .	75
1.102 Células $i, j$ e $i, j + 1$ são C . . . . .	76
1.103 Célula $i, j$ é C e $i, j + 1$ é S . . . . .	76
1.104 Célula $i, j$ é S e $i + 1, j$ é C . . . . .	77
1.105 Células $i, j$ e $i + 1, j$ são S . . . . .	77
1.106 Célula $i, j$ é S e $i, j + 1$ é C . . . . .	78
1.107 Células $i, j$ e $i, j + 1$ são S . . . . .	78
1.108 Exemplo para montar a matriz . . . . .	80
1.109 Células $i, j$ e $i + 1, j$ são C . . . . .	84
1.110 Célula $i, j$ é C e $i + 1, j$ é S . . . . .	84
1.111 Células $i, j$ e $i, j + 1$ são C . . . . .	85
1.112 Célula $i, j$ é C e $i, j + 1$ é S . . . . .	86
1.113 Célula $i, j$ é S e $i + 1, j$ é C . . . . .	86
1.114 Células $i, j$ e $i + 1, j$ são S . . . . .	87
1.115 Célula $i, j$ é S e $i, j + 1$ é C . . . . .	88
1.116 Células $i, j$ e $i, j + 1$ são S . . . . .	88
1.117 Eliminação do vértice $v_3$ e da aresta $a_3$ . . . . .	89
1.118 Vértice $v_3$ e aresta $a_3$ eliminadas . . . . .	89
1.119 Célula dividida em quatro partes . . . . .	90
1.120 Partícula virtual está no quadrante A . . . . .	90
1.121 Cálculo das quatro velocidades $u$ mais próximas da partícula virtual pertencente ao quadrante A . . . . .	91
1.122 Cálculo das quatro velocidades $v$ mais próximas da partícula virtual pertencente ao quadrante A . . . . .	92
1.123 Partícula virtual está no quadrante B . . . . .	93
1.124 Cálculo das quatro velocidades $u$ mais próximas da partícula virtual pertencente ao quadrante B . . . . .	93

1.125 Cálculo das quatro velocidades $v$ mais próximas da partícula virtual pertencente ao quadrante B . . . . .	94
1.126 Partícula virtual está no quadrante C . . . . .	95
1.127 Cálculo das quatro velocidades $u$ mais próximas da partícula virtual pertencente ao quadrante C . . . . .	95
1.128 Cálculo das quatro velocidades $v$ mais próximas da partícula virtual pertencente ao quadrante C . . . . .	96
1.129 Partícula virtual está no quadrante D . . . . .	97
1.130 Cálculo das quatro velocidades $u$ mais próximas da partícula virtual pertencente ao quadrante D . . . . .	97
1.131 Cálculo das quatro velocidades $v$ mais próximas da partícula virtual pertencente ao quadrante D . . . . .	98
1.132 Inserção de um vértice entre os vértices $v_2$ e $v_3$ . . . . .	99
1.133 Um vértice inserido entre os vértices $v_2$ e $v_3$ . . . . .	100
1.134 Redefinição das células, problema inicial . . . . .	100
1.135 Redefinição das células S, após o movimento da superfície livre . . . . .	101
1.136 Redefinição das células V e C, último passo . . . . .	102
 2.1 Intersecções possíveis nas direções x e y . . . . .	104
2.2 Intersecções na direção x . . . . .	105
2.3 Intersecções na direção y . . . . .	105
2.4 Exemplo de intersecções . . . . .	106
2.5 Exemplo de intersecções nas direções x e y . . . . .	106
2.6 Contêiner tipo <i>Box</i> Inclinado com detalhes que serão exemplificados . . . . .	107
2.7 Primeira ilustração . . . . .	107
2.8 Segunda Ilustração . . . . .	108
2.9 Terceira Ilustração . . . . .	108
2.10 Células definidas equivocadamente . . . . .	109
2.11 Células definidas corretamente . . . . .	110
2.12 Contêiner do tipo <i>Cube</i> . . . . .	111
2.13 Primeiro passo para se criar a estrutura de um contêiner do tipo <i>Cube</i> . . . . .	111
2.14 Segundo passo para se criar a estrutura de um contêiner do tipo <i>Cube</i> . . . . .	111
2.15 Terceiro passo para se criar a estrutura de um contêiner do tipo <i>Cube</i> . . . . .	112
2.16 Primeiro passo para se criar um contêiner do tipo <i>Cube</i> . . . . .	112
2.17 Quarto passo para se criar a estrutura de um contêiner do tipo <i>Cube</i> . . . . .	113
2.18 Segundo passo para se criar um contêiner do tipo <i>Cube</i> . . . . .	113
2.19 Quinto passo para se criar a estrutura de um contêiner do tipo <i>Cube</i> . . . . .	114
2.20 Terceiro passo para se criar um contêiner do tipo <i>Cube</i> . . . . .	114
2.21 Sexto passo para se criar a estrutura de um contêiner do tipo <i>Cube</i> . . . . .	115
2.22 Quarto passo para se criar um contêiner do tipo <i>Cube</i> . . . . .	115

# Introdução

Este relatório foi escrito com o objetivo de ajudar o usuário do Freeflow-2D a compreender todos os passos e detalhes dos cálculos utilizados no Freeflow-2D. Sugere-se que o usuário tenha lido anteriormente a dissertação de mestrado intitulada “Desenvolvimento de um Sistema de Simulação de Escoamentos de Fluidos com Superfícies Livres Bidimensionais” [1] para ter uma noção geral do Freeflow-2D para posteriormente entrar nos detalhes destes relatório.

O primeiro capítulo fala do Simflow-2D, que é o simulador de escoamentos. O capítulo 1 está dividido em quatorze itens:

- Considerações Iniciais: detalha cada passo do GENSMAC [2] a ser seguido pelo Simflow-2D;
- Cálculo das Velocidades  $u$  e  $v$  pelas Condições de Contorno na Superfície Livre: tem-se os cálculos dos quinze casos possíveis;
- Cálculo das Velocidades Tangenciais  $u$  e  $v$  das Células S com as Células V: tem-se os cálculos dos quatro casos;
- Cálculo das Velocidades  $u$  e  $v$  pelas Condições de Contorno no Contorno Rígido: são oito casos detalhados;
- Cálculo das Velocidades Tangenciais  $u$  e  $v$  nos Injetores: está exemplificado os quatro casos possíveis;
- Cálculo da Pressão  $p$  nas Condições de Contorno na Superfície Livre: tem-se os cálculos dos quinze casos possíveis para o caso bidimensional;
- Cálculo das Velocidades Intermediárias: tem-se as velocidades intermediárias  $\tilde{u}$  e  $\tilde{v}$  discretizadas;
- Resolução da Equação de Poisson: tem um exemplo de como resolver a equação de Poisson através do método dos gradientes conjugados;
- Cálculo das Velocidades Finais  $u$  e  $v$ : tem-se o método de como se calcular as velocidades finais;

- Eliminação das Partículas Virtuais: está exemplificado como se faz a eliminação das partículas virtuais;
- Cálculo das Velocidades  $u$  e  $v$  das Partículas Virtuais: tem os quatro casos exemplificados;
- Inserção das Partículas Virtuais: está exemplificado como se faz a inserção das partículas virtuais;
- Redefinição das Células Após o Movimento das Partículas Virtuais: tem-se como se faz a redefinição das células;
- Considerações Finais: tem-se as conclusões deste capítulo.

O segundo capítulo fala do Modflow-2D, que é o modelador de moldes e escoamentos. O capítulo 2 está dividido em quatro itens:

- Considerações Iniciais: faz um breve relato sobre o Modflow-2D;
- Intersecções nas Células: exemplifica como é feito os cálculos das intersecções nas células;
- Estrutura dos Objetos Geométricos: exemplifica como é feito a estrutura dos objetos geométricos;
- Considerações Finais: tem-se as conclusões do capítulo 2.

# Capítulo 1

## Simulador

### 1.1 Considerações Iniciais

O simulador consiste de um conjunto de programas baseado no método GENSMAC, cuja finalidade é resolver problemas de escoamentos transientes de fluidos newtonianos incompressíveis com superfícies livres. O Simflow-2D representa o fluido por partículas apenas na fronteira utilizando a estrutura *halfedge-2d* e é a parte central do Freeflow-2D [1].

A simulação começa com o Simflow-2D fazendo a leitura dos arquivos de entrada. Depois tem-se um grande ciclo seguindo os seguintes passos:

- cálculo das velocidades  $u$  e  $v$  pelas condições de contorno na superfície livre;
- cálculo das velocidades tangenciais  $u$  e  $v$  das células S com as células V;
- cálculo das velocidades  $u$  e  $v$  pelas condições de contorno no contorno rígido;
- cálculo das velocidades tangenciais  $u$  e  $v$  nos injetores;
- cálculo da pressão  $p$  nas condições de contorno na superfície livre;
- cálculo das velocidades intermediárias  $\tilde{u}$  e  $\tilde{v}$ ;
- resolução da equação de Poisson;
- cálculo das velocidades finais  $u$  e  $v$ ;
- cálculo das velocidades  $u$  e  $v$  pelas condições de contorno na superfície livre;
- cálculo das velocidades tangenciais  $u$  e  $v$  das células S com as células V;
- cálculo das velocidades  $u$  e  $v$  pelas condições de contorno no contorno rígido;

- cálculo das velocidades tangenciais  $u$  e  $v$  nos injetores;
- movimento da superfície livre (cálculo das velocidades  $u$  e  $v$  das partículas virtuais);
- inserção das partículas virtuais no injetor;
- eliminação das partículas virtuais;
- inserção das partículas virtuais;
- redefinição das células após o movimento das partículas virtuais.

A seguir tem-se os passos descritos acima com mais detalhes.

## 1.2 Cálculo das Velocidades $u$ e $v$ pelas Condições de Contorno na Superfície Livre

Para o cálculo das velocidades  $u$  e  $v$  das condições de contorno na superfície livre tem-se que considerar quinze casos. O método utilizado é o seguinte: percorre-se as células  $S$  e estuda-se as células vizinhas, assim, pode-se agrupar os quinze casos existentes em quatro conjuntos:

- células  $S$  com somente uma face em contato com células  $V$ : para estes casos a velocidade na face da célula  $V$  é calculada pela equação da continuidade

$$\frac{\partial u}{\partial x} + \frac{\partial v}{\partial y} = 0. \quad (1.1)$$

Existem quatro casos:

- células  $S$  tendo a face  $i + \frac{1}{2}$  em contato com células  $V$ : neste caso, deve-se calcular a velocidade  $u_{i+\frac{1}{2},j}$  como mostra a figura 1.1.

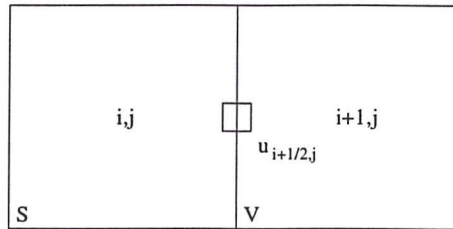


Figura 1.1: Célula  $S$  tendo a face  $i + \frac{1}{2}$  em contato com a célula  $V$

Então pela equação da continuidade tem-se:

$$u_{i+\frac{1}{2},j} = u_{i-\frac{1}{2},j} - \frac{\delta x}{\delta y} (v_{i,j+\frac{1}{2}} - v_{i,j-\frac{1}{2}});$$

- células S tendo a face  $j + \frac{1}{2}$  em contato com células V: neste caso, deve-se calcular a velocidade  $v_{i,j+\frac{1}{2}}$  como mostra a figura 1.2.

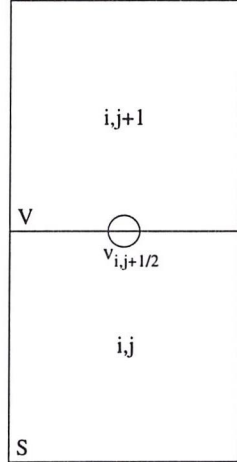


Figura 1.2: Célula S tendo a face  $j + \frac{1}{2}$  em contato com a célula V

Então pela equação da continuidade tem-se:

$$v_{i,j+\frac{1}{2}} = v_{i,j-\frac{1}{2}} - \frac{\delta y}{\delta x} (u_{i+\frac{1}{2},j} - u_{i-\frac{1}{2},j});$$

- células S tendo a face  $i - \frac{1}{2}$  em contato com células V: neste caso, deve-se calcular a velocidade  $u_{i-\frac{1}{2},j}$  como mostra a figura 1.3.

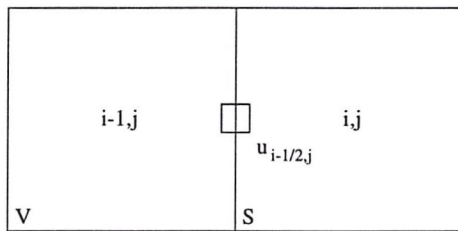


Figura 1.3: Célula S tendo a face  $i - \frac{1}{2}$  em contato com a célula V

Então pela equação da continuidade tem-se:

$$u_{i-\frac{1}{2},j} = u_{i+\frac{1}{2},j} + \frac{\delta x}{\delta y} (v_{i,j+\frac{1}{2}} - v_{i,j-\frac{1}{2}});$$

- células S tendo a face  $j - \frac{1}{2}$  em contato com células V: neste caso, deve-se calcular a velocidade  $v_{i,j-\frac{1}{2}}$  como mostra a figura 1.4.

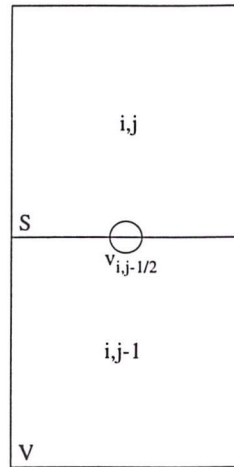


Figura 1.4: Célula S tendo a face  $j - \frac{1}{2}$  em contato com a célula V

Então pela equação da continuidade tem-se:

$$v_{i,j-\frac{1}{2}} = v_{i,j+\frac{1}{2}} + \frac{\delta y}{\delta x} (u_{i+\frac{1}{2},j} - u_{i-\frac{1}{2},j});$$

- células S com duas faces em contato com células V: para estes casos, as velocidades nas faces das células V são calculadas pela equação da continuidade (1.1) e uma das equações de contorno na superfície livre (1.2)

$$-2 \frac{\partial u}{\partial x} n_x n_y + \left( \frac{\partial u}{\partial y} + \frac{\partial v}{\partial x} \right) (n_x^2 - n_y^2) + 2 \frac{\partial v}{\partial y} n_x n_y = 0. \quad (1.2)$$

Existem quatro casos:

- células S tendo as faces  $i + \frac{1}{2}$  e  $j + \frac{1}{2}$  em contato com células V: neste caso, deve-se calcular as velocidades  $u_{i+\frac{1}{2},j}$  e  $v_{i,j+\frac{1}{2}}$ , como mostra a figura 1.5.

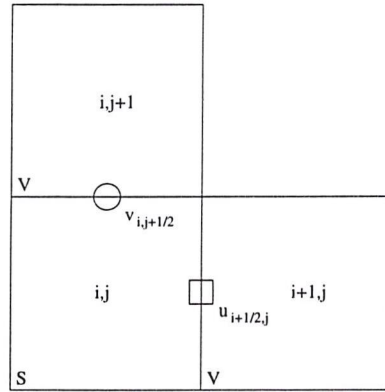


Figura 1.5: Célula S tendo as faces  $i + \frac{1}{2}$  e  $j + \frac{1}{2}$  em contato com células V

Então pela equação da continuidade, equação de contorno na superfície livre e considerando o vetor normal como  $n = (\frac{\sqrt{2}}{2}, \frac{\sqrt{2}}{2})$  tem-se:

$$u_{i+\frac{1}{2},j} = u_{i-\frac{1}{2},j}$$

$$v_{i,j+\frac{1}{2}} = v_{i,j-\frac{1}{2}};$$

- células S tendo as faces  $i - \frac{1}{2}$  e  $j + \frac{1}{2}$  em contato com células V: neste caso, deve-se calcular as velocidades  $u_{i-\frac{1}{2},j}$  e  $v_{i,j+\frac{1}{2}}$ , como mostra a figura 1.6.

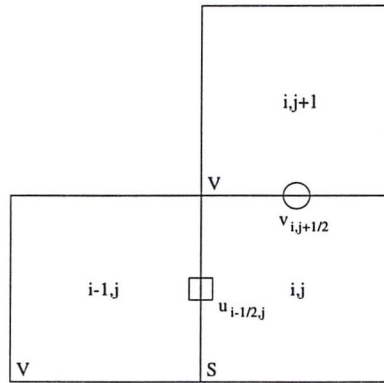


Figura 1.6: Célula S tendo as faces  $i - \frac{1}{2}$  e  $j + \frac{1}{2}$  em contato com células V

Então pela equação da continuidade, equação de contorno na superfície livre e considerando o vetor normal como  $n = (-\frac{\sqrt{2}}{2}, \frac{\sqrt{2}}{2})$  tem-se:

$$u_{i-\frac{1}{2},j} = u_{i+\frac{1}{2},j}$$

$$v_{i,j+\frac{1}{2}} = v_{i,j-\frac{1}{2}};$$

- células S tendo as faces  $i + \frac{1}{2}$  e  $j - \frac{1}{2}$  em contato com células V: neste caso, deve-se calcular as velocidades  $u_{i+\frac{1}{2},j}$  e  $v_{i,j-\frac{1}{2}}$ , como mostra a figura 1.7.

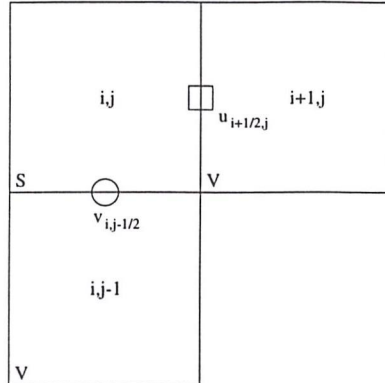


Figura 1.7: Célula S tendo as faces  $i + \frac{1}{2}$  e  $j - \frac{1}{2}$  em contato com células V

Então pela equação da continuidade, equação de contorno na superfície livre e considerando o vetor normal como  $n = (\frac{\sqrt{2}}{2}, -\frac{\sqrt{2}}{2})$  tem-se:

$$u_{i+\frac{1}{2},j} = u_{i-\frac{1}{2},j}$$

$$v_{i,j-\frac{1}{2}} = v_{i,j+\frac{1}{2}};$$

- células S tendo as faces  $i - \frac{1}{2}$  e  $j - \frac{1}{2}$  em contato com células V: neste caso, deve-se calcular as velocidades  $u_{i-\frac{1}{2},j}$  e  $v_{i,j-\frac{1}{2}}$ , como mostra a figura 1.8.

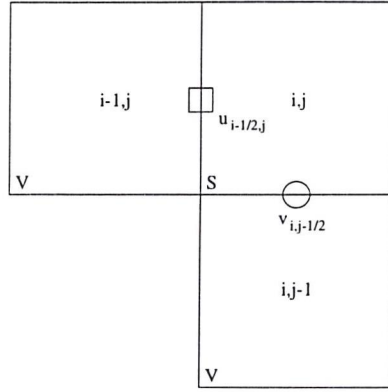


Figura 1.8: Célula S tendo as faces  $i - \frac{1}{2}$  e  $j - \frac{1}{2}$  em contato com células V

Então pela equação da continuidade, equação de contorno na superfície livre e considerando o vetor normal como  $n = (-\frac{\sqrt{2}}{2}, -\frac{\sqrt{2}}{2})$  tem-se:

$$u_{i-\frac{1}{2},j} = u_{i+\frac{1}{2},j}$$

$$v_{i,j-\frac{1}{2}} = v_{i,j+\frac{1}{2}};$$

- células S com dois lados opostos em contato com células V: para estes casos, apenas uma velocidade é ajustada de modo a satisfazer a equação da continuidade (1.1).

Existem dois casos:

- células S tendo as faces  $i + \frac{1}{2}$  e  $i - \frac{1}{2}$  em contato com células V: neste caso, deve-se calcular as velocidades  $u_{i+\frac{1}{2},j}$  e  $u_{i-\frac{1}{2},j}$ , como mostra a figura 1.9.

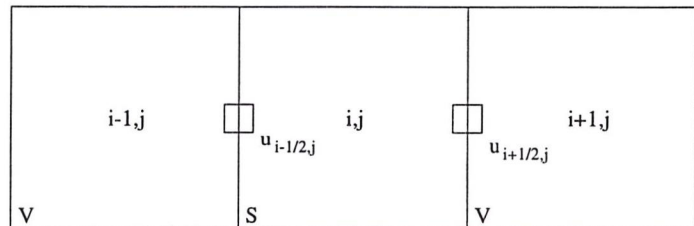


Figura 1.9: Célula S tendo as faces  $i + \frac{1}{2}$  e  $i - \frac{1}{2}$  em contato com células V

Mas pela regra, ajusta-se apenas a velocidade  $u_{i+\frac{1}{2},j}$  de acordo com a equação da continuidade, então tem-se:

$$u_{i+\frac{1}{2},j} = u_{i-\frac{1}{2},j} - \frac{\delta x}{\delta y} (v_{i,j+\frac{1}{2}} - v_{i,j-\frac{1}{2}});$$

- células S tendo as faces  $j + \frac{1}{2}$  e  $j - \frac{1}{2}$  em contato com células V: neste caso, deve-se calcular as velocidades  $v_{i,j+\frac{1}{2}}$  e  $v_{i,j-\frac{1}{2}}$ , como mostra a figura 1.10.

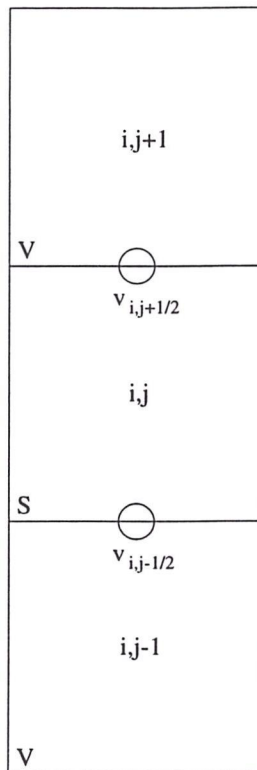


Figura 1.10: Célula S tendo as faces  $j + \frac{1}{2}$  e  $j - \frac{1}{2}$  em contato com células V

Mas pela regra, ajusta-se apenas a velocidade  $v_{i,j+\frac{1}{2}}$  de acordo com a equação da continuidade, então tem-se:

$$v_{i,j+\frac{1}{2}} = v_{i,j-\frac{1}{2}} - \frac{\delta y}{\delta x} (u_{i+\frac{1}{2},j} - u_{i-\frac{1}{2},j});$$

- células S com três faces ou quatro faces em contato com células V: para estes casos, as velocidades nas faces das células V são calculadas pela equação da continuidade (1.1) e uma das equações de contorno na superfície livre (1.2).

Existem cinco casos:

- células S tendo as faces  $i + \frac{1}{2}$ ,  $i - \frac{1}{2}$  e  $j + \frac{1}{2}$  em contato com células V: neste caso, deve-se calcular as velocidades  $u_{i+\frac{1}{2},j}$ ,  $u_{i-\frac{1}{2},j}$  e  $v_{i,j+\frac{1}{2}}$ , como mostra a figura 1.11.

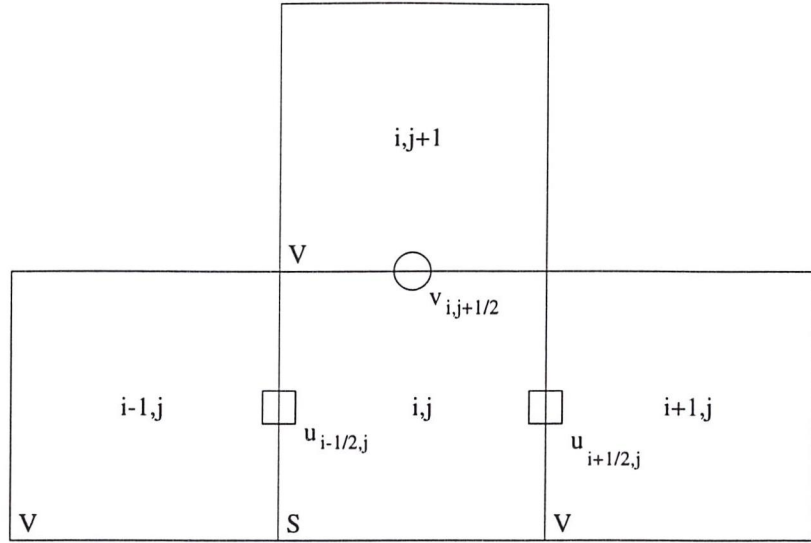


Figura 1.11: Célula S tendo as faces  $i + \frac{1}{2}$ ,  $i - \frac{1}{2}$  e  $j + \frac{1}{2}$  em contato com células V

Então pela regra, calcula-se as velocidades  $u_{i+\frac{1}{2},j}$  e  $v_{i,j+\frac{1}{2}}$  pela equação da continuidade e uma das equações de contorno na superfície livre. O vetor normal entre as células  $i + \frac{1}{2}$  e  $j + \frac{1}{2}$  é  $n = (\frac{\sqrt{2}}{2}, \frac{\sqrt{2}}{2})$  e o vetor normal entre as células  $i - \frac{1}{2}$  e  $j + \frac{1}{2}$  é  $n = (-\frac{\sqrt{2}}{2}, \frac{\sqrt{2}}{2})$ .

Então substituindo os vetores normais na equação de contorno (1.2) tem-se o sistema:

$$\begin{cases} \frac{-\partial u}{\partial x} + \frac{\partial v}{\partial y} = 0 \\ \frac{\partial u}{\partial x} - \frac{\partial v}{\partial y} = 0. \end{cases}$$

Resolvendo este sistema obtem-se:

$$\frac{\partial u}{\partial x} = 0 \quad \frac{\partial v}{\partial y} = 0,$$

que discretizadas ficam

$$u_{i+\frac{1}{2},j} = u_{i-\frac{1}{2},j}$$

$$v_{i,j+\frac{1}{2}} = v_{i,j-\frac{1}{2}};$$

- células S tendo as faces  $i + \frac{1}{2}$ ,  $j + \frac{1}{2}$  e  $j - \frac{1}{2}$  em contato com células V: neste caso, deve-se calcular as velocidades  $u_{i+\frac{1}{2},j}$ ,  $v_{i,j+\frac{1}{2}}$  e  $v_{i,j-\frac{1}{2}}$  como mostra a figura 1.12.

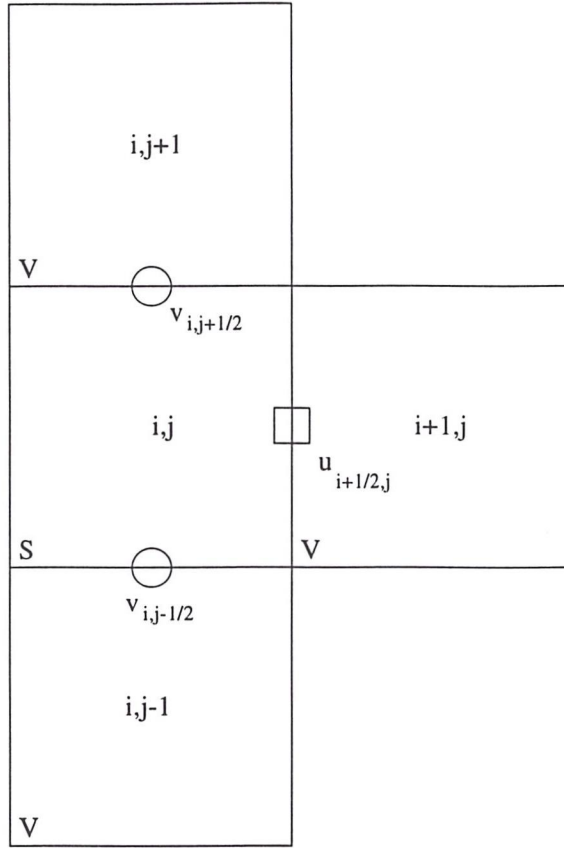


Figura 1.12: Célula S tendo as faces  $i + \frac{1}{2}$ ,  $j + \frac{1}{2}$  e  $j - \frac{1}{2}$  em contato com células V

Então pela regra, calcula-se as velocidades  $u_{i+\frac{1}{2},j}$  e  $v_{i,j+\frac{1}{2}}$  pela equação da continuidade e uma das equações de contorno na superfície livre. O vetor normal entre as células  $i + \frac{1}{2}$  e  $j + \frac{1}{2}$  é  $n = (\frac{\sqrt{2}}{2}, \frac{\sqrt{2}}{2})$  e o vetor normal entre as células  $i + \frac{1}{2}$  e  $j - \frac{1}{2}$  é  $n = (\frac{\sqrt{2}}{2}, -\frac{\sqrt{2}}{2})$ .

Então substituindo os vetores normais na equação de contorno (1.2) tem-se o sistema:

$$\begin{cases} \frac{-\partial u}{\partial x} + \frac{\partial v}{\partial y} = 0 \\ \frac{\partial u}{\partial x} - \frac{\partial v}{\partial y} = 0. \end{cases}$$

Resolvendo este sistema obtem-se:

$$\frac{\partial u}{\partial x} = 0 \quad \frac{\partial v}{\partial y} = 0,$$

que discretizadas ficam

$$u_{i+\frac{1}{2},j} = u_{i-\frac{1}{2},j}$$

$$v_{i,j+\frac{1}{2}} = v_{i,j-\frac{1}{2}};$$

- células S tendo as faces  $i + \frac{1}{2}$ ,  $i - \frac{1}{2}$  e  $j - \frac{1}{2}$  em contato com células V: neste caso, deve-se calcular as velocidades  $u_{i+\frac{1}{2},j}$ ,  $u_{i-\frac{1}{2},j}$  e  $v_{i,j-\frac{1}{2}}$  como mostra a figura 1.13.

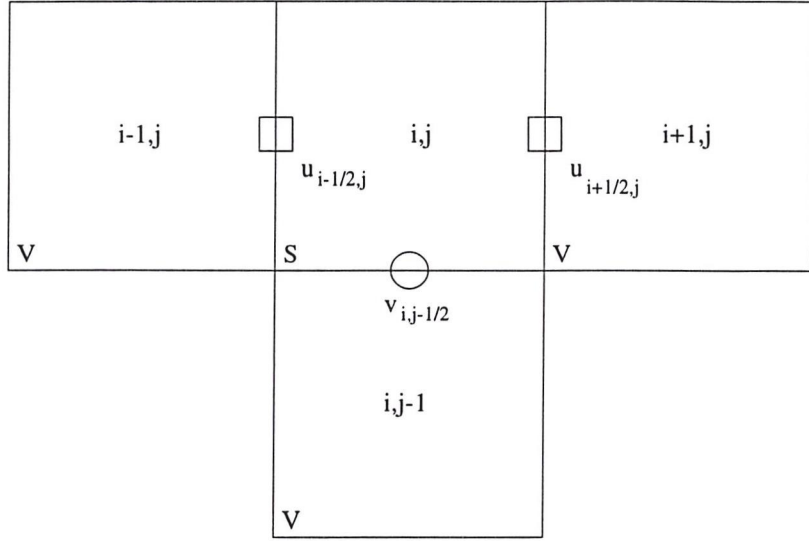


Figura 1.13: Célula S tendo as faces  $i + \frac{1}{2}$ ,  $i - \frac{1}{2}$  e  $j - \frac{1}{2}$  em contato com células V

Então pela regra, calcula-se as velocidades  $u_{i+\frac{1}{2},j}$  e  $v_{i,j-\frac{1}{2}}$  pela equação da continuidade e uma das equações de contorno na superfície livre. O vetor normal entre as células  $i + \frac{1}{2}$  e  $j - \frac{1}{2}$  é  $n = (\frac{\sqrt{2}}{2}, -\frac{\sqrt{2}}{2})$  e o vetor normal entre as células  $i - \frac{1}{2}$  e  $j - \frac{1}{2}$  é  $n = (-\frac{\sqrt{2}}{2}, -\frac{\sqrt{2}}{2})$ . Então substituindo os vetores normais na equação de contorno (1.2) tem-se o sistema:

$$\begin{cases} \frac{\partial u}{\partial x} - \frac{\partial v}{\partial y} = 0 \\ -\frac{\partial u}{\partial x} + \frac{\partial v}{\partial y} = 0. \end{cases}$$

Resolvendo este sistema obtem-se:

$$\frac{\partial u}{\partial x} = 0 \quad \frac{\partial v}{\partial y} = 0,$$

que discretizadas ficam

$$u_{i+\frac{1}{2},j} = u_{i-\frac{1}{2},j}$$

$$v_{i,j-\frac{1}{2}} = v_{i,j+\frac{1}{2}};$$

- células S tendo as faces  $i - \frac{1}{2}$ ,  $j + \frac{1}{2}$  e  $j - \frac{1}{2}$  em contato com células V: neste caso, deve-se calcular as velocidades  $u_{i-\frac{1}{2},j}$ ,  $v_{i,j+\frac{1}{2}}$  e  $v_{i,j-\frac{1}{2}}$  como mostra a figura 1.14.

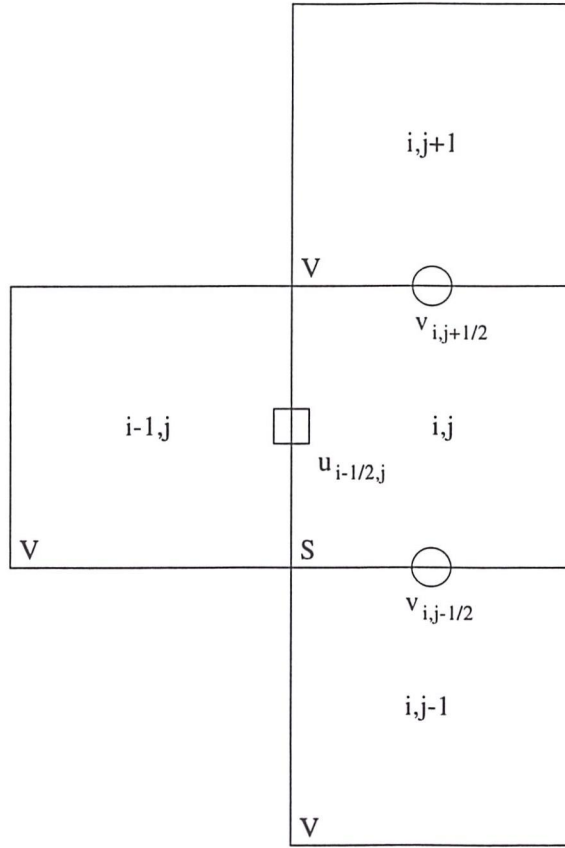


Figura 1.14: Célula  $S$  tendo as faces  $i - \frac{1}{2}$ ,  $j + \frac{1}{2}$  e  $j - \frac{1}{2}$  em contato com células  $V$

Então pela regra, calcula-se as velocidades  $u_{i+\frac{1}{2},j}$  e  $v_{i,j+\frac{1}{2}}$  pela equação da continuidade e uma das equações de contorno na superfície livre. O vetor normal entre as células  $i - \frac{1}{2}$  e  $j + \frac{1}{2}$  é  $n = (-\frac{\sqrt{2}}{2}, \frac{\sqrt{2}}{2})$  e o vetor normal entre as células  $i - \frac{1}{2}$  e  $j - \frac{1}{2}$  é  $n = (-\frac{\sqrt{2}}{2}, -\frac{\sqrt{2}}{2})$ . Então substituindo os vetores normais na equação de contorno (1.2) tem-se o sistema:

$$\begin{cases} \frac{\partial u}{\partial x} - \frac{\partial v}{\partial y} = 0 \\ -\frac{\partial u}{\partial x} + \frac{\partial v}{\partial y} = 0. \end{cases}$$

Resolvendo este sistema obtém-se:

$$\frac{\partial u}{\partial x} = 0 \quad \frac{\partial v}{\partial y} = 0,$$

que discretizadas ficam

$$u_{i-\frac{1}{2},j} = u_{i+\frac{1}{2},j}$$

$$v_{i,j+\frac{1}{2}} = v_{i,j-\frac{1}{2}};$$

- células S tendo as faces  $i + \frac{1}{2}$ ,  $i - \frac{1}{2}$ ,  $j + \frac{1}{2}$  e  $j - \frac{1}{2}$  em contato com células V: neste caso, deve-se calcular as velocidades  $u_{i+\frac{1}{2},j}$ ,  $u_{i-\frac{1}{2},j}$ ,  $v_{i,j+\frac{1}{2}}$  e  $v_{i,j-\frac{1}{2}}$  como mostra a figura 1.15.

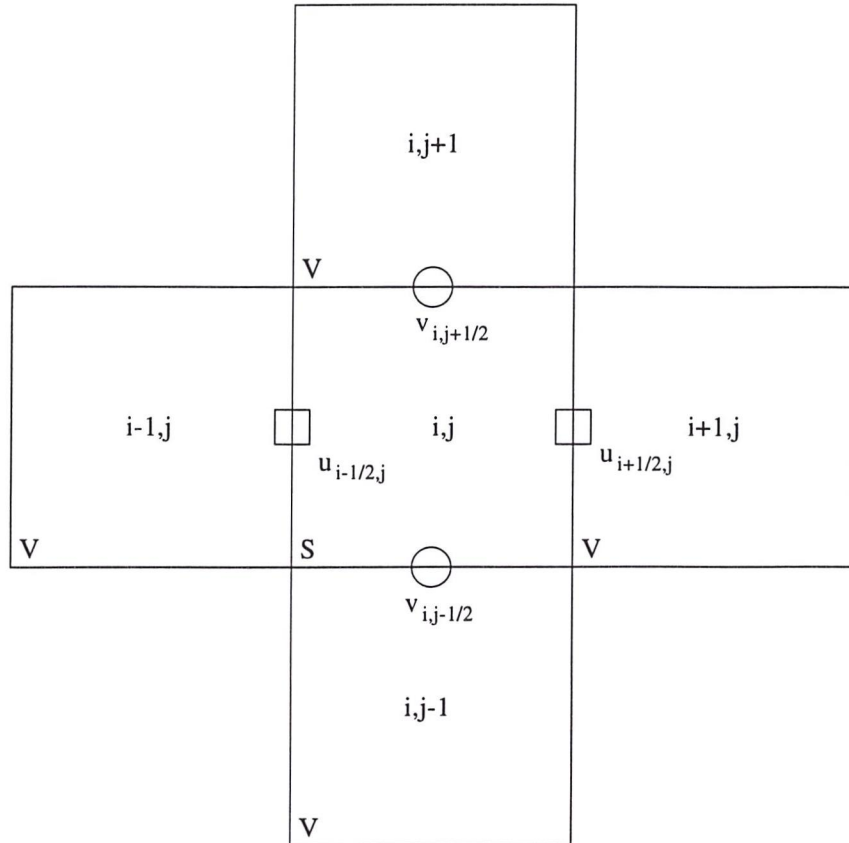


Figura 1.15: Célula S tendo as faces  $i + \frac{1}{2}$ ,  $i - \frac{1}{2}$ ,  $j + \frac{1}{2}$  e  $j - \frac{1}{2}$  em contato com células V

Então pela regra, calcula-se as velocidades  $u_{i+\frac{1}{2},j}$  e  $v_{i,j+\frac{1}{2}}$  pela equação da continuidade e uma das equações de contorno na superfície livre. O vetor normal entre as células  $i + \frac{1}{2}$  e  $j + \frac{1}{2}$  é  $n = (\frac{\sqrt{2}}{2}, \frac{\sqrt{2}}{2})$ ,  $i + \frac{1}{2}$  e  $j - \frac{1}{2}$  é  $n = (\frac{\sqrt{2}}{2}, -\frac{\sqrt{2}}{2})$ ,  $i - \frac{1}{2}$  e  $j + \frac{1}{2}$  é  $n = (-\frac{\sqrt{2}}{2}, \frac{\sqrt{2}}{2})$  e o vetor normal entre as células  $i - \frac{1}{2}$  e  $j - \frac{1}{2}$  é  $n = (-\frac{\sqrt{2}}{2}, -\frac{\sqrt{2}}{2})$ .

Então substituindo os vetores normais na equação de contorno (1.2) tem-se o sistema:

$$\begin{cases} \frac{-\partial u}{\partial x} + \frac{\partial v}{\partial y} = 0 \\ \frac{\partial u}{\partial x} - \frac{\partial v}{\partial y} = 0 \\ \frac{\partial u}{\partial x} - \frac{\partial v}{\partial y} = 0 \\ -\frac{\partial u}{\partial x} + \frac{\partial v}{\partial y} = 0. \end{cases}$$

Resolvendo este sistema onde as linhas três e quatro são combinação linear das duas primeiras, obtem-se:

$$\frac{\partial u}{\partial x} = 0 \quad \frac{\partial v}{\partial y} = 0,$$

que discretizadas ficam

$$u_{i+\frac{1}{2},j} = u_{i-\frac{1}{2},j}$$

$$v_{i,j+\frac{1}{2}} = v_{i,j-\frac{1}{2}}.$$

Após calcular as velocidades  $u$  e  $v$  na superfície livre, calcula-se as velocidades tangenciais  $u$  e  $v$  das células S com as células V.

### 1.3 Cálculo das Velocidades Tangenciais $u$ e $v$ das Células S com as Células V

Para o cálculo das velocidades tangenciais  $u$  e  $v$  das células S com as células V tem-se quatro casos. Deve-se percorrer a árvore de células S e:

- se a célula  $i+1, j$  for S, então tem-se dois casos:

- se as células  $i, j+1$  e  $i+1, j+1$  são V, então calcula-se a velocidade  $u$  de acordo com a equação de contorno na superfície livre (1.2), como mostra a figura 1.16.

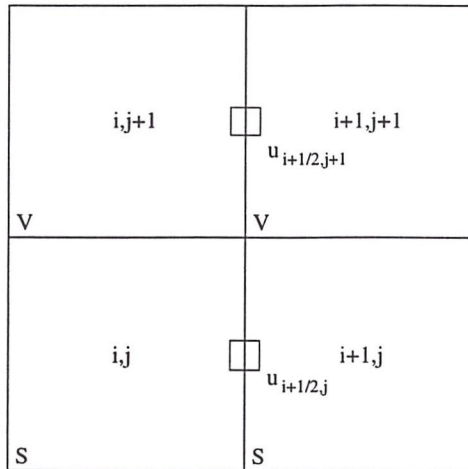


Figura 1.16: Células  $i, j$  e  $i+1, j$  são S e as células  $i, j+1$  e  $i+1, j+1$  são V

Para este caso, o vetor tangente é  $m = (0, 1)$ , então:

$$u_{i+\frac{1}{2},j+1} = u_{i+\frac{1}{2},j} - \frac{\delta y}{\delta x} (v_{i+1,j+\frac{1}{2}} - v_{i,j+\frac{1}{2}});$$

- se as células  $i, j - 1$  e  $i + 1, j - 1$  são V, então calcula-se a velocidade  $u$  de acordo com a equação de contorno na superfície livre (1.2), como mostra a figura 1.17.

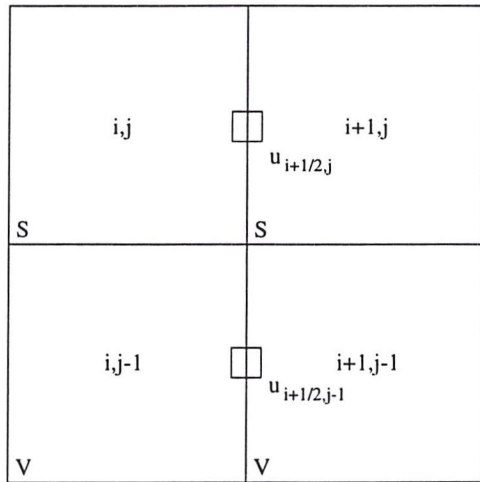


Figura 1.17: Células  $i, j$  e  $i + 1, j$  são S e as células  $i, j - 1$  e  $i + 1, j - 1$  são V

Para este caso, o vetor tangente é  $m = (0, -1)$ , então:

$$u_{i+\frac{1}{2},j-1} = u_{i+\frac{1}{2},j} + \frac{\delta y}{\delta x} (v_{i+1,j-\frac{1}{2}} - v_{i,j-\frac{1}{2}});$$

- se a célula  $i, j + 1$  for S, então tem-se dois casos:

- se as células  $i + 1, j$  e  $i + 1, j + 1$  são V, então calcula-se a velocidade  $v$  de acordo com a equação de contorno na superfície livre (1.2), como mostra a figura 1.18.

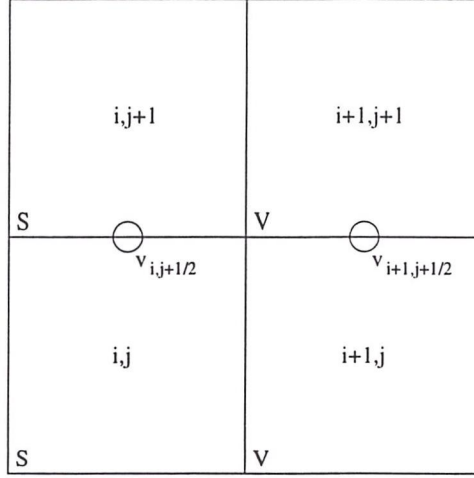


Figura 1.18: Células  $i, j$  e  $i, j + 1$  são S e as células  $i + 1, j$  e  $i + 1, j + 1$  são V

Para este caso, o vetor tangente é  $m = (-1, 0)$ , então:

$$v_{i+1,j+\frac{1}{2}} = v_{i,j+\frac{1}{2}} - \frac{\delta x}{\delta y} (u_{i+\frac{1}{2},j+1} - u_{i+\frac{1}{2},j});$$

- se as células  $i - 1, j$  e  $i - 1, j + 1$  são V, então calcula-se a velocidade  $v$  de acordo com a equação de contorno na superfície livre (1.2), como mostra a figura 1.19.

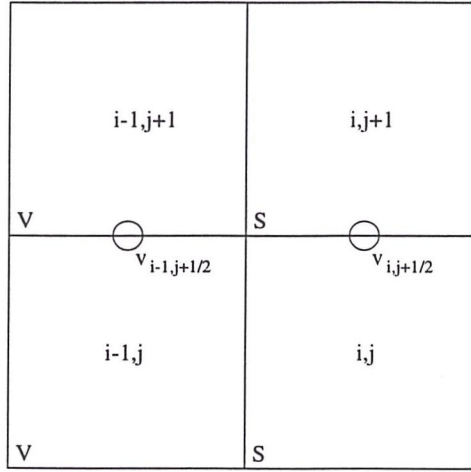


Figura 1.19: Células  $i, j$  e  $i, j + 1$  são S e as células  $i - 1, j$  e  $i - 1, j + 1$  são V

Para este caso, o vetor tangente é  $m = (1, 0)$ , então:

$$v_{i-1,j+\frac{1}{2}} = v_{i,j+\frac{1}{2}} + \frac{\delta x}{\delta y} (u_{i-\frac{1}{2},j+1} - u_{i-\frac{1}{2},j}).$$

O próximo passo da simulação é aplicar as condições de contorno no contorno rígido.

## 1.4 Cálculo das Velocidades $u$ e $v$ pelas Condições de Contorno no Contorno Rígido

Deve-se aplicar as condições de contorno no contorno rígido, isto é, calcular as velocidades  $u$  e  $v$  nas faces das células F através de interpolação linear.

As células F podem ter uma ou duas faces em contato com células S ou C, no caso bidimensional são oito casos. Mais especificamente, há quatro casos possíveis de células F que têm uma face em contato com células S ou C e existem quatro casos de células F que têm duas faces em contato com células S ou C.

Primeiramente, os quatro casos de células F que têm uma face em contato com células S ou C:

- células F com a face  $i + \frac{1}{2}$  em contato com células S ou C: como mostra a figura 1.20.

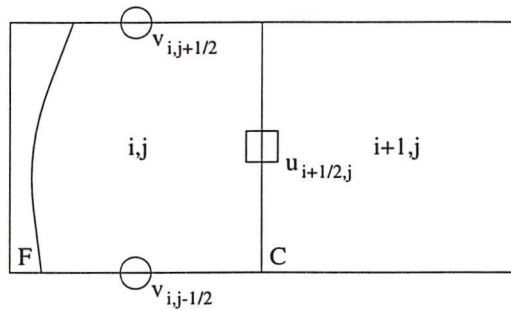


Figura 1.20: Célula F com a face  $i + \frac{1}{2}$  em contato com células S ou C

Na figura 1.20 pode-se observar que as velocidades  $u_{i+\frac{1}{2},j}$ ,  $v_{i,j+\frac{1}{2}}$  e  $v_{i,j-\frac{1}{2}}$  são exigidas, pois para o cálculo de  $u_{i+\frac{3}{2},j}$  utiliza-se as quatro velocidades mais próximas, onde as velocidades  $u_{i+\frac{5}{2},j}$ ,  $u_{i+\frac{3}{2},j+1}$  e  $u_{i+\frac{3}{2},j-1}$  são conhecidas e,  $u_{i+\frac{1}{2},j}$  é desconhecida, como mostra a figura 1.21.

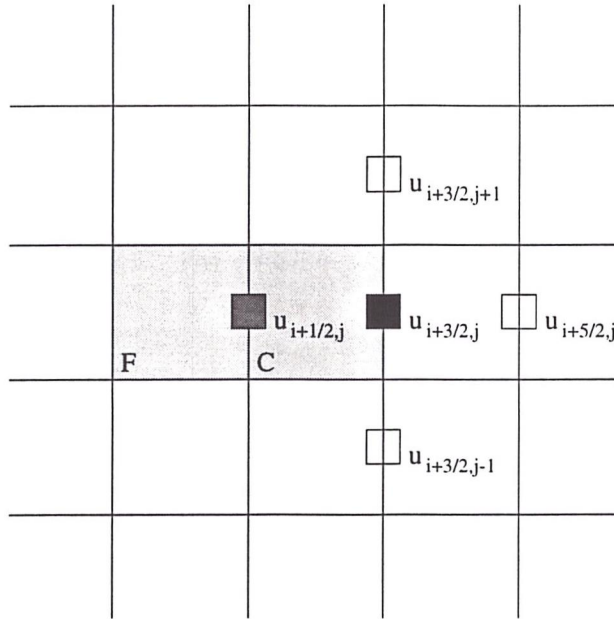


Figura 1.21: Velocidades utilizadas para o cálculo de  $u_{i+\frac{3}{2},j}$

Para o cálculo de  $v_{i+1,j+\frac{1}{2}}$  utiliza-se as quatro velocidades mais próximas, onde as velocidades  $v_{i+2,j+\frac{1}{2}}$ ,  $v_{i+1,j+\frac{3}{2}}$  e  $v_{i+1,j-\frac{1}{2}}$  são conhecidas e,  $v_{i,j+\frac{1}{2}}$  é desconhecida, como mostra a figura 1.22.

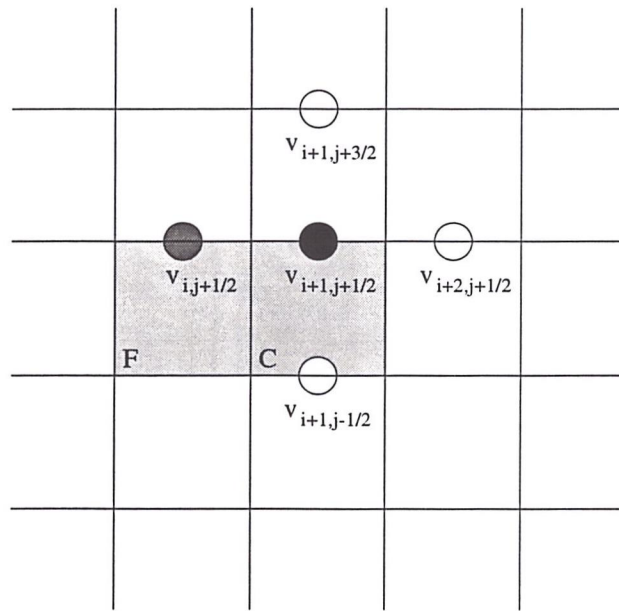


Figura 1.22: Velocidades utilizadas para o cálculo de  $v_{i+1,j+\frac{1}{2}}$

Para o cálculo de  $v_{i+1,j-\frac{1}{2}}$  utiliza-se as quatro velocidades mais próximas, onde as velocidades  $v_{i+2,j-\frac{1}{2}}$ ,  $v_{i+1,j+\frac{1}{2}}$  e  $v_{i+1,j-\frac{3}{2}}$  são conhecidas e,  $v_{i,j-\frac{1}{2}}$  é desconhecida, como mostra a figura 1.23.

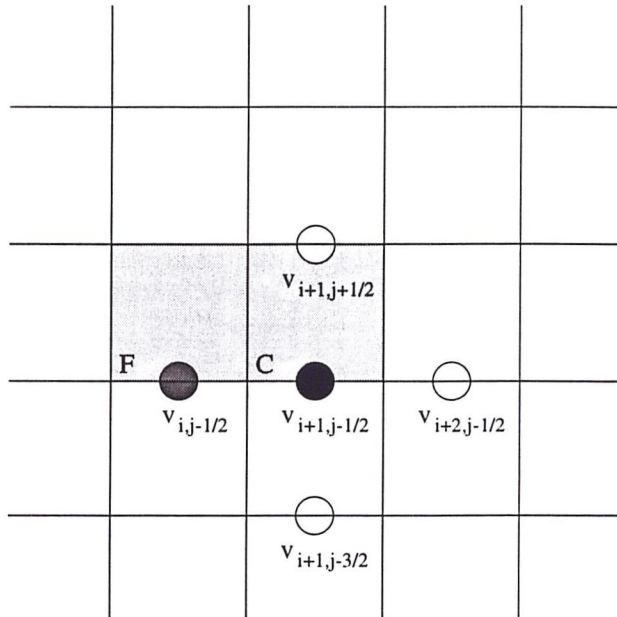


Figura 1.23: Velocidades utilizadas para o cálculo de  $v_{i+1,j-\frac{1}{2}}$

Então deve-se calcular as velocidades  $u$  e  $v$  desconhecidas nas faces das células F através de interpolação linear.

Para o cálculo da velocidade  $u_{i+\frac{1}{2},j}$  considere a figura 1.24.

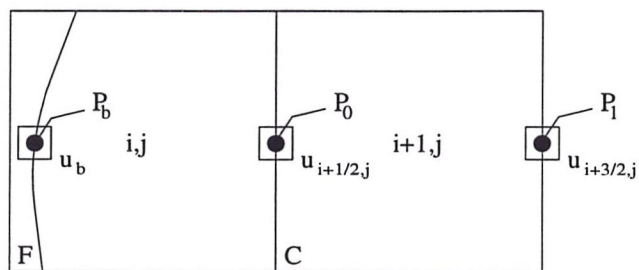


Figura 1.24: Célula F com a face  $i + \frac{1}{2}$  em contato com células S ou C - cálculo de  $u_{i+\frac{1}{2},j}$

Seja  $P_0 = (x_{i+\frac{1}{2}}, y_j)$ ,  $P_1 = (x_{i+\frac{3}{2}}, y_j)$  e  $P_b = (x_{ub}, y_j)$ , onde  $x_{ub}$  denota a intersecção entre a linha definida por  $P_0$  e  $P_1$  com a superfície da fronteira. Então por interpolação linear entre  $P_b$  e  $P_1$  calcula-se  $u_{i+\frac{1}{2},j}$ :

$$u_{i+\frac{1}{2},j} = \frac{x_{i+\frac{1}{2}} - x_{ub}}{x_{i+\frac{3}{2}} - x_{ub}} \cdot u_{i+\frac{3}{2},j} + \frac{\delta x}{x_{ub} - x_{i+\frac{3}{2}}} \cdot u_b,$$

onde  $\delta x = x_{i+\frac{1}{2}} - x_{i+\frac{3}{2}}$ .

Para o cálculo da velocidade  $v_{i,j+\frac{1}{2}}$  considere a figura 1.25.

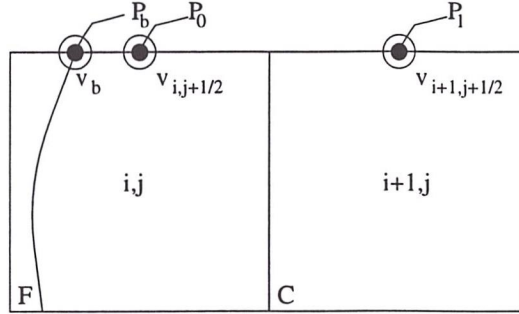


Figura 1.25: Célula F com a face  $i + \frac{1}{2}$  em contato com células S ou C - cálculo de  $v_{i,j+\frac{1}{2}}$

Seja  $P_0 = (x_i, y_{j+\frac{1}{2}})$ ,  $P_1 = (x_{i+1}, y_{j+\frac{1}{2}})$  e  $P_b = (x_{vb}, y_{j+\frac{1}{2}})$ , onde  $x_{vb}$  denota a intersecção entre a linha definida por  $P_0$  e  $P_1$  com a superfície da fronteira. Então por interpolação linear entre  $P_b$  e  $P_1$  calcula-se  $v_{i,j+\frac{1}{2}}$ :

$$v_{i,j+\frac{1}{2}} = \frac{x_i - x_{vb}}{x_{i+1} - x_{vb}} \cdot v_{i+1,j+\frac{1}{2}} + \frac{\delta x}{x_{vb} - x_{i+1}} \cdot v_b,$$

onde  $\delta x = x_i - x_{i+1}$ .

Para o cálculo da velocidade  $v_{i,j-\frac{1}{2}}$  considere a figura 1.26.

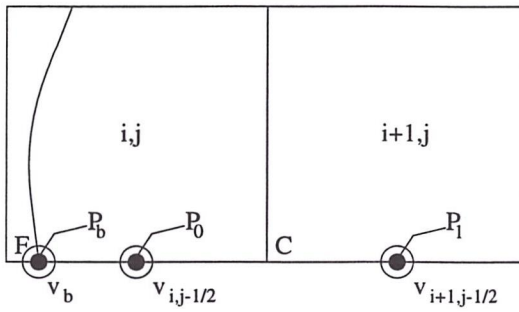


Figura 1.26: Célula F com a face  $i + \frac{1}{2}$  em contato com células S ou C - cálculo de  $v_{i,j-\frac{1}{2}}$

Seja  $P_0 = (x_i, y_{j-\frac{1}{2}})$ ,  $P_1 = (x_{i+1}, y_{j-\frac{1}{2}})$  e  $P_b = (x_{vb}, y_{j-\frac{1}{2}})$ , onde  $x_{vb}$  denota a intersecção entre a linha definida por  $P_0$  e  $P_1$  com a superfície da fronteira. Então por interpolação linear entre  $P_b$  e  $P_1$  calcula-se  $v_{i,j-\frac{1}{2}}$ :

$$v_{i,j-\frac{1}{2}} = \frac{x_i - x_{vb}}{x_{i+1} - x_{vb}} \cdot v_{i+1,j-\frac{1}{2}} + \frac{\delta x}{x_{vb} - x_{i+1}} \cdot v_b,$$

onde  $\delta x = x_i - x_{i+1}$ ;

- células F com a face  $i - \frac{1}{2}$  em contato com células S ou C: como mostra a figura 1.27.

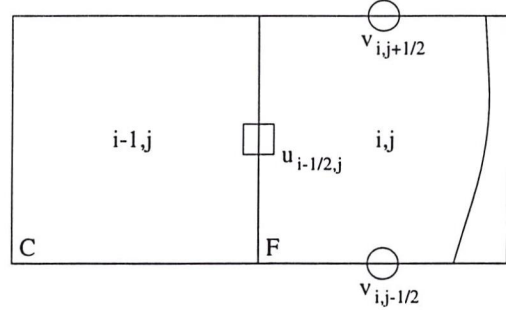


Figura 1.27: Célula F com a face  $i - \frac{1}{2}$  em contato com células S ou C

Na figura 1.27 pode-se observar que as velocidades  $u_{i-\frac{1}{2},j}$ ,  $v_{i,j+\frac{1}{2}}$  e  $v_{i,j-\frac{1}{2}}$  são exigidas, pois para o cálculo de  $u_{i-\frac{3}{2},j}$  utiliza-se as quatro velocidades mais próximas, onde as velocidades  $u_{i-\frac{5}{2},j}$ ,  $u_{i-\frac{3}{2},j+1}$  e  $u_{i-\frac{3}{2},j-1}$  são conhecidas e,  $u_{i-\frac{1}{2},j}$  é desconhecida, como mostra a figura 1.28.

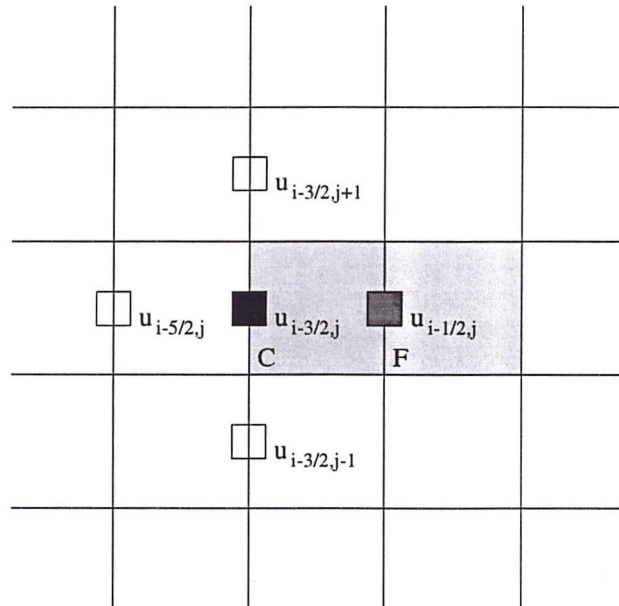


Figura 1.28: Velocidades utilizadas para o cálculo de  $u_{i-\frac{3}{2},j}$

Para o cálculo de  $v_{i-1,j+\frac{1}{2}}$  utiliza-se as quatro velocidades mais próximas, onde as velocidades  $v_{i-2,j+\frac{1}{2}}$ ,  $v_{i-1,j+\frac{3}{2}}$  e  $v_{i-1,j-\frac{1}{2}}$  são conhecidas e,  $v_{i,j+\frac{1}{2}}$  é desconhecida, como mostra a figura 1.29.

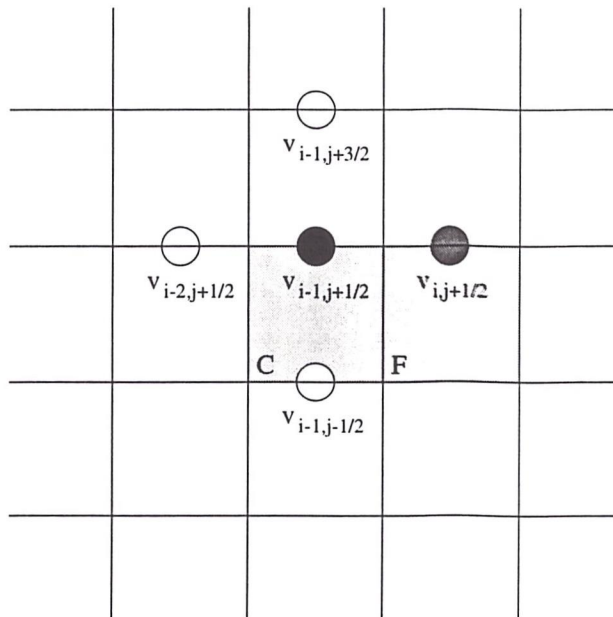


Figura 1.29: Velocidades utilizadas para o cálculo de  $v_{i-1,j+\frac{1}{2}}$

Para o cálculo de  $v_{i-1,j-\frac{1}{2}}$  utiliza-se as quatro velocidades mais próximas, onde as velocidades  $v_{i-2,j-\frac{1}{2}}$ ,  $v_{i-1,j+\frac{1}{2}}$  e  $v_{i-1,j-\frac{3}{2}}$  são conhecidas e,  $v_{i,j-\frac{1}{2}}$  é desconhecida, como mostra a figura 1.30.

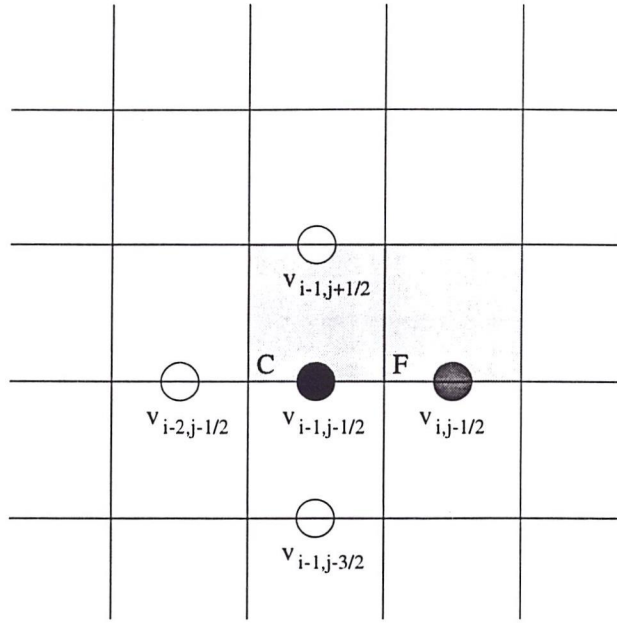


Figura 1.30: Velocidades utilizadas para o cálculo de  $v_{i-1,j-\frac{1}{2}}$

Então deve-se calcular as velocidades  $u$  e  $v$  desconhecidas nas faces das células F através de interpolação linear.

Para o cálculo da velocidade  $u_{i-\frac{1}{2},j}$  considere a figura 1.31.

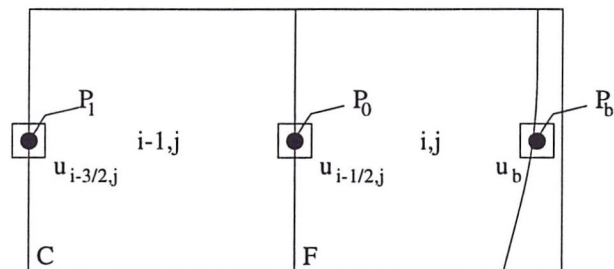


Figura 1.31: Célula F com a face  $i - \frac{1}{2}$  em contato com células S ou C - cálculo de  $u_{i-\frac{1}{2},j}$

Seja  $P_0 = (x_{i-\frac{1}{2}}, y_j)$ ,  $P_1 = (x_{i-\frac{3}{2}}, y_j)$  e  $P_b = (x_{ub}, y_j)$ , onde  $x_{ub}$  denota a intersecção entre a linha definida por  $P_0$  e  $P_1$  com a superfície da fronteira. Então por interpolação linear entre  $P_b$  e  $P_1$  calcula-se  $u_{i-\frac{1}{2},j}$ :

$$u_{i-\frac{1}{2},j} = \frac{x_{i-\frac{1}{2}} - x_{ub}}{x_{i-\frac{3}{2}} - x_{ub}} \cdot u_{i-\frac{3}{2},j} + \frac{\delta x}{x_{ub} - x_{i-\frac{3}{2}}} \cdot u_b,$$

onde  $\delta x = x_{i-\frac{1}{2}} - x_{i-\frac{3}{2}}$ .

Para o cálculo da velocidade  $v_{i,j+\frac{1}{2}}$  considere a figura 1.32.

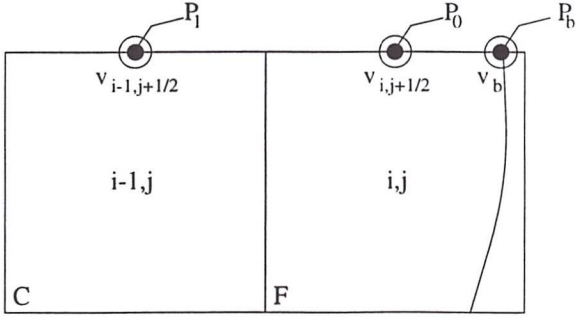


Figura 1.32: Célula F com a face  $i - \frac{1}{2}$  em contato com células S ou C - cálculo de  $v_{i,j+\frac{1}{2}}$

Seja  $P_0 = (x_i, y_{j+\frac{1}{2}})$ ,  $P_1 = (x_{i-1}, y_{j+\frac{1}{2}})$  e  $P_b = (x_{vb}, y_{j+\frac{1}{2}})$ , onde  $x_{vb}$  denota a intersecção entre a linha definida por  $P_0$  e  $P_1$  com a superfície da fronteira. Então por interpolação linear entre  $P_b$  e  $P_1$  calcula-se  $v_{i,j+\frac{1}{2}}$ :

$$v_{i,j+\frac{1}{2}} = \frac{x_i - x_{vb}}{x_{i-1} - x_{vb}} \cdot v_{i-1,j+\frac{1}{2}} + \frac{\delta x}{x_{vb} - x_{i-1}} \cdot v_b,$$

onde  $\delta x = x_i - x_{i-1}$ .

Para o cálculo da velocidade  $v_{i,j-\frac{1}{2}}$  considere a figura 1.33.

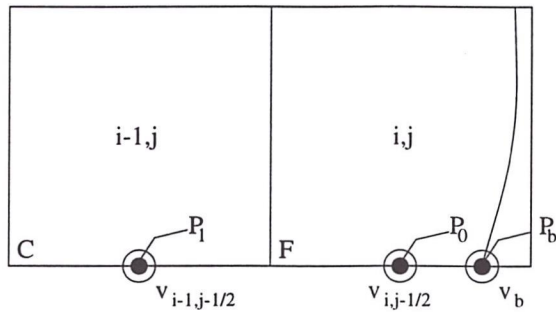


Figura 1.33: Célula F com a face  $i - \frac{1}{2}$  em contato com células S ou C - cálculo de  $v_{i,j-\frac{1}{2}}$

Seja  $P_0 = (x_i, y_{j-\frac{1}{2}})$ ,  $P_1 = (x_{i-1}, y_{j-\frac{1}{2}})$  e  $P_b = (x_{vb}, y_{j-\frac{1}{2}})$ , onde  $x_{vb}$  denota a intersecção entre a linha definida por  $P_0$  e  $P_1$  com a superfície da fronteira. Então por interpolação linear entre  $P_b$  e  $P_1$  calcula-se  $v_{i,j-\frac{1}{2}}$ :

$$v_{i,j-\frac{1}{2}} = \frac{x_i - x_{vb}}{x_{i-1} - x_{vb}} \cdot v_{i-1,j-\frac{1}{2}} + \frac{\delta x}{x_{vb} - x_{i-1}} \cdot v_b,$$

onde  $\delta x = x_i - x_{i-1}$ ;

- células F com a face  $j + \frac{1}{2}$  em contato com células S ou C: como mostra a figura 1.34.

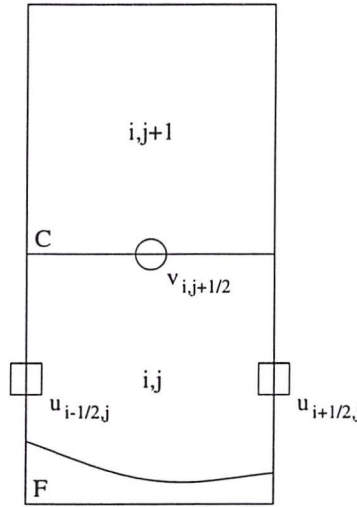


Figura 1.34: Célula F com a face  $j + \frac{1}{2}$  em contato com células S ou C

Na figura 1.34 pode-se observar que as velocidades  $u_{i+\frac{1}{2},j}$ ,  $u_{i-\frac{1}{2},j}$  e  $v_{i,j+\frac{1}{2}}$  são exigidas, pois para o cálculo de  $u_{i+\frac{1}{2},j+1}$  utiliza-se as quatro velocidades mais próximas, onde as velocidades  $u_{i-\frac{1}{2},j+1}$ ,  $u_{i+\frac{3}{2},j+1}$  e  $u_{i+\frac{1}{2},j+2}$  são conhecidas e,  $u_{i+\frac{1}{2},j}$  é desconhecida, como mostra a figura 1.35.

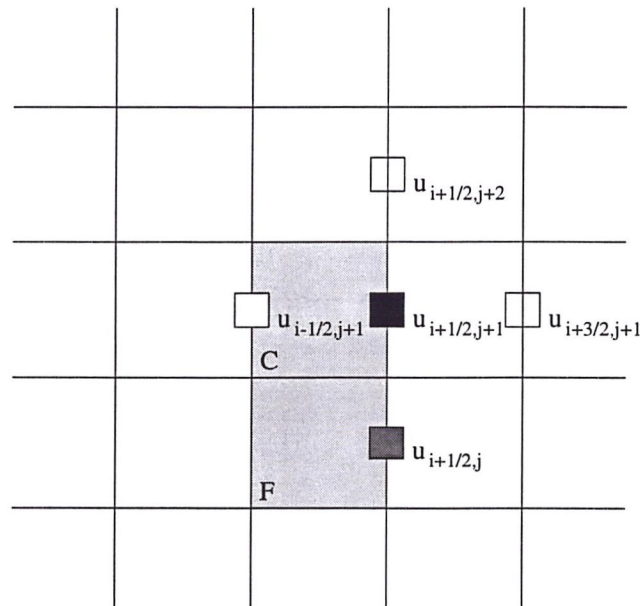


Figura 1.35: Velocidades utilizadas para o cálculo de  $u_{i+\frac{1}{2},j+1}$

Para o cálculo de  $u_{i-\frac{1}{2},j+1}$  utiliza-se as quatro velocidades mais próximas, onde as velocidades  $u_{i-\frac{3}{2},j+1}$ ,  $u_{i+\frac{1}{2},j+1}$  e  $u_{i-\frac{1}{2},j+2}$  são conhecidas e,  $u_{i-\frac{1}{2},j}$  é desconhecida, como

mostra a figura 1.36.

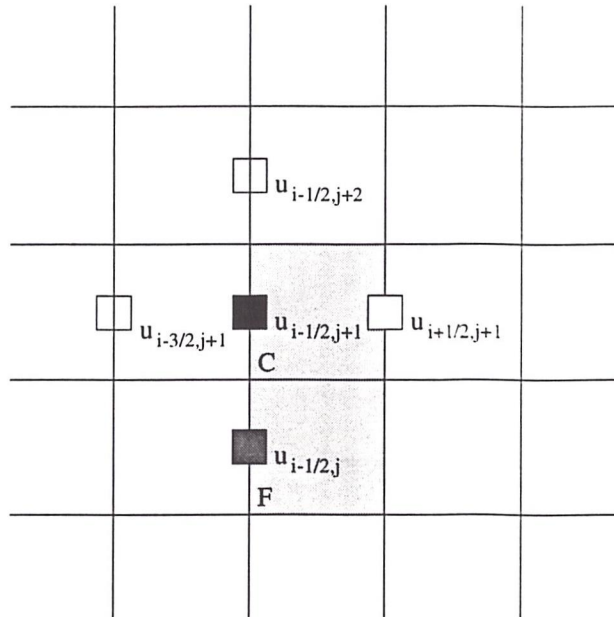


Figura 1.36: Velocidades utilizadas para o cálculo de  $u_{i-1/2, j+1}$

Para o cálculo de  $v_{i,j+\frac{3}{2}}$  utiliza-se as quatro velocidades mais próximas, onde as velocidades  $v_{i-1,j+\frac{3}{2}}$ ,  $v_{i+1,j+\frac{3}{2}}$  e  $v_{i,j+\frac{5}{2}}$  são conhecidas e,  $v_{i,j+\frac{1}{2}}$  é desconhecida, como mostra a figura 1.37.

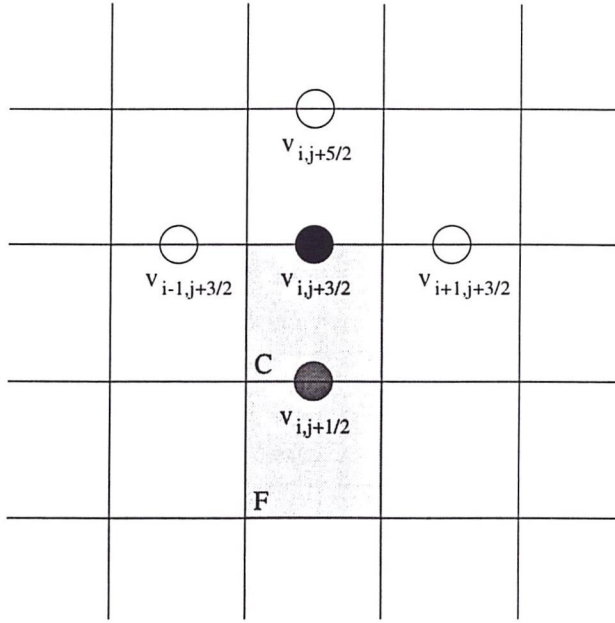


Figura 1.37: Velocidades utilizadas para o cálculo de  $v_{i,j+\frac{3}{2}}$

Então deve-se calcular as velocidades  $u$  e  $v$  desconhecidas nas faces das células  $F$  através de interpolação linear.

Para o cálculo da velocidade  $u_{i+\frac{1}{2},j}$  considere a figura 1.38.

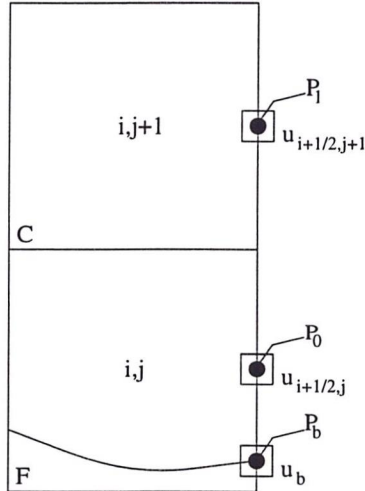


Figura 1.38: Célula  $F$  com a face  $j + \frac{1}{2}$  em contato com células  $S$  ou  $C$  - cálculo de  $u_{i+\frac{1}{2},j}$

Seja  $P_0 = (x_{i+\frac{1}{2}}, y_j)$ ,  $P_1 = (x_{i+\frac{1}{2}}, y_{j+1})$  e  $P_b = (x_{i+\frac{1}{2}}, y_{ub})$ , onde  $y_{ub}$  denota a intersecção entre a linha definida por  $P_0$  e  $P_1$  com a superfície da fronteira. Então por interpolação linear entre  $P_b$  e  $P_1$  calcula-se  $u_{i+\frac{1}{2},j}$ :

$$u_{i+\frac{1}{2},j} = \frac{y_j - y_{ub}}{y_{j+1} - y_{ub}} \cdot u_{i+\frac{1}{2},j+1} + \frac{\delta y}{y_{ub} - y_{j+1}} \cdot u_b,$$

onde  $\delta y = y_j - y_{j+1}$ .

Para o cálculo da velocidade  $u_{i-\frac{1}{2},j}$  considere a figura 1.39.

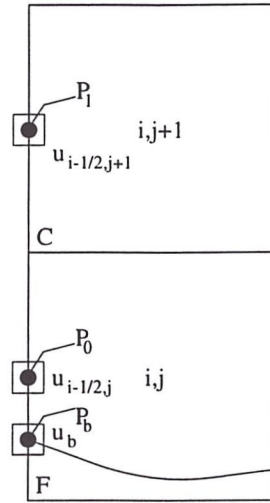


Figura 1.39: Célula F com a face  $j + \frac{1}{2}$  em contato com células S ou C - cálculo de  $u_{i-\frac{1}{2},j}$

Seja  $P_0 = (x_{i-\frac{1}{2}}, y_j)$ ,  $P_1 = (x_{i-\frac{1}{2}}, y_{j+1})$  e  $P_b = (x_{i-\frac{1}{2}}, y_{ub})$ , onde  $y_{ub}$  denota a intersecção entre a linha definida por  $P_0$  e  $P_1$  com a superfície da fronteira. Então por interpolação linear entre  $P_b$  e  $P_1$  calcula-se  $u_{i-\frac{1}{2},j}$ :

$$u_{i-\frac{1}{2},j} = \frac{y_j - y_{ub}}{y_{j+1} - y_{ub}} \cdot u_{i-\frac{1}{2},j+1} + \frac{\delta y}{y_{ub} - y_{j+1}} \cdot u_b,$$

onde  $\delta y = y_j - y_{j+1}$ .

Para o cálculo da velocidade  $v_{i,j+\frac{1}{2}}$  considere a figura 1.40.

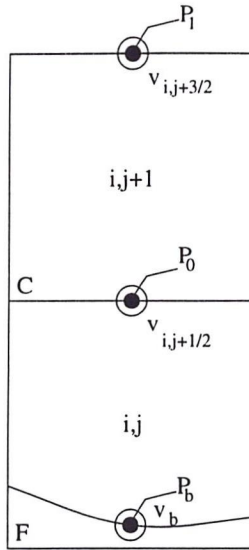


Figura 1.40: Célula F com a face  $j + \frac{1}{2}$  em contato com células S ou C - cálculo de  $v_{i,j+\frac{1}{2}}$

Seja  $P_0 = (x_i, y_{j+\frac{1}{2}})$ ,  $P_1 = (x_i, y_{j+\frac{3}{2}})$  e  $P_b = (x_i, y_{vb})$ , onde  $y_{vb}$  denota a intersecção entre a linha definida por  $P_0$  e  $P_1$  com a superfície da fronteira. Então por interpolação linear entre  $P_b$  e  $P_1$  calcula-se  $v_{i,j+\frac{1}{2}}$ :

$$v_{i,j+\frac{1}{2}} = \frac{y_{j+\frac{1}{2}} - y_{vb}}{y_{j+\frac{3}{2}} - y_{vb}} \cdot v_{i,j+\frac{3}{2}} + \frac{\delta y}{y_{vb} - y_{j+\frac{3}{2}}} \cdot v_b,$$

onde  $\delta y = y_{j+\frac{1}{2}} - y_{j+\frac{3}{2}}$ ;

- células F com a face  $j - \frac{1}{2}$  em contato com células S ou C: como mostra a figura 1.41.

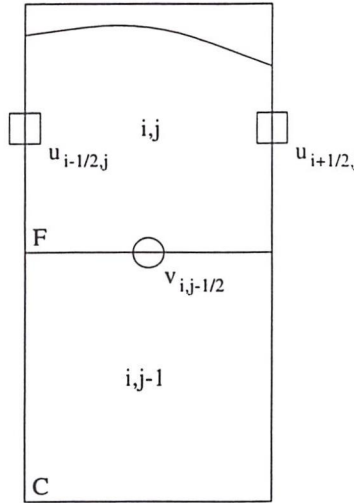


Figura 1.41: Célula F com a face  $j - \frac{1}{2}$  em contato com células S ou C

Na figura 1.41 pode-se observar que as velocidades  $u_{i+\frac{1}{2},j}$ ,  $u_{i-\frac{1}{2},j}$  e  $v_{i,j-\frac{1}{2}}$  são exigidas, pois para o cálculo de  $u_{i+\frac{1}{2},j-1}$  utiliza-se as quatro velocidades mais próximas, onde as velocidades  $u_{i-\frac{1}{2},j-1}$ ,  $u_{i+\frac{3}{2},j-1}$  e  $u_{i+\frac{1}{2},j-2}$  são conhecidas e,  $u_{i+\frac{1}{2},j}$  é desconhecida, como mostra a figura 1.42.

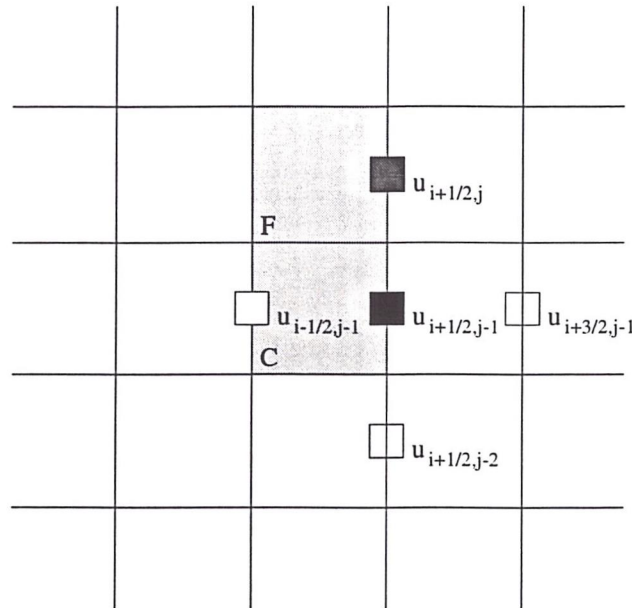


Figura 1.42: Velocidades utilizadas para o cálculo de  $u_{i+\frac{1}{2},j-1}$

Para o cálculo de  $u_{i-\frac{1}{2},j-1}$  utiliza-se as quatro velocidades mais próximas, onde as velocidades  $u_{i-\frac{3}{2},j-1}$ ,  $u_{i+\frac{1}{2},j-1}$  e  $u_{i-\frac{1}{2},j-2}$  são conhecidas e,  $u_{i-\frac{1}{2},j}$  é desconhecida, como

mostra a figura 1.43.

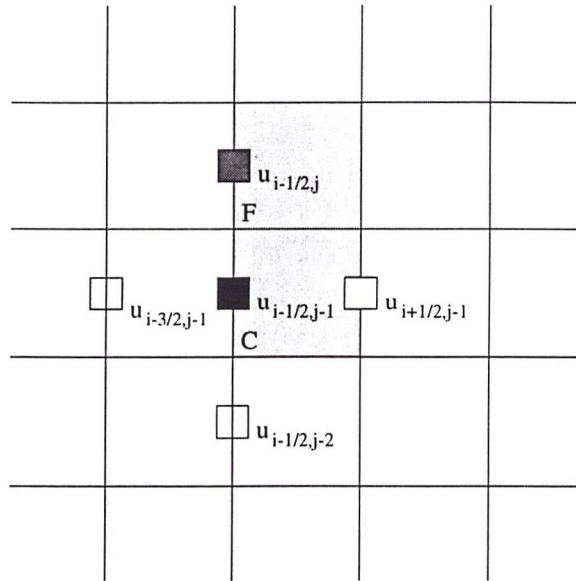


Figura 1.43: Velocidades utilizadas para o cálculo de  $u_{i-\frac{1}{2},j-1}$

Para o cálculo de  $v_{i,j-\frac{3}{2}}$  utiliza-se as quatro velocidades mais próximas, onde as velocidades  $v_{i-1,j-\frac{3}{2}}$ ,  $v_{i+1,j-\frac{3}{2}}$  e  $v_{i,j-\frac{5}{2}}$  são conhecidas e,  $v_{i,j-\frac{1}{2}}$  é desconhecida, como mostra a figura 1.44.

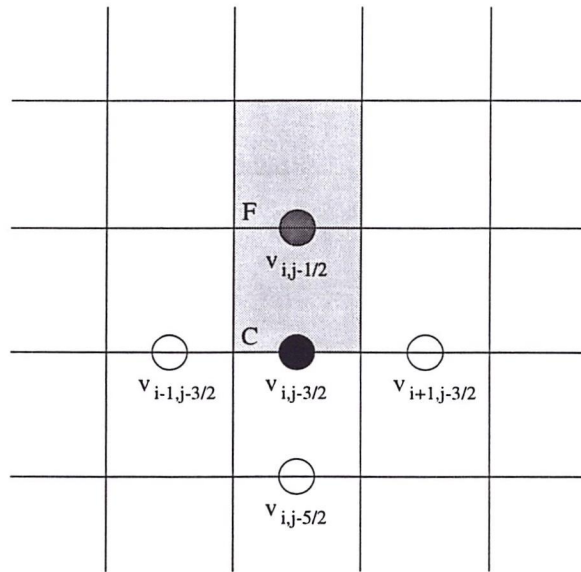


Figura 1.44: Velocidades utilizadas para o cálculo de  $v_{i,j-\frac{3}{2}}$

Então deve-se calcular as velocidades  $u$  e  $v$  desconhecidas nas faces das células F através de interpolação linear.

Para o cálculo da velocidade  $u_{i+\frac{1}{2},j}$  considere a figura 1.45.

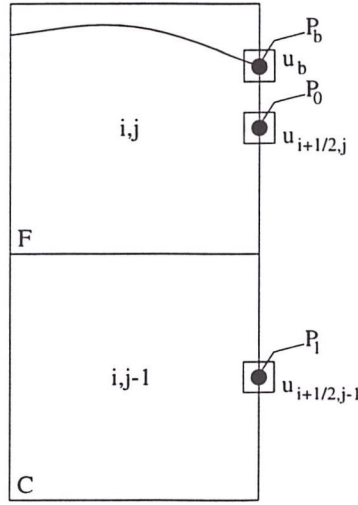


Figura 1.45: Célula F com a face  $j - \frac{1}{2}$  em contato com células S ou C - cálculo de  $u_{i+\frac{1}{2},j}$

Seja  $P_0 = (x_{i+\frac{1}{2}}, y_j)$ ,  $P_1 = (x_{i+\frac{1}{2}}, y_{j-1})$  e  $P_b = (x_{i+\frac{1}{2}}, y_{ub})$ , onde  $y_{ub}$  denota a intersecção entre a linha definida por  $P_0$  e  $P_1$  com a superfície da fronteira. Então por interpolação linear entre  $P_b$  e  $P_1$  calcula-se  $u_{i+\frac{1}{2},j}$ :

$$u_{i+\frac{1}{2},j} = \frac{y_j - y_{ub}}{y_{j-1} - y_{ub}} \cdot u_{i+\frac{1}{2},j-1} + \frac{\delta y}{y_{ub} - y_{j-1}} \cdot u_b,$$

onde  $\delta y = y_j - y_{j-1}$ .

Para o cálculo da velocidade  $u_{i-\frac{1}{2},j}$  considere a figura 1.46.

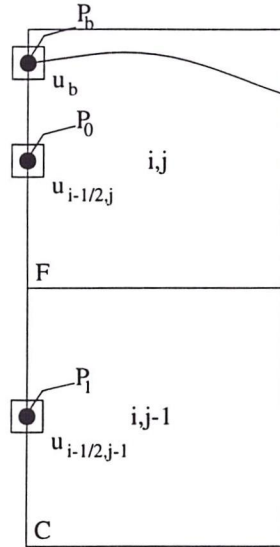


Figura 1.46: Célula  $F$  com a face  $j - \frac{1}{2}$  em contato com células  $S$  ou  $C$  - cálculo de  $u_{i-\frac{1}{2},j}$

Seja  $P_0 = (x_{i-\frac{1}{2}}, y_j)$ ,  $P_1 = (x_{i-\frac{1}{2}}, y_{j-1})$  e  $P_b = (x_{i-\frac{1}{2}}, y_{ub})$ , onde  $y_{ub}$  denota a intersecção entre a linha definida por  $P_0$  e  $P_1$  com a superfície da fronteira. Então por interpolação linear entre  $P_b$  e  $P_1$  calcula-se  $u_{i-\frac{1}{2},j}$ :

$$u_{i-\frac{1}{2},j} = \frac{y_j - y_{ub}}{y_{j-1} - y_{ub}} \cdot u_{i-\frac{1}{2},j-1} + \frac{\delta y}{y_{ub} - y_{j-1}} \cdot u_b,$$

onde  $\delta y = y_j - y_{j-1}$ .

Para o cálculo da velocidade  $v_{i,j-\frac{1}{2}}$  considere a figura 1.47.

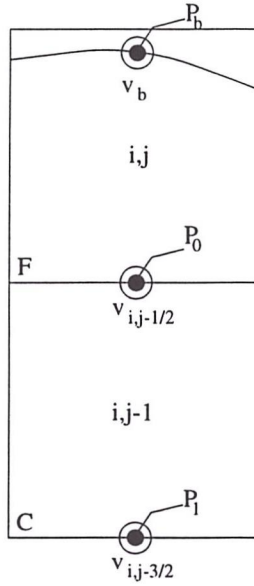


Figura 1.47: Célula F com a face  $j - \frac{1}{2}$  em contato com células S ou C - cálculo de  $v_{i,j-\frac{1}{2}}$

Seja  $P_0 = (x_i, y_{j-\frac{1}{2}})$ ,  $P_1 = (x_i, y_{j-\frac{3}{2}})$  e  $P_b = (x_i, y_{vb})$ , onde  $y_{vb}$  denota a intersecção entre a linha definida por  $P_0$  e  $P_1$  com a superfície da fronteira. Então por interpolação linear entre  $P_b$  e  $P_1$  calcula-se  $v_{i,j-\frac{1}{2}}$ :

$$v_{i,j-\frac{1}{2}} = \frac{y_{j-\frac{1}{2}} - y_{vb}}{y_{j-\frac{3}{2}} - y_{vb}} \cdot v_{i,j-\frac{3}{2}} + \frac{\delta y}{y_{vb} - y_{j-\frac{3}{2}}} \cdot v_b,$$

onde  $\delta y = y_{j-\frac{1}{2}} - y_{j-\frac{3}{2}}$ .

Agora, os quatro casos de células F que têm duas faces em contato com células S ou C:

- células F com as faces  $i + \frac{1}{2}$  e  $j + \frac{1}{2}$  em contato com células S ou C: como mostra a figura 1.48.

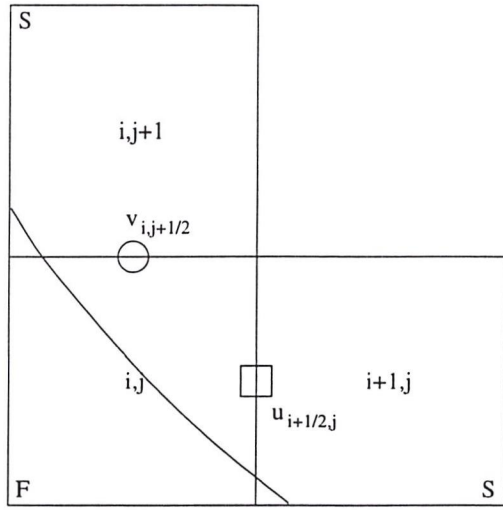


Figura 1.48: Célula F com a face  $i + \frac{1}{2}$  e  $j + \frac{1}{2}$  em contato com células S ou C

Na figura 1.48 pode-se observar que as velocidades  $u_{i+\frac{1}{2},j}$  e  $v_{i,j+\frac{1}{2}}$  são exigidas, pois para o cálculo de  $u_{i+\frac{3}{2},j}$  utiliza-se as quatro velocidades mais próximas, onde as velocidades  $u_{i+\frac{5}{2},j}$ ,  $u_{i+\frac{3}{2},j+1}$  e  $u_{i+\frac{3}{2},j-1}$  são conhecidas e,  $u_{i+\frac{1}{2},j}$  é desconhecida. E para o cálculo de  $u_{i+\frac{1}{2},j+1}$  utiliza-se as quatro velocidades mais próximas, onde as velocidades  $u_{i-\frac{1}{2},j+1}$ ,  $u_{i+\frac{3}{2},j+1}$  e  $u_{i+\frac{1}{2},j+2}$  são conhecidas e,  $u_{i+\frac{1}{2},j}$  é desconhecida, como mostra a figura 1.49.

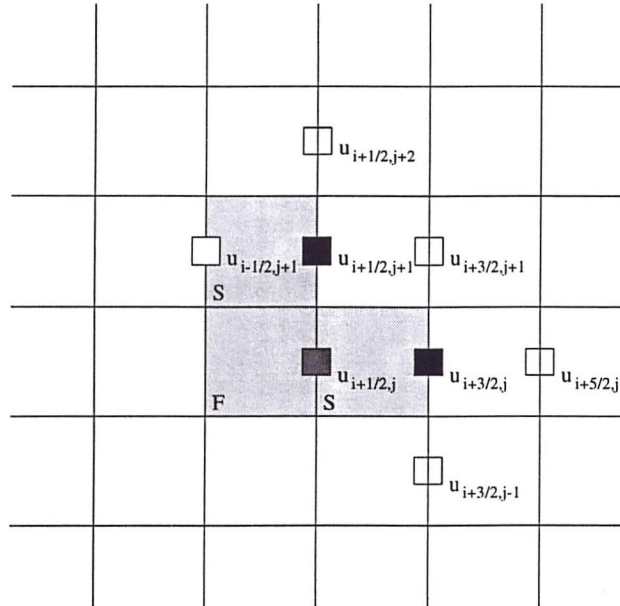


Figura 1.49: Velocidades utilizadas para o cálculo de  $u_{i+\frac{3}{2},j}$  e  $u_{i+\frac{1}{2},j+1}$

Para o cálculo de  $v_{i+1,j+\frac{1}{2}}$  utiliza-se as quatro velocidades mais próximas, onde as

velocidades  $v_{i+2,j+\frac{1}{2}}$ ,  $v_{i+1,j+\frac{3}{2}}$  e  $v_{i+1,j-\frac{1}{2}}$  são conhecidas e,  $v_{i,j+\frac{1}{2}}$  é desconhecida. E para o cálculo de  $v_{i,j+\frac{3}{2}}$  utiliza-se as quatro velocidades mais próximas, onde as velocidades  $v_{i-1,j+\frac{3}{2}}$ ,  $v_{i+1,j+\frac{3}{2}}$  e  $v_{i,j+\frac{5}{2}}$  são conhecidas e,  $v_{i,j+\frac{1}{2}}$  é desconhecida, como mostra a figura 1.50.

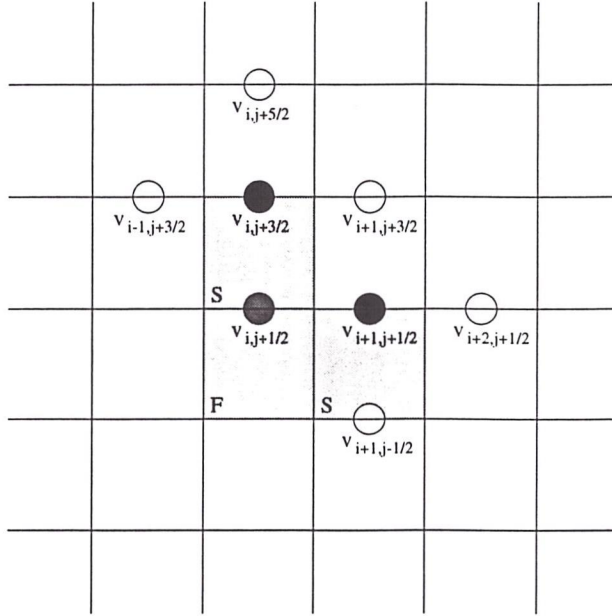


Figura 1.50: Velocidades utilizadas para o cálculo de  $v_{i+1,j+\frac{1}{2}}$  e  $v_{i,j+\frac{3}{2}}$

Então deve-se calcular as velocidades  $u$  e  $v$  desconhecidas nas faces das células F através de interpolação linear. Quando tem-se células F com duas faces em contato com células S ou C pode ocorrer de se ter duas opções para interpolar, uma na direção x e outra na direção y.

Para o cálculo da velocidade  $u_{i+\frac{1}{2},j}$  considere a figura 1.51.

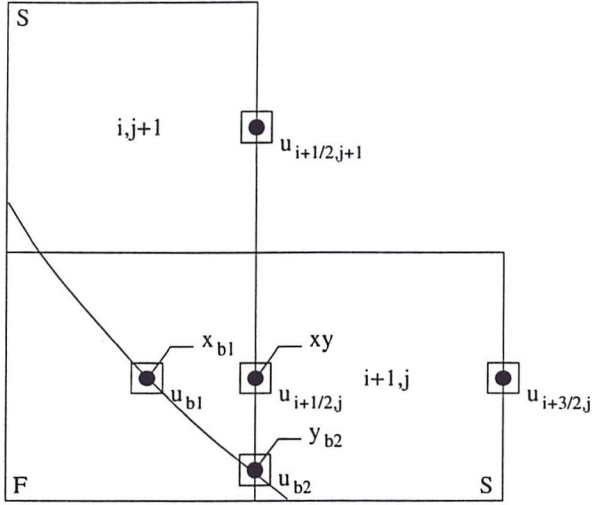


Figura 1.51: Célula F com as faces  $i + \frac{1}{2}$  e  $j + \frac{1}{2}$  em contato com células S ou C - cálculo de  $u_{i+\frac{1}{2},j}$

Tem-se duas opções para a interpolação, como pode ser observado na figura 1.51, uma na direção x, outra na direção y. Escolhe-se a direção onde  $x_{b1} - xy$  ou  $y_{b2} - xy$  for menor em módulo.

Se a menor distância for  $x_{b1} - xy$  então a interpolação é feita na direção x, como mostra a figura 1.52.

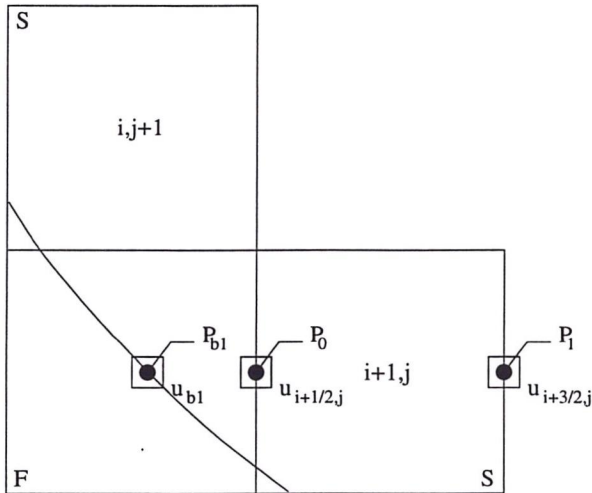


Figura 1.52: Célula F com as faces  $i + \frac{1}{2}$  e  $j + \frac{1}{2}$  em contato com células S ou C - cálculo de  $u_{i+\frac{1}{2},j}$  na direção x

Seja  $P_0 = (x_{i+\frac{1}{2}}, y_j)$ ,  $P_1 = (x_{i+\frac{3}{2}}, y_j)$  e  $P_{b1} = (x_{b1}, y_j)$ , onde  $x_{b1}$  denota a intersecção entre a linha definida por  $P_0$  e  $P_1$  com a superfície da fronteira. Então por interpolação

linear entre  $P_{b1}$  e  $P_1$  calcula-se  $u_{i+\frac{1}{2},j}$ :

$$u_{i+\frac{1}{2},j} = \frac{x_{i+\frac{1}{2}} - x_{b1}}{x_{i+\frac{3}{2}} - x_{b1}} \cdot u_{i+\frac{3}{2},j} + \frac{\delta x}{x_{b1} - x_{i+\frac{3}{2}}} \cdot u_{b1},$$

onde  $\delta x = x_{i+\frac{1}{2}} - x_{i+\frac{3}{2}}$ .

Se a menor distância for  $y_{b2} - xy$  então a interpolação é feita na direção y, como mostra a figura 1.53.

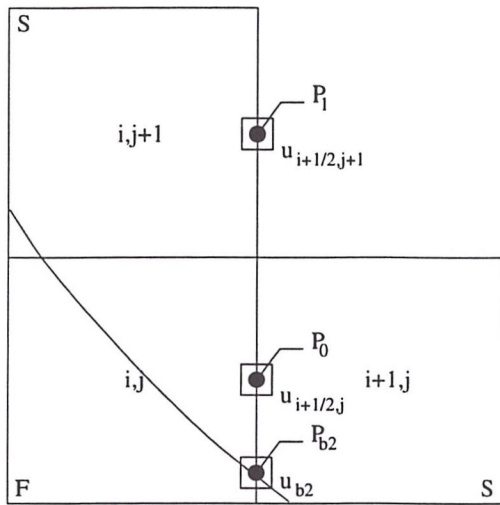


Figura 1.53: Célula F com as faces  $i + \frac{1}{2}$  e  $j + \frac{1}{2}$  em contato com células S ou C - cálculo de  $u_{i+\frac{1}{2},j}$  na direção y

Seja  $P_0 = (x_{i+\frac{1}{2}}, y_j)$ ,  $P_1 = (x_{i+\frac{1}{2}}, y_{j+1})$  e  $P_{b2} = (x_{i+\frac{1}{2}}, y_{b2})$ , onde  $y_{b2}$  denota a intersecção entre a linha definida por  $P_0$  e  $P_1$  com a superfície da fronteira. Então por interpolação linear entre  $P_{b2}$  e  $P_1$  calcula-se  $u_{i+\frac{1}{2},j}$ :

$$u_{i+\frac{1}{2},j} = \frac{y_j - y_{b2}}{y_{j+1} - y_{b2}} \cdot u_{i+\frac{1}{2},j+1} + \frac{\delta y}{y_{b2} - y_{j+1}} \cdot u_{b2},$$

onde  $\delta y = y_j - y_{j+1}$ .

Para o cálculo da velocidade  $v_{i,j+\frac{1}{2}}$  considere a figura 1.54.

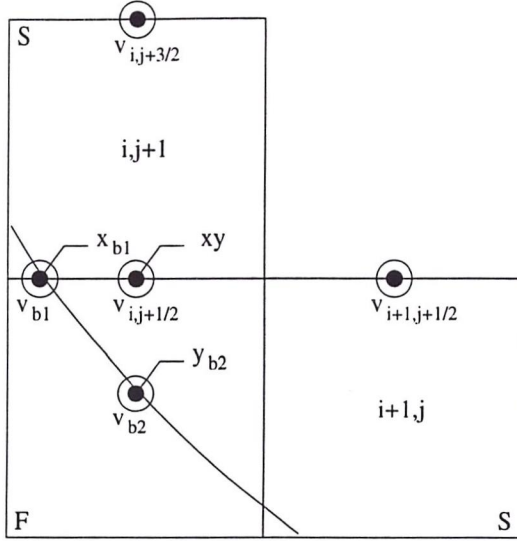


Figura 1.54: Célula F com a face  $i + \frac{1}{2}$  e  $j + \frac{1}{2}$  em contato com células S ou C - cálculo de  $v_{i,j+\frac{1}{2}}$

Tem-se duas opções para a interpolação, como pode ser observado na figura 1.54, uma na direção x, outra na direção y. Escolhe-se a direção onde  $x_{b1} - xy$  ou  $y_{b2} - xy$  for menor em módulo.

Se a menor distância for  $x_{b1} - xy$  então a interpolação é feita na direção x, como mostra a figura 1.55.

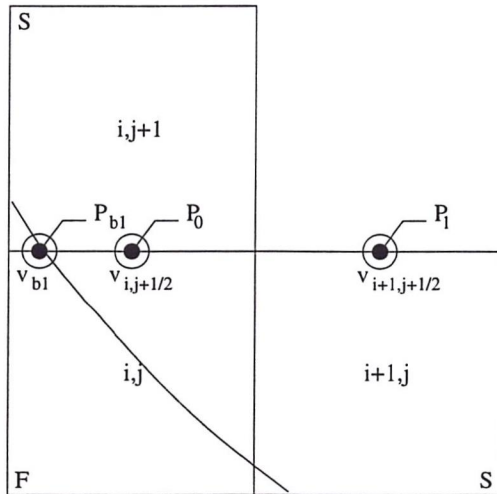


Figura 1.55: Célula F com as faces  $i + \frac{1}{2}$  e  $j + \frac{1}{2}$  em contato com células S ou C - cálculo de  $v_{i,j+\frac{1}{2}}$  na direção x

Seja  $P_0 = (x_i, y_{j+\frac{1}{2}})$ ,  $P_1 = (x_{i+1}, y_{j+\frac{1}{2}})$  e  $P_{b1} = (x_{b1}, y_{j+\frac{1}{2}})$ , onde  $x_{b1}$  denota a in-

tersecção entre a linha definida por  $P_0$  e  $P_1$  com a superfície da fronteira. Então por interpolação linear entre  $P_{b1}$  e  $P_1$  calcula-se  $v_{i,j+\frac{1}{2}}$ :

$$v_{i,j+\frac{1}{2}} = \frac{x_i - x_{b1}}{x_{i+1} - x_{b1}} \cdot v_{i+1,j+\frac{1}{2}} + \frac{\delta x}{x_{b1} - x_{i+1}} \cdot v_{b1},$$

onde  $\delta x = x_i - x_{i+1}$ .

Se a menor distância for  $y_{b2} - y$  então a interpolação é feita na direção y, como mostra a figura 1.56.

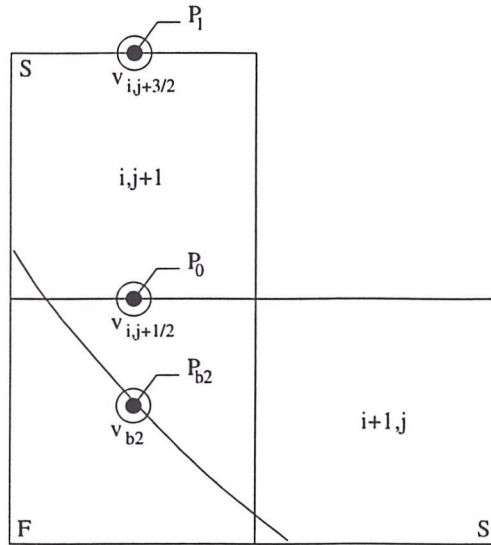


Figura 1.56: Célula F com as faces  $i + \frac{1}{2}$  e  $j + \frac{1}{2}$  em contato com células S ou C - cálculo de  $v_{i,j+\frac{1}{2}}$  na direção y

Seja  $P_0 = (x_i, y_{j+\frac{1}{2}})$ ,  $P_1 = (x_i, y_{j+\frac{3}{2}})$  e  $P_{b2} = (x_i, y_{b2})$ , onde  $y_{b2}$  denota a intersecção entre a linha definida por  $P_0$  e  $P_1$  com a superfície da fronteira. Então por interpolação linear entre  $P_{b2}$  e  $P_1$  calcula-se  $v_{i,j+\frac{1}{2}}$ :

$$v_{i,j+\frac{1}{2}} = \frac{y_{j+\frac{1}{2}} - y_{b2}}{y_{j+\frac{3}{2}} - y_{b2}} \cdot v_{i,j+\frac{3}{2}} + \frac{\delta y}{y_{b2} - y_{j+\frac{3}{2}}} \cdot v_{b2},$$

onde  $\delta y = y_{j+\frac{1}{2}} - y_{j+\frac{3}{2}}$ ;

- células F com as faces  $i - \frac{1}{2}$  e  $j + \frac{1}{2}$  em contato com células S ou C: como mostra a figura 1.57.

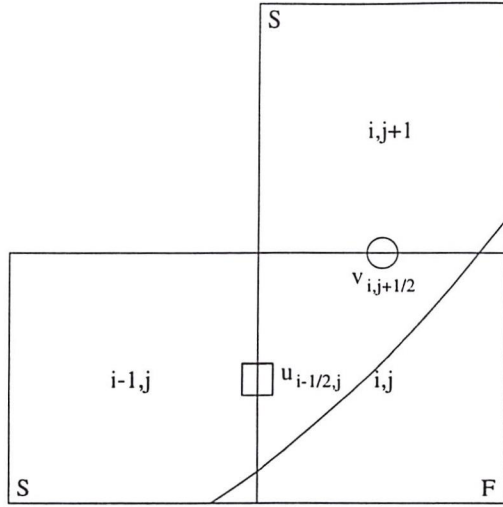


Figura 1.57: Célula F com a face  $i - \frac{1}{2}$  e  $j + \frac{1}{2}$  em contato com células S ou C

Na figura 1.57 pode-se observar que as velocidades  $u_{i-\frac{3}{2},j}$  e  $v_{i,j+\frac{1}{2}}$  são exigidas, pois para o cálculo de  $u_{i-\frac{3}{2},j}$  utiliza-se as quatro velocidades mais próximas, onde as velocidades  $u_{i-\frac{5}{2},j}$ ,  $u_{i-\frac{3}{2},j+1}$  e  $u_{i-\frac{3}{2},j-1}$  são conhecidas e,  $u_{i-\frac{1}{2},j}$  é desconhecida. E para o cálculo de  $u_{i-\frac{1}{2},j+1}$  utiliza-se as quatro velocidades mais próximas, onde as velocidades  $u_{i-\frac{3}{2},j+1}$ ,  $u_{i+\frac{1}{2},j+1}$  e  $u_{i-\frac{1}{2},j+2}$  são conhecidas e,  $u_{i-\frac{1}{2},j}$  é desconhecida, como mostra a figura 1.58.

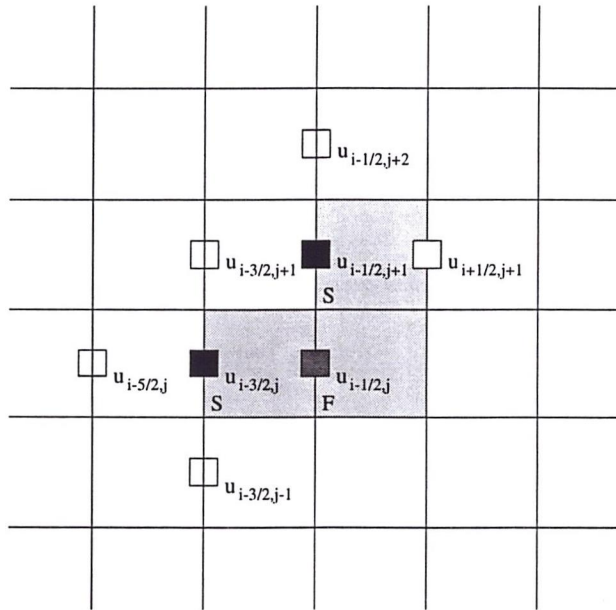


Figura 1.58: Velocidades utilizadas para o cálculo de  $u_{i-\frac{3}{2},j}$  e  $u_{i-\frac{1}{2},j+1}$

Para o cálculo de  $v_{i-1,j+\frac{1}{2}}$  utiliza-se as quatro velocidades mais próximas, onde as

velocidades  $v_{i-2,j+\frac{1}{2}}$ ,  $v_{i-1,j+\frac{3}{2}}$  e  $v_{i-1,j-\frac{1}{2}}$  são conhecidas e,  $v_{i,j+\frac{1}{2}}$  é desconhecida. E para o cálculo de  $v_{i,j+\frac{3}{2}}$  utiliza-se as quatro velocidades mais próximas, onde as velocidades  $v_{i-1,j+\frac{3}{2}}$ ,  $v_{i+1,j+\frac{3}{2}}$  e  $v_{i,j+\frac{5}{2}}$  são conhecidas e,  $v_{i,j+\frac{1}{2}}$  é desconhecida, como mostra a figura 1.59.

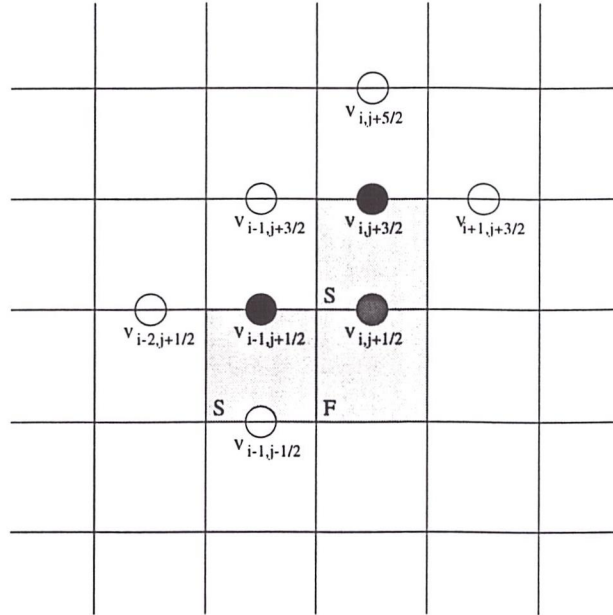


Figura 1.59: Velocidades utilizadas para o cálculo de  $v_{i-1,j+\frac{1}{2}}$  e  $v_{i,j+\frac{3}{2}}$

Então deve-se calcular as velocidades  $u$  e  $v$  desconhecidas nas faces das células F através de interpolação linear. Quando tem-se células F com duas faces em contato com células S ou C pode ocorrer de se ter duas opções para interpolar, uma na direção x e outra na direção y.

Para o cálculo da velocidade  $u_{i-\frac{1}{2},j}$  considere a figura 1.60.

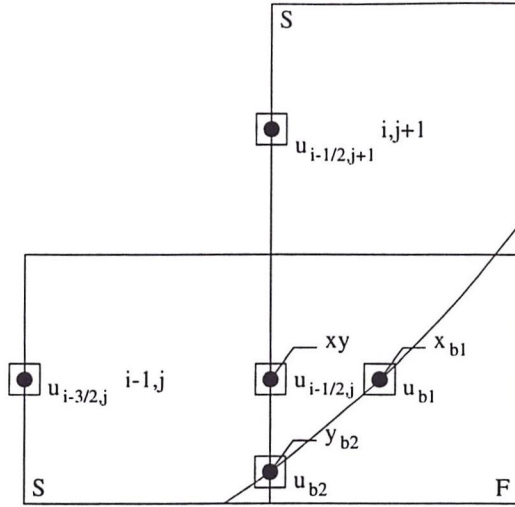


Figura 1.60: Célula F com as faces  $i - \frac{1}{2}$  e  $j + \frac{1}{2}$  em contato com células S ou C - cálculo de  $u_{i-\frac{1}{2},j}$

Tem-se duas opções para a interpolação, como pode ser observado na figura 1.60, uma na direção x, outra na direção y. Escolhe-se a direção onde  $x_{b1} - xy$  ou  $y_{b2} - xy$  for menor em módulo.

Se a menor distância for  $x_{b1} - xy$  então a interpolação é feita na direção x, como mostra a figura 1.61.

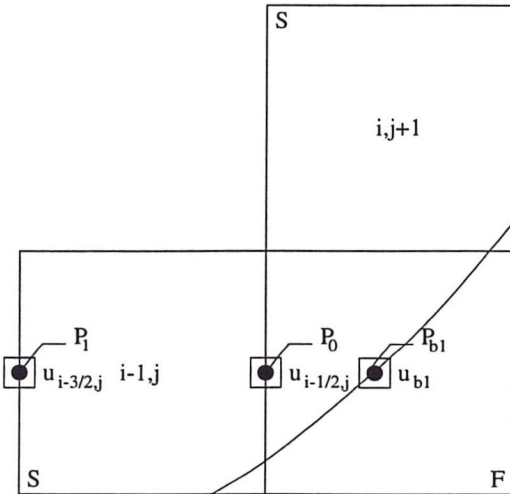


Figura 1.61: Célula F com as faces  $i - \frac{1}{2}$  e  $j + \frac{1}{2}$  em contato com células S ou C - cálculo de  $u_{i-\frac{1}{2},j}$  na direção x

Seja  $P_0 = (x_{i-\frac{1}{2}}, y_j)$ ,  $P_1 = (x_{i-\frac{3}{2}}, y_j)$  e  $P_{b1} = (x_{b1}, y_j)$ , onde  $x_{b1}$  denota a intersecção entre a linha definida por  $P_0$  e  $P_1$  com a superfície da fronteira. Então por interpolação

linear entre  $P_{b1}$  e  $P_1$  calcula-se  $u_{i-\frac{1}{2},j}$ :

$$u_{i-\frac{1}{2},j} = \frac{x_{i-\frac{1}{2}} - x_{b1}}{x_{i-\frac{3}{2}} - x_{b1}} \cdot u_{i-\frac{3}{2},j} + \frac{\delta x}{x_{b1} - x_{i-\frac{3}{2}}} \cdot u_{b1},$$

onde  $\delta x = x_{i-\frac{1}{2}} - x_{i-\frac{3}{2}}$ .

Se a menor distância for  $y_{b2} - y_j$  então a interpolação é feita na direção y, como mostra a figura 1.62.

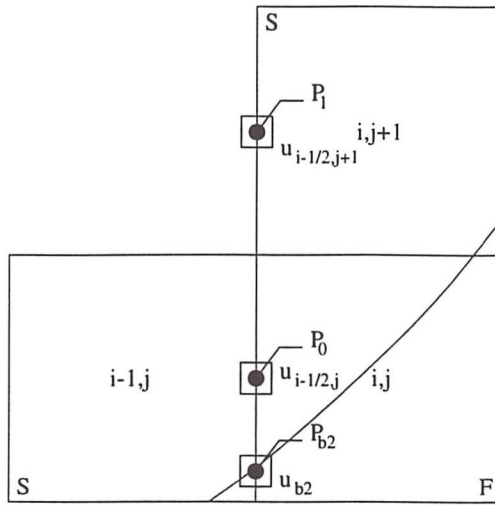


Figura 1.62: Célula F com as faces  $i - \frac{1}{2}$  e  $j + \frac{1}{2}$  em contato com células S ou C - cálculo de  $u_{i-\frac{1}{2},j}$  na direção y

Seja  $P_0 = (x_{i-\frac{1}{2}}, y_j)$ ,  $P_1 = (x_{i-\frac{1}{2}}, y_{j+1})$  e  $P_{b2} = (x_{i-\frac{1}{2}}, y_{b2})$ , onde  $y_{b2}$  denota a intersecção entre a linha definida por  $P_0$  e  $P_1$  com a superfície da fronteira. Então por interpolação linear entre  $P_{b2}$  e  $P_1$  calcula-se  $u_{i-\frac{1}{2},j}$ :

$$u_{i-\frac{1}{2},j} = \frac{y_j - y_{b2}}{y_{j+1} - y_{b2}} \cdot u_{i-\frac{1}{2},j+1} + \frac{\delta y}{y_{b2} - y_{j+1}} \cdot u_{b2},$$

onde  $\delta y = y_j - y_{j+1}$ .

Para o cálculo da velocidade  $v_{i,j+\frac{1}{2}}$  considere a figura 1.63.

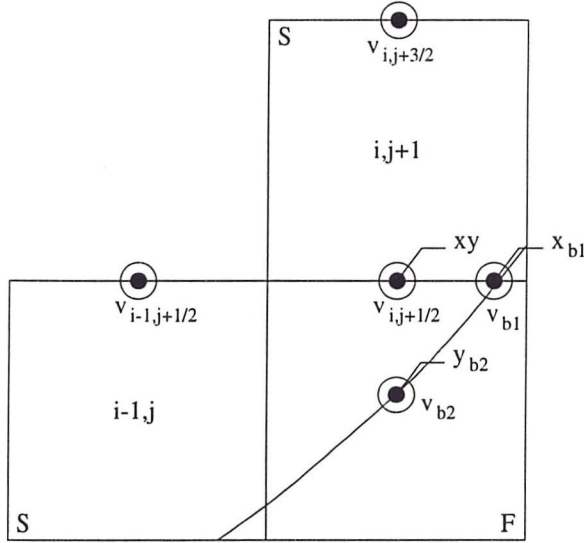


Figura 1.63: Célula F com a face  $i - \frac{1}{2}$  e  $j + \frac{1}{2}$  em contato com células S ou C - cálculo de  $v_{i,j+\frac{1}{2}}$

Tem-se duas opções para a interpolação, como pode ser observado na figura 1.63, uma na direção x, outra na direção y. Escolhe-se a direção onde  $x_{b1} - xy$  ou  $y_{b2} - xy$  for menor em módulo.

Se a menor distância for  $x_{b1} - xy$  então a interpolação é feita na direção x, como mostra a figura 1.64.

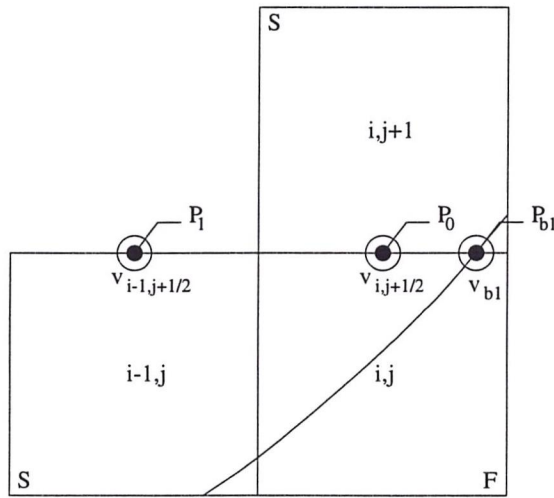


Figura 1.64: Célula F com as faces  $i - \frac{1}{2}$  e  $j + \frac{1}{2}$  em contato com células S ou C - cálculo de  $v_{i,j+\frac{1}{2}}$  na direção x

Seja  $P_0 = (x_i, y_{j+\frac{1}{2}})$ ,  $P_1 = (x_{i-1}, y_{j+\frac{1}{2}})$  e  $P_{b1} = (x_{b1}, y_{j+\frac{1}{2}})$ , onde  $x_{b1}$  denota a in-

tersecção entre a linha definida por  $P_0$  e  $P_1$  com a superfície da fronteira. Então por interpolação linear entre  $P_{b1}$  e  $P_1$  calcula-se  $v_{i,j+\frac{1}{2}}$ :

$$v_{i,j+\frac{1}{2}} = \frac{x_i - x_{b1}}{x_{i-1} - x_{b1}} \cdot v_{i-1,j+\frac{1}{2}} + \frac{\delta x}{x_{b1} - x_{i-1}} \cdot v_{b1},$$

onde  $\delta x = x_i - x_{i-1}$ .

Se a menor distância for  $y_{b2} - y$  então a interpolação é feita na direção y, como mostra a figura 1.65.

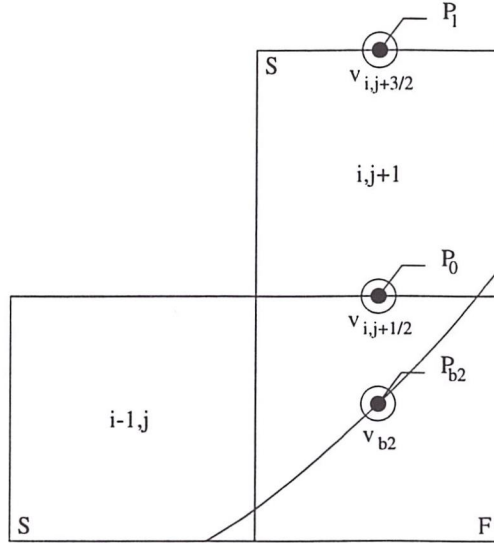


Figura 1.65: Célula F com as faces  $i - \frac{1}{2}$  e  $j + \frac{1}{2}$  em contato com células S ou C - cálculo de  $v_{i,j+\frac{1}{2}}$  na direção y

Seja  $P_0 = (x_i, y_{j+\frac{1}{2}})$ ,  $P_1 = (x_i, y_{j+\frac{3}{2}})$  e  $P_{b2} = (x_i, y_{b2})$ , onde  $y_{b2}$  denota a intersecção entre a linha definida por  $P_0$  e  $P_1$  com a superfície da fronteira. Então por interpolação linear entre  $P_{b2}$  e  $P_1$  calcula-se  $v_{i,j+\frac{1}{2}}$ :

$$v_{i,j+\frac{1}{2}} = \frac{y_{j+\frac{1}{2}} - y_{b2}}{y_{j+\frac{3}{2}} - y_{b2}} \cdot v_{i,j+\frac{3}{2}} + \frac{\delta y}{y_{b2} - y_{j+\frac{3}{2}}} \cdot v_{b2},$$

onde  $\delta y = y_{j+\frac{1}{2}} - y_{j+\frac{3}{2}}$ ;

- células F com as faces  $i + \frac{1}{2}$  e  $j - \frac{1}{2}$  em contato com células S ou C: como mostra a figura 1.66.

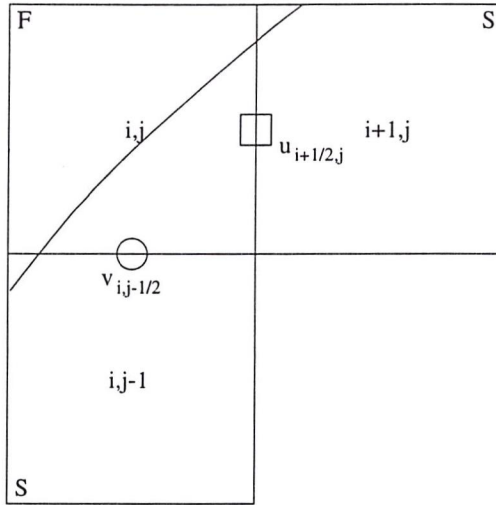


Figura 1.66: Célula F com a face  $i + \frac{1}{2}$  e  $j - \frac{1}{2}$  em contato com células S ou C

Na figura 1.66 pode-se observar que as velocidades  $u_{i+\frac{1}{2},j}$  e  $v_{i,j-\frac{1}{2}}$  são exigidas, pois para o cálculo de  $u_{i+\frac{3}{2},j}$  utiliza-se as quatro velocidades mais próximas, onde as velocidades  $u_{i+\frac{5}{2},j}$ ,  $u_{i+\frac{3}{2},j+1}$  e  $u_{i+\frac{3}{2},j-1}$  são conhecidas e,  $u_{i+\frac{1}{2},j}$  é desconhecida. E para o cálculo de  $u_{i+\frac{1}{2},j-1}$  utiliza-se as quatro velocidades mais próximas, onde as velocidades  $u_{i-\frac{1}{2},j-1}$ ,  $u_{i+\frac{3}{2},j-1}$  e  $u_{i+\frac{1}{2},j-2}$  são conhecidas e,  $u_{i+\frac{1}{2},j}$  é desconhecida, como mostra a figura 1.67.

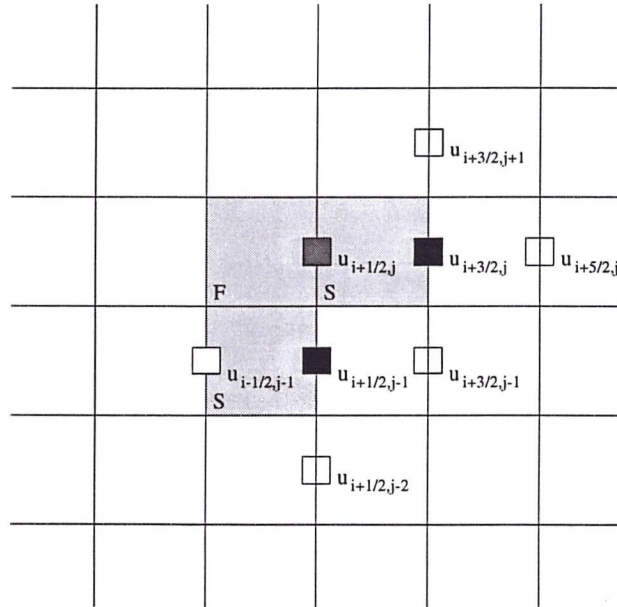


Figura 1.67: Velocidades utilizadas para o cálculo de  $u_{i+\frac{3}{2},j}$  e  $u_{i+\frac{1}{2},j-1}$

Para o cálculo de  $v_{i+1,j-\frac{1}{2}}$  utiliza-se as quatro velocidades mais próximas, onde as

velocidades  $v_{i+2,j-\frac{1}{2}}$ ,  $v_{i+1,j+\frac{1}{2}}$  e  $v_{i+1,j-\frac{3}{2}}$  são conhecidas e,  $v_{i,j-\frac{1}{2}}$  é desconhecida. E para o cálculo de  $v_{i,j-\frac{3}{2}}$  utiliza-se as quatro velocidades mais próximas, onde as velocidades  $v_{i-1,j-\frac{3}{2}}$ ,  $v_{i+1,j-\frac{3}{2}}$  e  $v_{i,j-\frac{5}{2}}$  são conhecidas e,  $v_{i,j-\frac{1}{2}}$  é desconhecida, como mostra a figura 1.68.

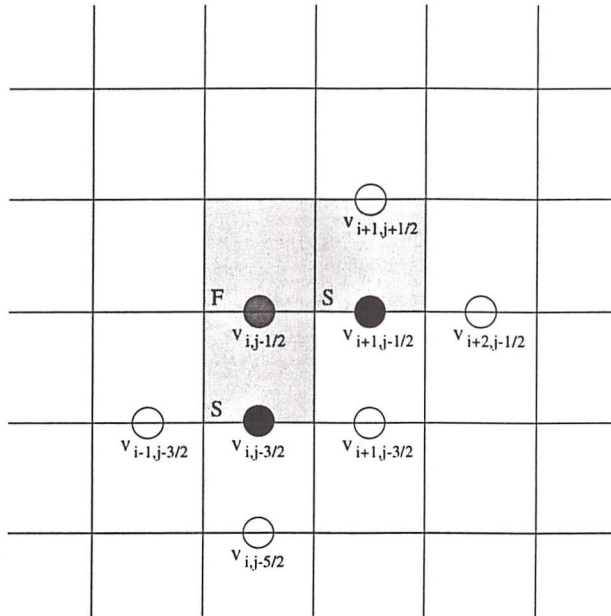


Figura 1.68: Velocidades utilizadas para o cálculo de  $v_{i+1,j-\frac{1}{2}}$  e  $v_{i,j-\frac{3}{2}}$

Então deve-se calcular as velocidades  $u$  e  $v$  desconhecidas nas faces das células F através de interpolação linear. Quando tem-se células F com duas faces em contato com células S ou C pode ocorrer de se ter duas opções para interpolar, uma na direção x e outra na direção y.

Para o cálculo da velocidade  $u_{i+\frac{1}{2},j}$  considere a figura 1.69.

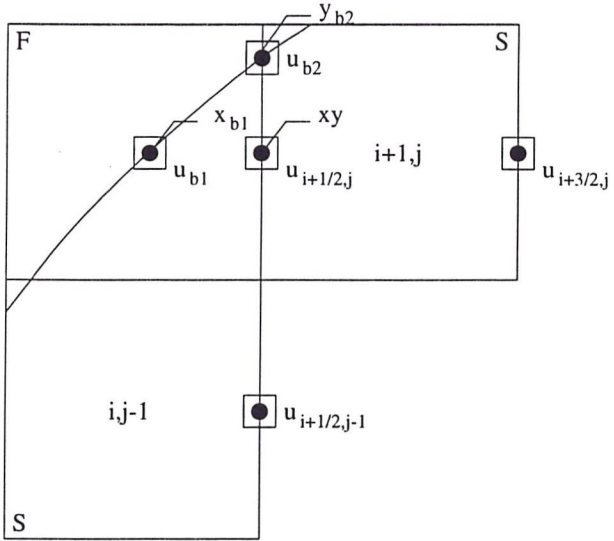


Figura 1.69: Célula F com as faces  $i + \frac{1}{2}$  e  $j - \frac{1}{2}$  em contato com células S ou C - cálculo de  $u_{i+\frac{1}{2},j}$

Tem-se duas opções para a interpolação, como pode ser observado na figura 1.69, uma na direção x, outra na direção y. Escolhe-se a direção onde  $x_{b1} - xy$  ou  $y_{b2} - xy$  for menor em módulo.

Se a menor distância for  $x_{b1} - xy$  então a interpolação é feita na direção x, como mostra a figura 1.70.

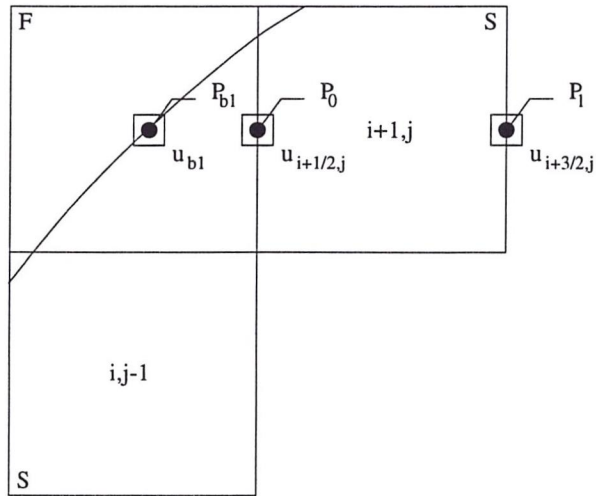


Figura 1.70: Célula F com as faces  $i + \frac{1}{2}$  e  $j - \frac{1}{2}$  em contato com células S ou C - cálculo de  $u_{i+\frac{1}{2},j}$  na direção x

Seja  $P_0 = (x_{i+\frac{1}{2}}, y_j)$ ,  $P_1 = (x_{i+\frac{3}{2}}, y_j)$  e  $P_{b1} = (x_{b1}, y_j)$ , onde  $x_{b1}$  denota a intersecção

entre a linha definida por  $P_0$  e  $P_1$  com a superfície da fronteira. Então por interpolação linear entre  $P_{b1}$  e  $P_1$  calcula-se  $u_{i+\frac{1}{2},j}$ :

$$u_{i+\frac{1}{2},j} = \frac{x_{i+\frac{1}{2}} - x_{b1}}{x_{i+\frac{3}{2}} - x_{b1}} \cdot u_{i+\frac{3}{2},j} + \frac{\delta x}{x_{b1} - x_{i+\frac{3}{2}}} \cdot u_{b1},$$

onde  $\delta x = x_{i+\frac{1}{2}} - x_{i+\frac{3}{2}}$ .

Se a menor distância for  $y_{b2} - xy$  então a interpolação é feita na direção y, como mostra a figura 1.71.

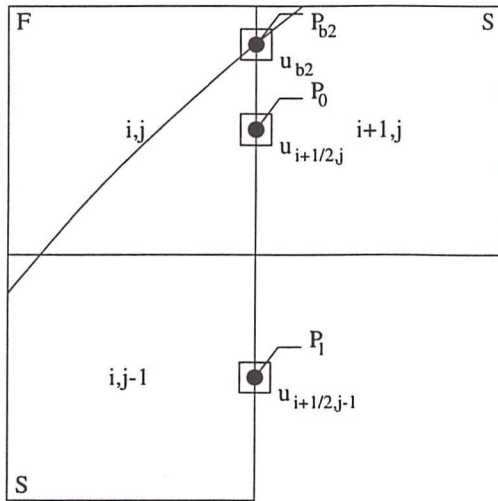


Figura 1.71: Célula F com as faces  $i + \frac{1}{2}$  e  $j - \frac{1}{2}$  em contato com células S ou C - cálculo de  $u_{i+\frac{1}{2},j}$  na direção y

Seja  $P_0 = (x_{i+\frac{1}{2}}, y_j)$ ,  $P_1 = (x_{i+\frac{1}{2}}, y_{j-1})$  e  $P_{b2} = (x_{i+\frac{1}{2}}, y_{b2})$ , onde  $y_{b2}$  denota a intersecção entre a linha definida por  $P_0$  e  $P_1$  com a superfície da fronteira. Então por interpolação linear entre  $P_{b2}$  e  $P_1$  calcula-se  $u_{i+\frac{1}{2},j}$ :

$$u_{i+\frac{1}{2},j} = \frac{y_j - y_{b2}}{y_{j-1} - y_{b2}} \cdot u_{i+\frac{1}{2},j-1} + \frac{\delta y}{y_{b2} - y_{j-1}} \cdot u_{b2},$$

onde  $\delta y = y_j - y_{j-1}$ .

Para o cálculo da velocidade  $v_{i,j-\frac{1}{2}}$  considere a figura 1.72.

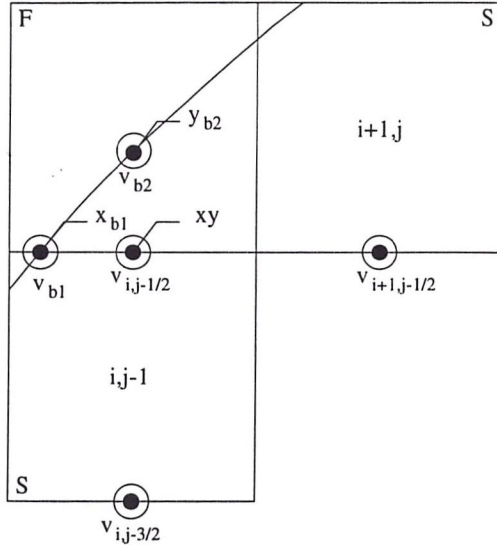


Figura 1.72: Célula F com a face  $i + \frac{1}{2}$  e  $j - \frac{1}{2}$  em contato com células S ou C - cálculo de  $v_{i,j-\frac{1}{2}}$

Tem-se duas opções para a interpolação, como pode ser observado na figura 1.72, uma na direção x, outra na direção y. Escolhe-se a direção onde  $x_{b1} - xy$  ou  $y_{b2} - xy$  for menor em módulo.

Se a menor distância for  $x_{b1} - xy$  então a interpolação é feita na direção x, como mostra a figura 1.73.

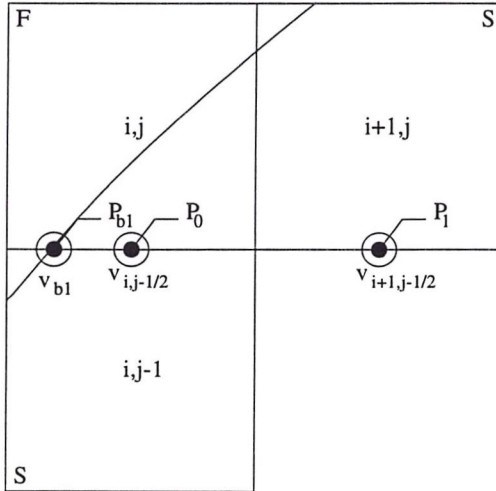


Figura 1.73: Célula F com as faces  $i + \frac{1}{2}$  e  $j - \frac{1}{2}$  em contato com células S ou C - cálculo de  $v_{i,j-\frac{1}{2}}$  na direção x

Seja  $P_0 = (x_i, y_{j-\frac{1}{2}})$ ,  $P_1 = (x_{i+1}, y_{j-\frac{1}{2}})$  e  $P_{b1} = (x_{b1}, y_{j-\frac{1}{2}})$ , onde  $x_{b1}$  denota a in-

tersecção entre a linha definida por  $P_0$  e  $P_1$  com a superfície da fronteira. Então por interpolação linear entre  $P_{b1}$  e  $P_1$  calcula-se  $v_{i,j-\frac{1}{2}}$ :

$$v_{i,j-\frac{1}{2}} = \frac{x_i - x_{b1}}{x_{i+1} - x_{b1}} \cdot v_{i+1,j-\frac{1}{2}} + \frac{\delta x}{x_{b1} - x_{i+1}} \cdot v_{b1},$$

onde  $\delta x = x_i - x_{i+1}$ .

Se a menor distância for  $y_{b2} - y$  então a interpolação é feita na direção y, como mostra a figura 1.74.

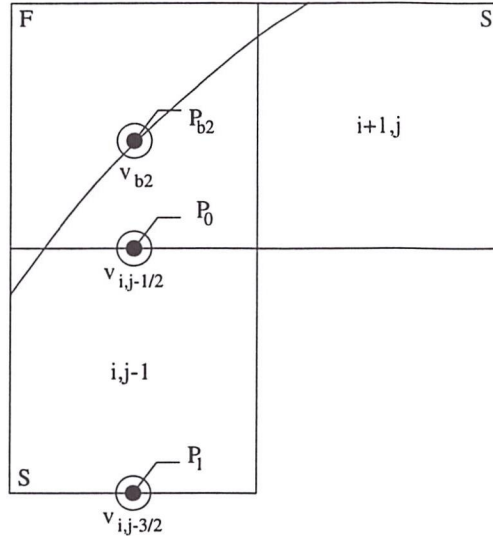


Figura 1.74: Célula F com as faces  $i + \frac{1}{2}$  e  $j - \frac{1}{2}$  em contato com células S ou C - cálculo de  $v_{i,j-\frac{1}{2}}$  na direção y

Seja  $P_0 = (x_i, y_{j-\frac{1}{2}})$ ,  $P_1 = (x_i, y_{j-\frac{3}{2}})$  e  $P_{b2} = (x_i, y_{b2})$ , onde  $y_{b2}$  denota a intersecção entre a linha definida por  $P_0$  e  $P_1$  com a superfície da fronteira. Então por interpolação linear entre  $P_{b2}$  e  $P_1$  calcula-se  $v_{i,j-\frac{1}{2}}$ :

$$v_{i,j-\frac{1}{2}} = \frac{y_{j-\frac{1}{2}} - y_{b2}}{y_{j-\frac{3}{2}} - y_{b2}} \cdot v_{i,j-\frac{3}{2}} + \frac{\delta y}{y_{b2} - y_{j-\frac{3}{2}}} \cdot v_{b2},$$

onde  $\delta y = y_{j-\frac{1}{2}} - y_{j-\frac{3}{2}}$ ;

- células F com as faces  $i - \frac{1}{2}$  e  $j - \frac{1}{2}$  em contato com células S ou C: como mostra a figura 1.75.

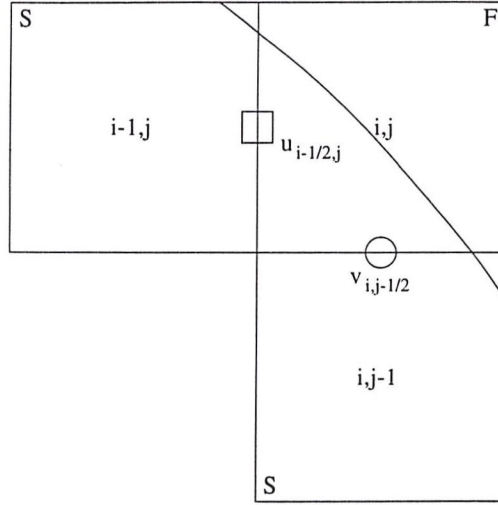


Figura 1.75: Célula F com a face  $i - \frac{1}{2}$  e  $j - \frac{1}{2}$  em contato com células S ou C

Na figura 1.75 pode-se observar que as velocidades  $u_{i-\frac{1}{2},j}$  e  $v_{i,j-\frac{1}{2}}$  são exigidas, pois para o cálculo de  $u_{i-\frac{3}{2},j}$  utiliza-se as quatro velocidades mais próximas, onde as velocidades  $u_{i-\frac{5}{2},j}$ ,  $u_{i-\frac{3}{2},j+1}$  e  $u_{i-\frac{3}{2},j-1}$  são conhecidas e,  $u_{i-\frac{1}{2},j}$  é desconhecida. E para o cálculo de  $u_{i-\frac{1}{2},j-1}$  utiliza-se as quatro velocidades mais próximas, onde as velocidades  $u_{i-\frac{3}{2},j-1}$ ,  $u_{i+\frac{1}{2},j-1}$  e  $u_{i-\frac{1}{2},j-2}$  são conhecidas e,  $u_{i-\frac{1}{2},j}$  é desconhecida, como mostra a figura 1.76.

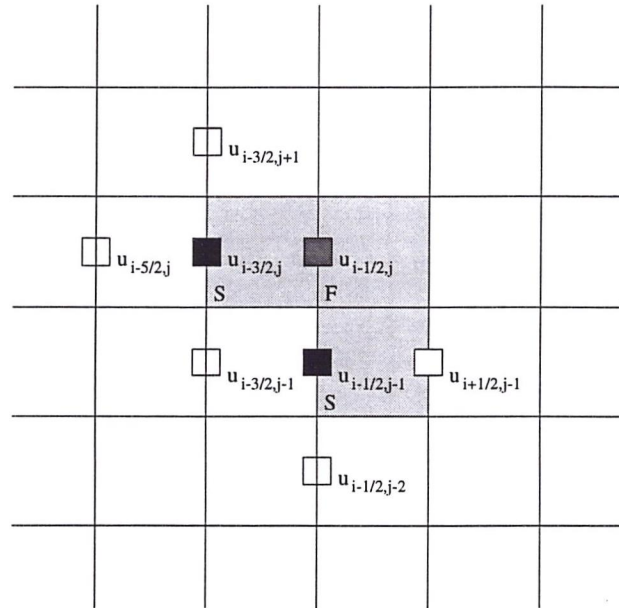


Figura 1.76: Velocidades utilizadas para o cálculo de  $u_{i-\frac{3}{2},j}$  e  $u_{i-\frac{1}{2},j-1}$

Para o cálculo de  $v_{i-1,j-\frac{1}{2}}$  utiliza-se as quatro velocidades mais próximas, onde as

velocidades  $v_{i-2,j-\frac{1}{2}}$ ,  $v_{i-1,j+\frac{1}{2}}$  e  $v_{i-1,j-\frac{3}{2}}$  são conhecidas e,  $v_{i,j-\frac{1}{2}}$  é desconhecida. E para o cálculo de  $v_{i,j-\frac{3}{2}}$  utiliza-se as quatro velocidades mais próximas, onde as velocidades  $v_{i-1,j-\frac{3}{2}}$ ,  $v_{i+1,j-\frac{3}{2}}$  e  $v_{i,j-\frac{5}{2}}$  são conhecidas e,  $v_{i,j-\frac{1}{2}}$  é desconhecida, como mostra a figura 1.77.

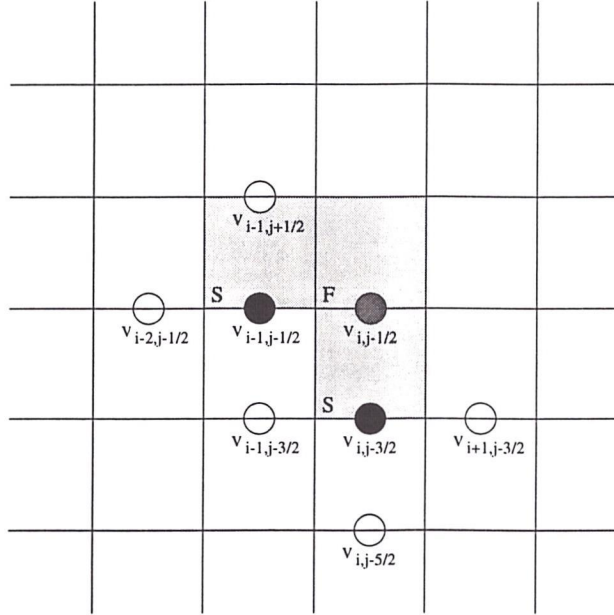


Figura 1.77: Velocidades utilizadas para o cálculo de  $v_{i-1,j-\frac{1}{2}}$  e  $v_{i,j-\frac{3}{2}}$

Então deve-se calcular as velocidades  $u$  e  $v$  desconhecidas nas faces das células F através de interpolação linear. Quando tem-se células F com duas faces em contato com células S ou C pode ocorrer de se ter duas opções para interpolar, uma na direção x e outra na direção y.

Para o cálculo da velocidade  $u_{i-\frac{1}{2},j}$  considere a figura 1.78.

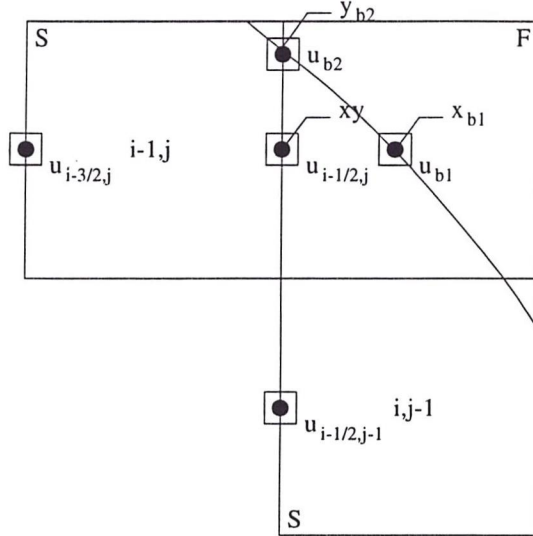


Figura 1.78: Célula F com as faces  $i - \frac{1}{2}$  e  $j - \frac{1}{2}$  em contato com células S ou C - cálculo de  $u_{i-\frac{1}{2},j}$

Tem-se duas opções para a interpolação, como pode ser observado na figura 1.78, uma na direção x, outra na direção y. Escolhe-se a direção onde  $x_{b1} - xy$  ou  $y_{b2} - xy$  for menor em módulo.

Se a menor distância for  $x_{b1} - xy$  então a interpolação é feita na direção x, como mostra a figura 1.79.

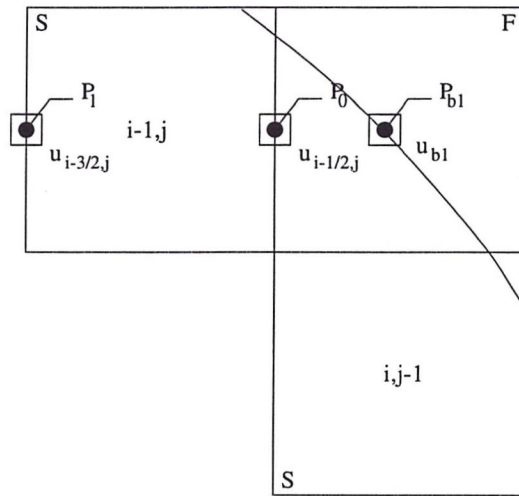


Figura 1.79: Célula F com as faces  $i - \frac{1}{2}$  e  $j - \frac{1}{2}$  em contato com células S ou C - cálculo de  $u_{i-\frac{1}{2},j}$  na direção x

Seja  $P_0 = (x_{i-\frac{1}{2}}, y_j)$ ,  $P_1 = (x_{i-\frac{3}{2}}, y_j)$  e  $P_{b1} = (x_{b1}, y_j)$ , onde  $x_{b1}$  denota a intersecção

entre a linha definida por  $P_0$  e  $P_1$  com a superfície da fronteira. Então por interpolação linear entre  $P_{b1}$  e  $P_1$  calcula-se  $u_{i-\frac{1}{2},j}$ :

$$u_{i-\frac{1}{2},j} = \frac{x_{i-\frac{1}{2}} - x_{b1}}{x_{i-\frac{3}{2}} - x_{b1}} \cdot u_{i-\frac{3}{2},j} + \frac{\delta x}{x_{b1} - x_{i-\frac{3}{2}}} \cdot u_{b1},$$

onde  $\delta x = x_{i-\frac{1}{2}} - x_{i-\frac{3}{2}}$ .

Se a menor distância for  $y_{b2} - xy$  então a interpolação é feita na direção y, como mostra a figura 1.80.

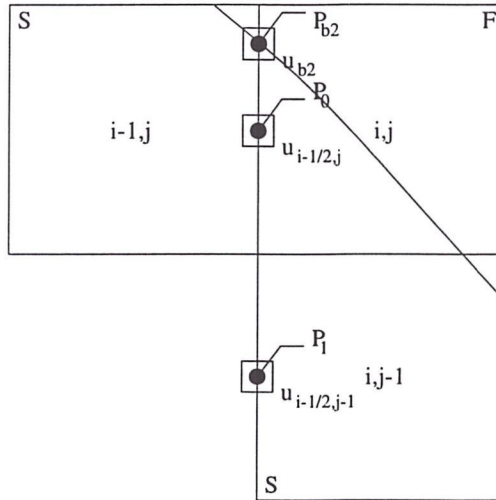


Figura 1.80: Célula F com as faces  $i - \frac{1}{2}$  e  $j - \frac{1}{2}$  em contato com células S ou C - cálculo de  $u_{i-\frac{1}{2},j}$  na direção y

Seja  $P_0 = (x_{i-\frac{1}{2}}, y_j)$ ,  $P_1 = (x_{i-\frac{1}{2}}, y_{j-1})$  e  $P_{b2} = (x_{i-\frac{1}{2}}, y_{b2})$ , onde  $y_{b2}$  denota a intersecção entre a linha definida por  $P_0$  e  $P_1$  com a superfície da fronteira. Então por interpolação linear entre  $P_{b2}$  e  $P_1$  calcula-se  $u_{i-\frac{1}{2},j}$ :

$$u_{i-\frac{1}{2},j} = \frac{y_j - y_{b2}}{y_{j-1} - y_{b2}} \cdot u_{i-\frac{1}{2},j-1} + \frac{\delta y}{y_{b2} - y_{j-1}} \cdot u_{b2},$$

onde  $\delta y = y_j - y_{j-1}$ .

Para o cálculo da velocidade  $v_{i,j-\frac{1}{2}}$  considere a figura 1.81.

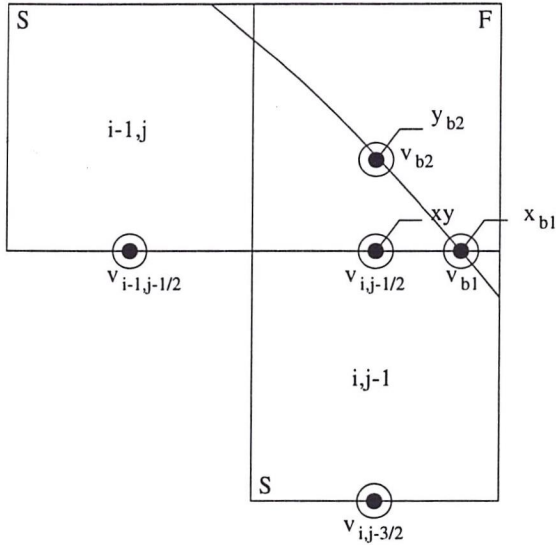


Figura 1.81: Célula F com a face  $i - \frac{1}{2}$  e  $j - \frac{1}{2}$  em contato com células S ou C - cálculo de  $v_{i,j-\frac{1}{2}}$

Tem-se duas opções para a interpolação, como pode ser observado na figura 1.81, uma na direção x, outra na direção y. Escolhe-se a direção onde  $x_{b1} - xy$  ou  $y_{b2} - xy$  for menor em módulo.

Se a menor distância for  $x_{b1} - xy$  então a interpolação é feita na direção x, como mostra a figura 1.82.

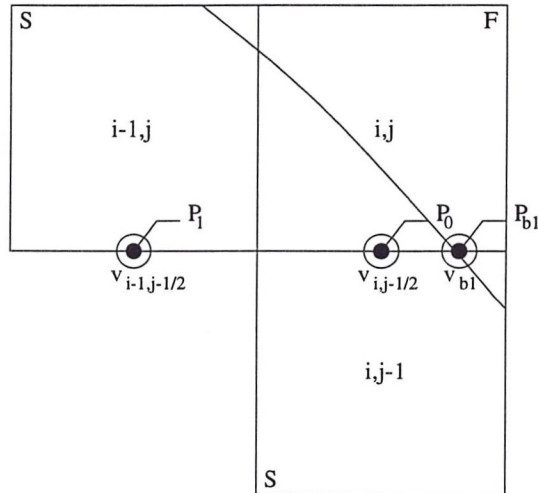


Figura 1.82: Célula F com as faces  $i - \frac{1}{2}$  e  $j - \frac{1}{2}$  em contato com células S ou C - cálculo de  $v_{i,j-\frac{1}{2}}$  na direção x

Seja  $P_0 = (x_i, y_{j-\frac{1}{2}})$ ,  $P_1 = (x_{i-1}, y_{j-\frac{1}{2}})$  e  $P_{b1} = (x_{b1}, y_{j-\frac{1}{2}})$ , onde  $x_{b1}$  denota a in-

tersecção entre a linha definida por  $P_0$  e  $P_1$  com a superfície da fronteira. Então por interpolação linear entre  $P_{b1}$  e  $P_1$  calcula-se  $v_{i,j-\frac{1}{2}}$ :

$$v_{i,j-\frac{1}{2}} = \frac{x_i - x_{b1}}{x_{i-1} - x_{b1}} \cdot v_{i-1,j-\frac{1}{2}} + \frac{\delta x}{x_{b1} - x_{i-1}} \cdot v_{b1},$$

onde  $\delta x = x_i - x_{i-1}$ .

Se a menor distância for  $y_{b2} - xy$  então a interpolação é feita na direção y, como mostra a figura 1.83.

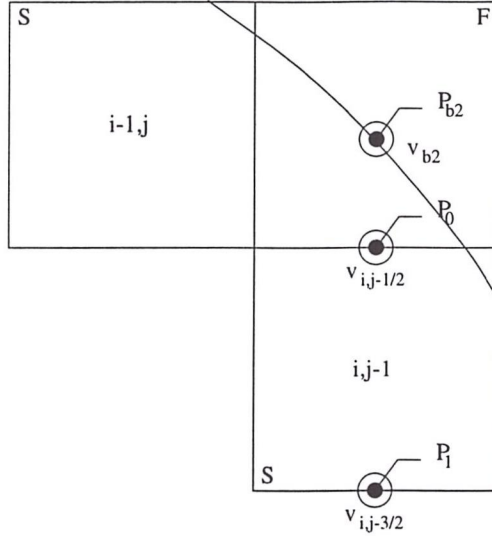


Figura 1.83: Célula F com as faces  $i - \frac{1}{2}$  e  $j - \frac{1}{2}$  em contato com células S ou C - cálculo de  $v_{i,j-\frac{1}{2}}$  na direção y

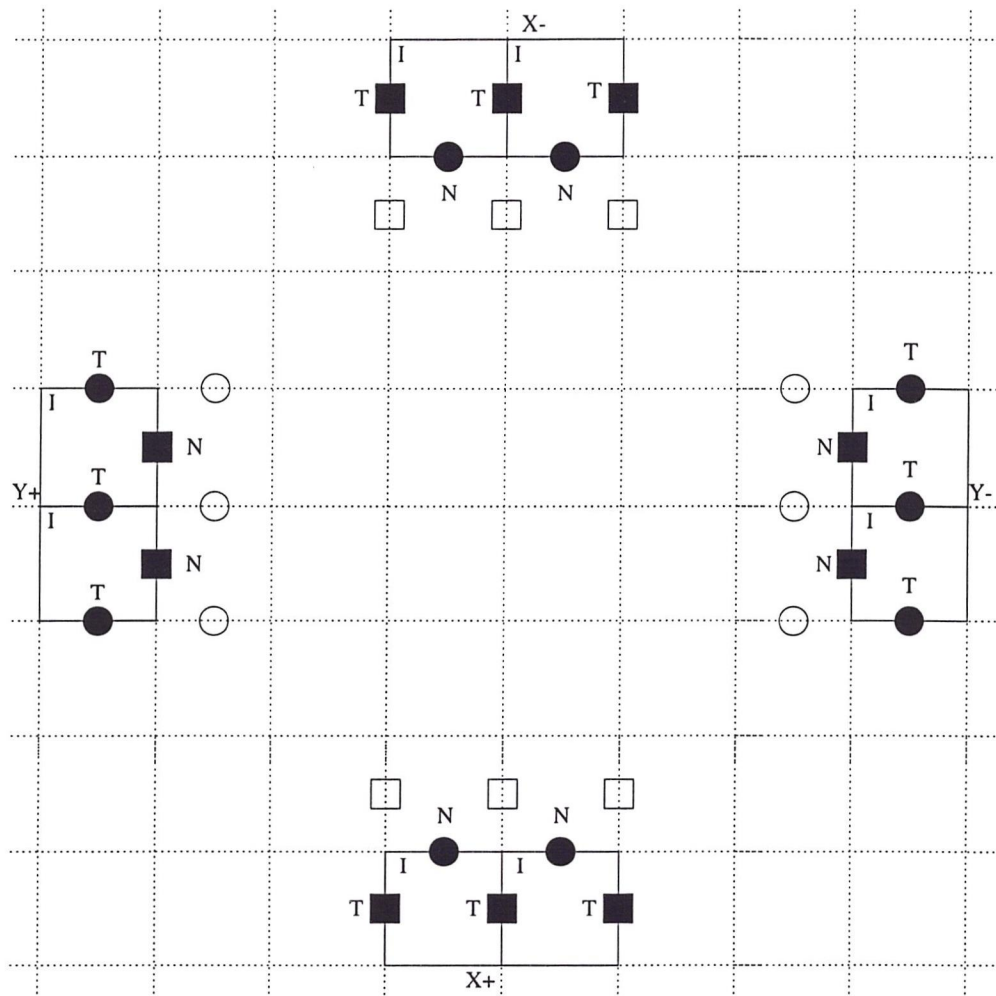
Seja  $P_0 = (x_i, y_{j-\frac{1}{2}})$ ,  $P_1 = (x_i, y_{j-\frac{3}{2}})$  e  $P_{b2} = (x_i, y_{b2})$ , onde  $y_{b2}$  denota a intersecção entre a linha definida por  $P_0$  e  $P_1$  com a superfície da fronteira. Então por interpolação linear entre  $P_{b2}$  e  $P_1$  calcula-se  $v_{i,j-\frac{1}{2}}$ :

$$v_{i,j-\frac{1}{2}} = \frac{y_{j-\frac{1}{2}} - y_{b2}}{y_{j-\frac{3}{2}} - y_{b2}} \cdot v_{i,j-\frac{3}{2}} + \frac{\delta y}{y_{b2} - y_{j-\frac{3}{2}}} \cdot v_{b2},$$

onde  $\delta y = y_{j-\frac{1}{2}} - y_{j-\frac{3}{2}}$ .

## 1.5 Cálculo das Velocidades Tangenciais $u$ e $v$ nos Injetores

Para o cálculo das velocidades tangenciais  $u$  e  $v$  no injetor. Observe a figura 1.84.



X- plano x, orientação negativa  
 X+ plano x, orientação positiva  
 Y- plano y, orientação negativa  
 Y+ plano y, orientação positiva  
 N normal  
 T tangencial  
 I célula injetora

Figura 1.84: Plano x e y, e orientação dos possíveis injetores

Então, tem-se dois planos x e y, e cada plano tem duas orientações positiva e negativa:

- plano x (de acordo com a figura 1.84 o plano x fica na região superior e inferior do domínio):

- orientação positiva (de acordo com a figura 1.84 o plano x com orientação positiva fica na região inferior do domínio):

$$u_{i+\frac{1}{2},j} = -u_{i+\frac{1}{2},j+1}$$

$$u_{i-\frac{1}{2},j} = -u_{i-\frac{1}{2},j+1};$$

- orientação negativa (de acordo com a figura 1.84 o plano x com orientação negativa fica na região superior do domínio):

$$u_{i+\frac{1}{2},j} = -u_{i+\frac{1}{2},j-1}$$

$$u_{i-\frac{1}{2},j} = -u_{i-\frac{1}{2},j-1};$$

- plano y (de acordo com a figura 1.84 o plano y fica na região a esquerda e direita do domínio):

- orientação positiva (de acordo com a figura 1.84 o plano y com orientação positiva fica na região a esquerda do domínio):

$$v_{i,j+\frac{1}{2}} = -v_{i+1,j+\frac{1}{2}}$$

$$v_{i,j-\frac{1}{2}} = -v_{i+1,j-\frac{1}{2}};$$

- orientação negativa (de acordo com a figura 1.84 o plano y com orientação negativa fica na região a direita do domínio):

$$v_{i,j+\frac{1}{2}} = -v_{i-1,j+\frac{1}{2}}$$

$$v_{i,j-\frac{1}{2}} = -v_{i-1,j-\frac{1}{2}}.$$

## 1.6 Cálculo da Pressão $p$ nas Condições de Contorno na Superfície Livre

Para o cálculo da pressão  $p$  nas condições de contorno na superfície livre o método utilizado é o seguinte: percorre-se todas as células S e estuda-se as células vizinhas, então calcula-se  $p$  pela equação (1.3)

$$-p + \frac{2\nu(q)}{Re} \left( \frac{\partial u}{\partial x} n_x^2 + \left( \frac{\partial u}{\partial y} + \frac{\partial v}{\partial x} \right) n_x n_y + \frac{\partial v}{\partial y} n_y^2 \right) = 0. \quad (1.3)$$

Para o caso bidimensional, deve-se considerar quinze casos que se agrupam em três conjuntos:

- células S tendo apenas uma face em contato com células V:

- células S tendo a face  $i + \frac{1}{2}$  em contato com células V: como mostra a figura 1.85.

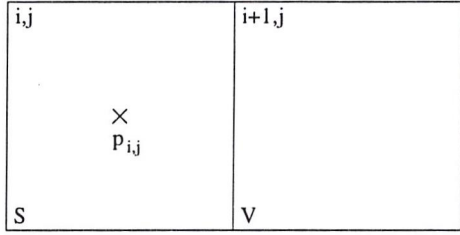


Figura 1.85: Célula S tendo a face  $i + \frac{1}{2}$  em contato com a célula V

Para este caso assume-se que o vetor normal é  $n = (1, 0)$  e 1.3 fica:

$$p = \frac{2\nu(q)}{Re} \left( \frac{\delta u}{\delta x} \right),$$

que discretizada torna-se:

$$p_{i,j} = \frac{2\nu(q_{i,j})}{Re} \left( \frac{u_{i+\frac{1}{2},j} - u_{i-\frac{1}{2},j}}{\delta x} \right);$$

- células S tendo a face  $i - \frac{1}{2}$  em contato com células V: como mostra a figura 1.86.

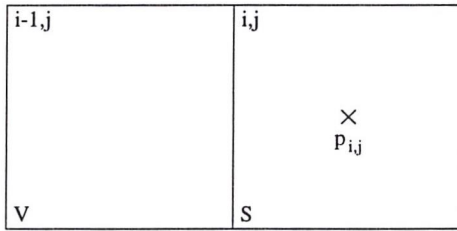


Figura 1.86: Célula S tendo a face  $i - \frac{1}{2}$  em contato com a célula V

Para este caso assume-se que o vetor normal é  $n = (-1, 0)$  e 1.3 fica:

$$p = \frac{2\nu(q)}{Re} \left( \frac{\delta u}{\delta x} \right),$$

que discretizada torna-se:

$$p_{i,j} = \frac{2\nu(q_{i,j})}{Re} \left( \frac{u_{i+\frac{1}{2},j} - u_{i-\frac{1}{2},j}}{\delta x} \right);$$

- células S tendo a face  $j + \frac{1}{2}$  em contato com células V: como mostra a figura 1.87.

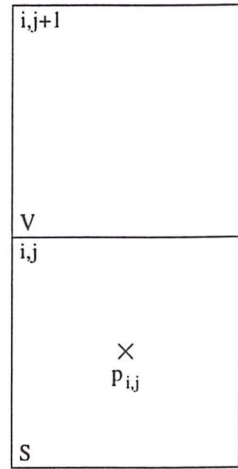


Figura 1.87: Célula S tendo a face  $j + \frac{1}{2}$  em contato com a célula V

Para este caso assume-se que o vetor normal é  $n = (0, 1)$  e 1.3 fica:

$$p = \frac{2\nu(q)}{Re} \left( \frac{\delta v}{\delta y} \right),$$

que discretizada torna-se:

$$p_{i,j} = \frac{2\nu(q_{i,j})}{Re} \left( \frac{v_{i,j+\frac{1}{2}} - v_{i,j-\frac{1}{2}}}{\delta y} \right);$$

- células S tendo a face  $j - \frac{1}{2}$  em contato com células V: como mostra a figura 1.88.

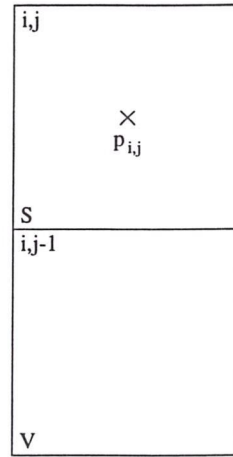


Figura 1.88: Célula S tendo a face  $j - \frac{1}{2}$  em contato com a célula V

Para este caso assume-se que o vetor normal é  $n = (0, -1)$  e 1.3 fica:

$$p = \frac{2\nu(q)}{Re} \left( \frac{\delta v}{\delta y} \right),$$

que discretizada torna-se:

$$p_{i,j} = \frac{2\nu(q_{i,j})}{Re} \left( \frac{v_{i,j+\frac{1}{2}} - v_{i,j-\frac{1}{2}}}{\delta y} \right);$$

- células S com duas faces em contato com células V:

- células S tendo as faces  $i + \frac{1}{2}$  e  $j + \frac{1}{2}$  em contato com células V: como mostra a figura 1.89.

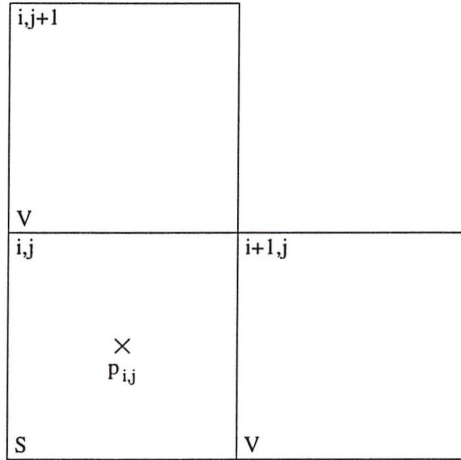


Figura 1.89: Célula S tendo as faces  $i + \frac{1}{2}$  e  $j + \frac{1}{2}$  em contato com células V

Para este caso assume-se que o vetor normal é  $n = (\frac{\sqrt{2}}{2}, \frac{\sqrt{2}}{2})$  e 1.3 fica:

$$p = \frac{\nu(q)}{Re} \left( \frac{\partial u}{\partial y} + \frac{\partial v}{\partial x} \right),$$

que discretizada fica:

$$p_{i,j} = \frac{\nu(q_{i,j})}{2Re} \left[ \left( \frac{u_{i+\frac{1}{2},j} + u_{i-\frac{1}{2},j} - u_{i+\frac{1}{2},j-1} - u_{i-\frac{1}{2},j-1}}{\delta y} \right) + \left( \frac{v_{i,j+\frac{1}{2}} + v_{i,j-\frac{1}{2}} - v_{i-1,j+\frac{1}{2}} - v_{i-1,j-\frac{1}{2}}}{\delta x} \right) \right];$$

- células S tendo as faces  $i - \frac{1}{2}$  e  $j + \frac{1}{2}$  em contato com células V: como mostra a figura 1.90.

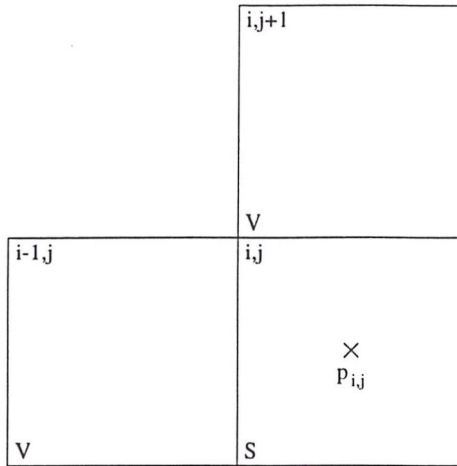


Figura 1.90: Célula S tendo as faces  $i - \frac{1}{2}$  e  $j + \frac{1}{2}$  em contato com células V

Para este caso assume-se que o vetor normal é  $n = \left( \frac{-\sqrt{2}}{2}, \frac{\sqrt{2}}{2} \right)$  e 1.3 fica:

$$p = \frac{-\nu(q)}{Re} \left( \frac{\partial u}{\partial y} + \frac{\partial v}{\partial x} \right),$$

que discretizada fica:

$$p_{i,j} = \frac{-\nu(q_{i,j})}{2Re} \left[ \left( \frac{u_{i+\frac{1}{2},j} + u_{i-\frac{1}{2},j} - u_{i+\frac{1}{2},j-1} - u_{i-\frac{1}{2},j-1}}{\delta y} \right) + \left( \frac{v_{i,j+\frac{1}{2}} + v_{i,j-\frac{1}{2}} - v_{i-1,j+\frac{1}{2}} - v_{i-1,j-\frac{1}{2}}}{\delta x} \right) \right];$$

- células S tendo as faces  $i + \frac{1}{2}$  e  $j - \frac{1}{2}$  em contato com células V: como mostra a figura 1.91.

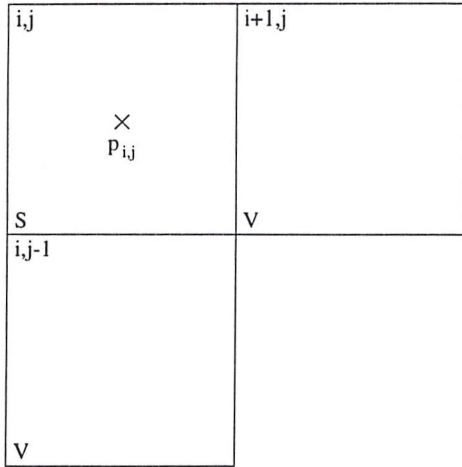


Figura 1.91: Célula S tendo as faces  $i + \frac{1}{2}$  e  $j - \frac{1}{2}$  em contato com células V

Para este caso assume-se que o vetor normal é  $n = (\frac{\sqrt{2}}{2}, \frac{-\sqrt{2}}{2})$  e 1.3 fica:

$$p = \frac{-\nu(q)}{Re} \left( \frac{\partial u}{\partial y} + \frac{\partial v}{\partial x} \right),$$

que discretizada fica:

$$p_{i,j} = \frac{-\nu(q_{i,j})}{2Re} \left[ \left( \frac{u_{i+\frac{1}{2},j} + u_{i-\frac{1}{2},j} - u_{i+\frac{1}{2},j-1} - u_{i-\frac{1}{2},j-1}}{\delta y} \right) + \left( \frac{v_{i,j+\frac{1}{2}} + v_{i,j-\frac{1}{2}} - v_{i-1,j+\frac{1}{2}} - v_{i-1,j-\frac{1}{2}}}{\delta x} \right) \right];$$

- células S tendo as faces  $i - \frac{1}{2}$  e  $j - \frac{1}{2}$  em contato com células V: como mostra a figura 1.92.

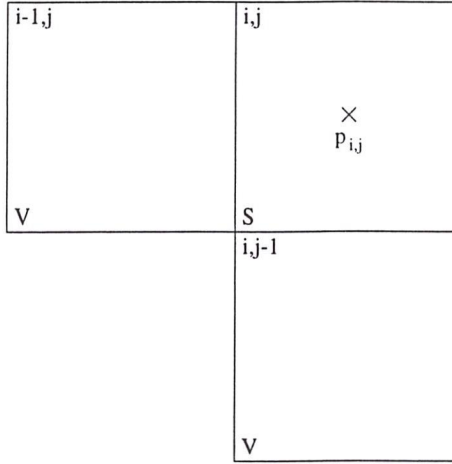


Figura 1.92: Célula S tendo as faces  $i - \frac{1}{2}$  e  $j - \frac{1}{2}$  em contato com células V

Para este caso assume-se que o vetor normal é  $n = \left( \frac{-\sqrt{2}}{2}, \frac{-\sqrt{2}}{2} \right)$  e 1.3 fica:

$$p = \frac{\nu(q)}{Re} \left( \frac{\partial u}{\partial y} + \frac{\partial v}{\partial x} \right),$$

que discretizada fica:

$$p_{i,j} = \frac{\nu(q_{i,j})}{2Re} \left[ \left( \frac{u_{i+\frac{1}{2},j} + u_{i-\frac{1}{2},j} - u_{i+\frac{1}{2},j-1} - u_{i-\frac{1}{2},j-1}}{\delta y} \right) + \left( \frac{v_{i,j+\frac{1}{2}} + v_{i,j-\frac{1}{2}} - v_{i-1,j+\frac{1}{2}} - v_{i-1,j-\frac{1}{2}}}{\delta x} \right) \right];$$

- células S com dois lados opostos, três ou quatro faces em contato com células V: para estes casos a pressão é zero, pois não se consegue determinar o vetor normal.

Existem sete casos:

- células S tendo as faces  $i + \frac{1}{2}$  e  $i - \frac{1}{2}$  em contato com células V: como mostra a figura 1.93;

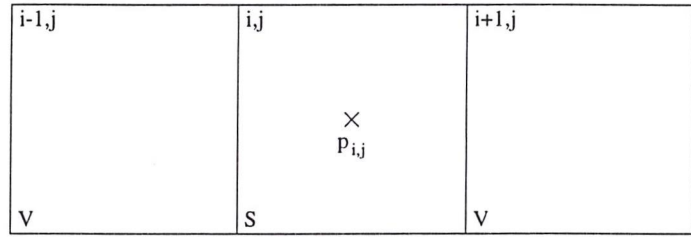


Figura 1.93: Célula S tendo as faces  $i + \frac{1}{2}$  e  $i - \frac{1}{2}$  em contato com células V

- células S tendo as faces  $j + \frac{1}{2}$  e  $j - \frac{1}{2}$  em contato com células V: como mostra a figura 1.94;

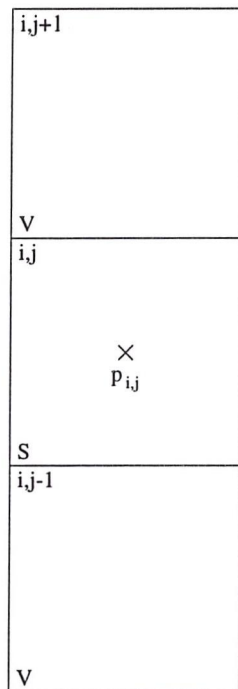


Figura 1.94: Célula S tendo as faces  $j + \frac{1}{2}$  e  $j - \frac{1}{2}$  em contato com células V

- células S tendo as faces  $i + \frac{1}{2}$ ,  $i - \frac{1}{2}$  e  $j + \frac{1}{2}$  em contato com células V: como mostra a figura 1.95;

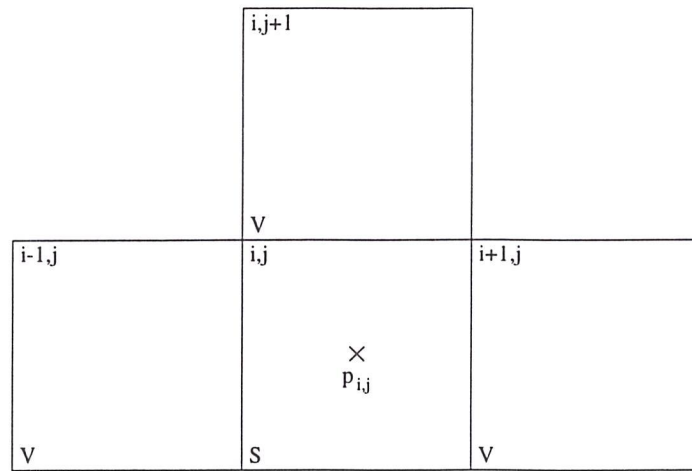


Figura 1.95: Célula S tendo as faces  $i + \frac{1}{2}$ ,  $i - \frac{1}{2}$  e  $j + \frac{1}{2}$  em contato com células V

- células S tendo as faces  $i + \frac{1}{2}$ ,  $j + \frac{1}{2}$  e  $j - \frac{1}{2}$  em contato com células V: como mostra a figura 1.96;

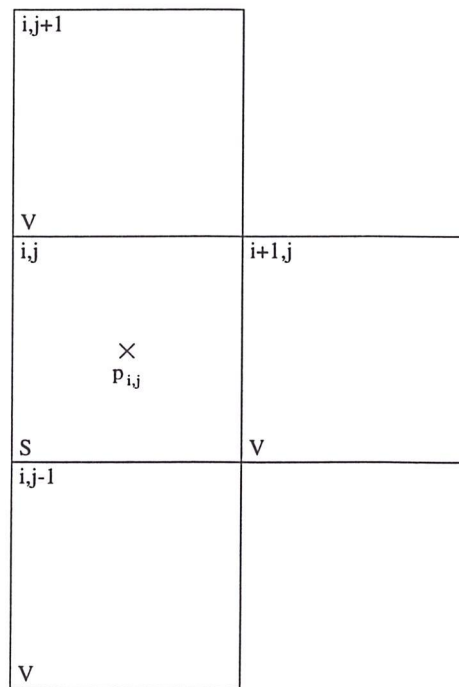


Figura 1.96: Célula S tendo as faces  $i + \frac{1}{2}$ ,  $j + \frac{1}{2}$  e  $j - \frac{1}{2}$  em contato com células V

- células S tendo as faces  $i + \frac{1}{2}$ ,  $i - \frac{1}{2}$  e  $j - \frac{1}{2}$  em contato com células V: como mostra a figura 1.97;

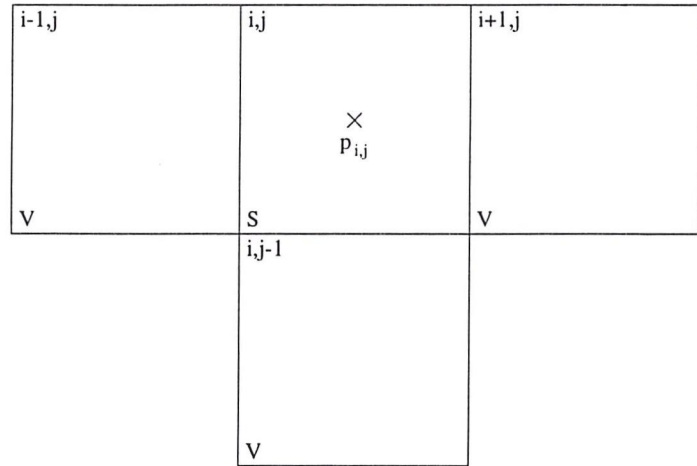


Figura 1.97: Célula S tendo as faces  $i + \frac{1}{2}$ ,  $i - \frac{1}{2}$  e  $j - \frac{1}{2}$  em contato com células V

- células S tendo as faces  $i - \frac{1}{2}$ ,  $j + \frac{1}{2}$  e  $j - \frac{1}{2}$  em contato com células V: como mostra a figura 1.98;

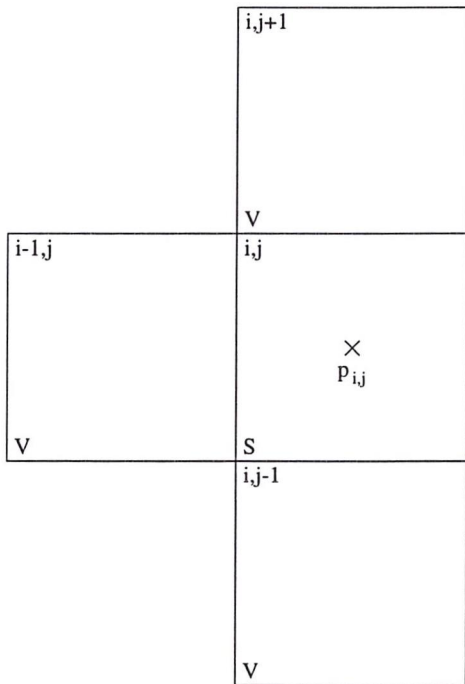


Figura 1.98: Célula S tendo as faces  $i - \frac{1}{2}$ ,  $j + \frac{1}{2}$  e  $j - \frac{1}{2}$  em contato com células V

- células S tendo as faces  $i + \frac{1}{2}$ ,  $i - \frac{1}{2}$ ,  $j + \frac{1}{2}$  e  $j - \frac{1}{2}$  em contato com células V: como mostra a figura 1.99;

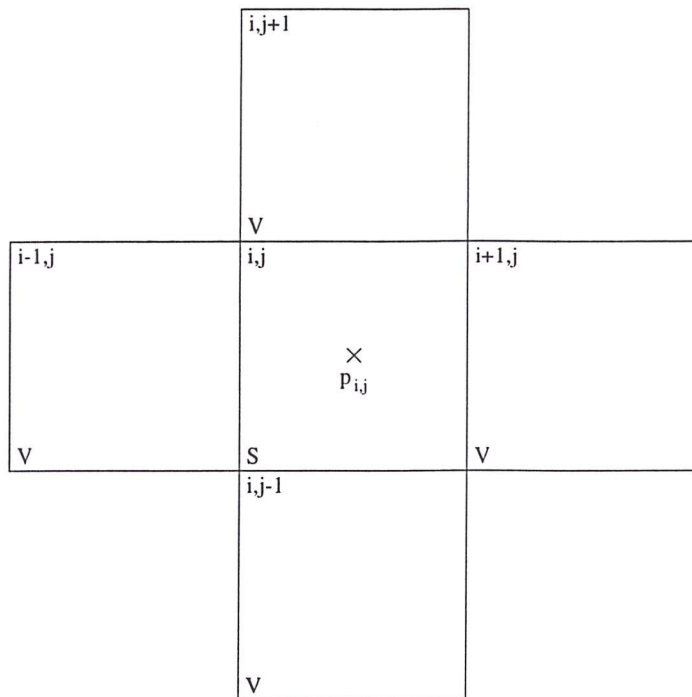


Figura 1.99: Célula  $S$  tendo as faces  $i + \frac{1}{2}$ ,  $i - \frac{1}{2}$ ,  $j + \frac{1}{2}$  e  $j - \frac{1}{2}$  em contato com células  $V$

## 1.7 Cálculo das Velocidades Intermediárias

Cálcula-se as velocidades intermediárias  $\tilde{u}$  e  $\tilde{v}$  pelas equações do momento discretizadas 1.4 e 1.5 em [1]:

$$\begin{aligned}
\frac{\tilde{u}_{i+\frac{1}{2},j}^{n+1} - \tilde{u}_{i+\frac{1}{2},j}^n}{\delta t} = & - \left( \frac{\tilde{p}_{i+1,j} - \tilde{p}_{i,j}}{\delta x} \right) - \left( \frac{u_{i+\frac{3}{2},j} \cdot u_{i+\frac{1}{2},j} - u_{i+\frac{1}{2},j} \cdot u_{i-\frac{1}{2},j}}{\delta x} \right) \\
& - \frac{1}{4} \left[ \frac{u_{i+\frac{1}{2},j} (v_{i,j+\frac{1}{2}} + v_{i+1,j+\frac{1}{2}} - v_{i,j-\frac{1}{2}} - v_{i+1,j-\frac{1}{2}})}{\delta y} \right. \\
& \left. + \frac{u_{i+\frac{1}{2},j+1} (v_{i,j+\frac{1}{2}} + v_{i+1,j+\frac{1}{2}}) - u_{i+\frac{1}{2},j-1} (v_{i,j-\frac{1}{2}} + v_{i+1,j-\frac{1}{2}})}{\delta y} \right] \\
& + \frac{1}{Re} \nu (q_{i+\frac{1}{2},j}) \left[ \left( \frac{u_{i+\frac{1}{2},j+1} - 2u_{i+\frac{1}{2},j} + u_{i+\frac{1}{2},j-1}}{(\delta y)^2} \right) - \left( \frac{v_{i+1,j+\frac{1}{2}} - v_{i+1,j-\frac{1}{2}} + v_{i,j-\frac{1}{2}} - v_{i,j+\frac{1}{2}}}{\delta x \delta y} \right) \right] \\
& + \frac{1}{Re} \left[ 2 \left( \frac{u_{i+\frac{3}{2},j} - u_{i-\frac{1}{2},j}}{2 \delta x} \right) \left[ \frac{\partial \nu}{\partial x} \right]_{i+\frac{1}{2},j} \right. \\
& \left. + \left[ \left( \frac{u_{i+\frac{1}{2},j+1} - u_{i+\frac{1}{2},j-1}}{2 \delta y} \right) + \left( \frac{v_{i+1,j+\frac{1}{2}} + v_{i+1,j-\frac{1}{2}} - v_{i,j+\frac{1}{2}} - v_{i,j-\frac{1}{2}}}{2 \delta x} \right) \right] \left[ \frac{\partial \nu}{\partial y} \right]_{i+\frac{1}{2},j} \right] \\
& + \frac{1}{Fr^2} g_x
\end{aligned} \tag{1.4}$$

e

$$\begin{aligned}
\frac{\tilde{v}_{i,j+\frac{1}{2}}^{n+1} - \tilde{v}_{i,j+\frac{1}{2}}^n}{\delta t} &= - \left( \frac{\tilde{p}_{i,j+1} - \tilde{p}_{i,j}}{\delta y} \right) - \left( \frac{v_{i,j+\frac{3}{2}} \cdot v_{i,j+\frac{1}{2}} - v_{i,j+\frac{1}{2}} \cdot v_{i,j-\frac{1}{2}}}{\delta y} \right) \\
&\quad - \frac{1}{4} \left[ \frac{v_{i,j+\frac{1}{2}} (u_{i+\frac{1}{2},j} + u_{i+\frac{1}{2},j+1} - u_{i-\frac{1}{2},j} - u_{i-\frac{1}{2},j+1})}{\delta x} \right. \\
&\quad \left. + \frac{v_{i+1,j+\frac{1}{2}} (u_{i+\frac{1}{2},j} + u_{i+\frac{1}{2},j+1}) - v_{i-1,j+\frac{1}{2}} (u_{i-\frac{1}{2},j} + u_{i-\frac{1}{2},j+1})}{\delta x} \right] \\
&\quad - \frac{1}{Re} \nu (q_{i,j+\frac{1}{2}}) \left[ \left( \frac{u_{i+\frac{1}{2},j+1} - u_{i-\frac{1}{2},j+1} + u_{i-\frac{1}{2},j} - u_{i+\frac{1}{2},j}}{\delta x \delta y} \right) + \left( \frac{2v_{i,j+\frac{1}{2}} - v_{i+1,j+\frac{1}{2}} - v_{i-1,j+\frac{1}{2}}}{(\delta x)^2} \right) \right] \\
&\quad + \frac{1}{Re} \left[ 2 \left( \frac{v_{i,j+\frac{3}{2}} - v_{i,j-\frac{1}{2}}}{2 \delta y} \right) \left[ \frac{\partial \nu}{\partial y} \right]_{i,j+\frac{1}{2}} \right. \\
&\quad \left. + \left[ \left( \frac{v_{i+1,j+\frac{1}{2}} - v_{i-1,j+\frac{1}{2}}}{2 \delta x} \right) + \left( \frac{u_{i+\frac{1}{2},j+1} + u_{i-\frac{1}{2},j+1} - u_{i+\frac{1}{2},j} - u_{i-\frac{1}{2},j}}{2 \delta y} \right) \right] \left[ \frac{\partial \nu}{\partial x} \right]_{i,j+\frac{1}{2}} \right] \\
&\quad + \frac{1}{Fr^2} g_y, \tag{1.5}
\end{aligned}$$

O método utilizado é o seguinte. Percorre-se todas as células C e estuda-se as células seguinte e superior, depois percorre-se todas as células S e faz o mesmo estudo. Então:

- se a célula  $i, j$  for C:

- se a célula  $i + 1, j$  for C: como mostra a figura 1.100.

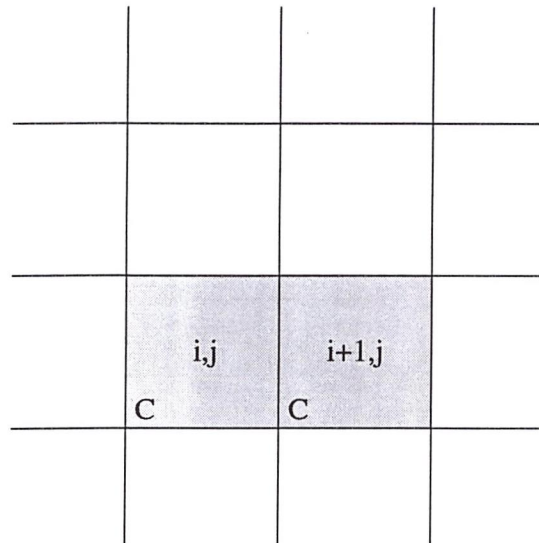


Figura 1.100: Células  $i, j$  e  $i + 1, j$  são C

Então por 1.4 calcula-se  $\tilde{u}_{i+\frac{1}{2},j}$ ,  $\tilde{p}$  nas células C é zero;

- se a célula  $i + 1, j$  for S: como mostra a figura 1.101.

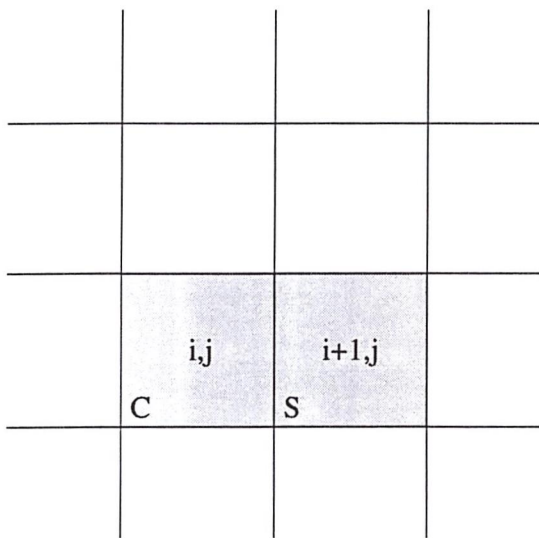


Figura 1.101: Célula  $i, j$  é C e  $i + 1, j$  é S

Então por 1.4 calcula-se  $\tilde{u}_{i+\frac{1}{2},j}$ , nota-se que há pressão somente na célula  $i + 1, j$ , pois é S;

- se a célula  $i, j + 1$  for C: como mostra a figura 1.102.

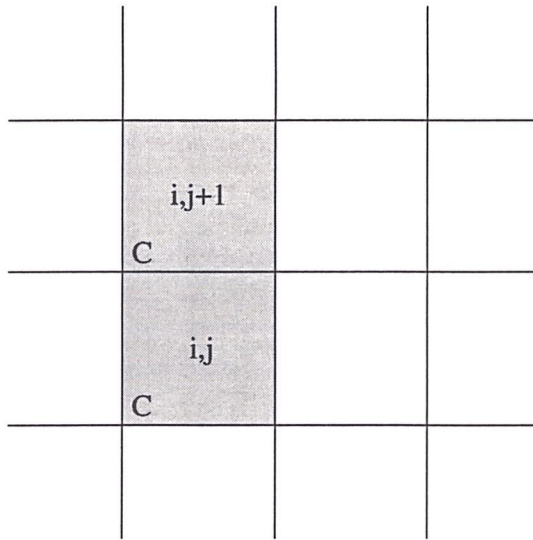


Figura 1.102: Células  $i, j$  e  $i, j + 1$  são C

Então por 1.5 calcula-se  $\tilde{v}_{i,j+\frac{1}{2}}$ ,  $\tilde{p}$  nas células C é zero;

- se a célula  $i, j + 1$  for S: como mostra a figura 1.103.

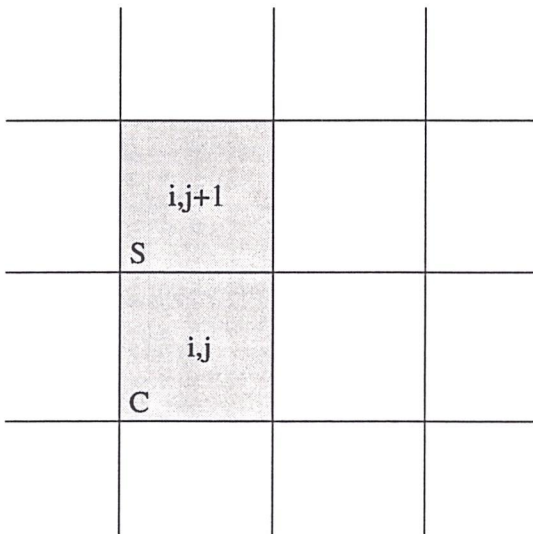


Figura 1.103: Célula  $i, j$  é C e  $i, j + 1$  é S

Então por 1.5 calcula-se  $\tilde{v}_{i,j+\frac{1}{2}}$ , nota-se que há pressão somente na célula  $i, j + 1$ , pois é S;

- se a célula  $i, j$  for S:
  - se a célula  $i + 1, j$  for C: como mostra a figura 1.104.

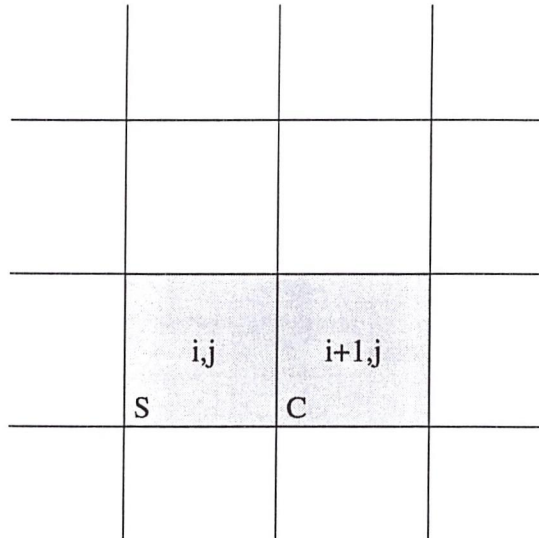


Figura 1.104: Célula  $i, j$  é S e  $i + 1, j$  é C

Então por 1.4 calcula-se  $\tilde{u}_{i+\frac{1}{2},j}$ , nota-se que há pressão somente na célula  $i, j$ , pois é S;

- se a célula  $i + 1, j$  for S: como mostra a figura 1.105.

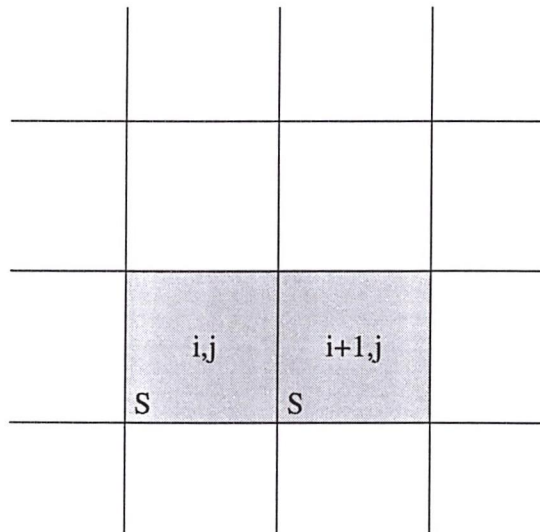


Figura 1.105: Células  $i, j$  e  $i + 1, j$  são S

Então por 1.4 calcula-se  $\tilde{u}_{i+\frac{1}{2},j}$ , nota-se que há pressão nas células  $i, j$  e  $i + 1, j$ , pois são S;

- se a célula  $i, j + 1$  for C: como mostra a figura 1.106.

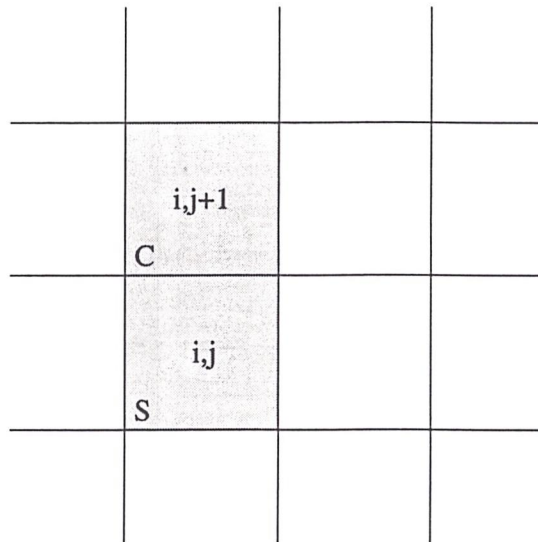


Figura 1.106: Célula  $i, j$  é S e  $i, j + 1$  é C

Então por 1.5 calcula-se  $\tilde{v}_{i,j+\frac{1}{2}}$ , nota-se que há pressão somente na célula  $i, j$ , pois é S;

- se a célula  $i, j + 1$  for S: como mostra a figura 1.107.

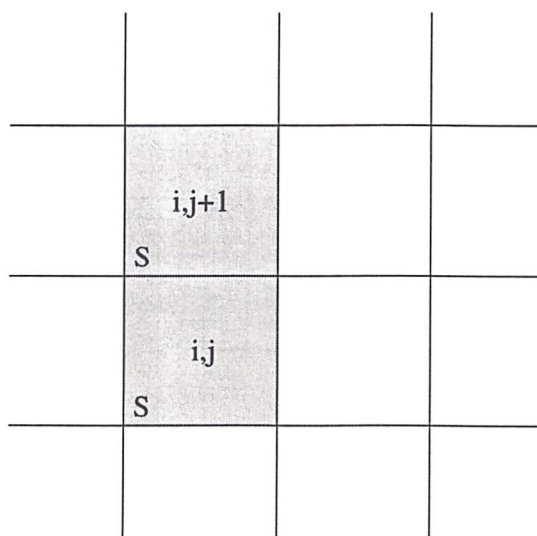


Figura 1.107: Células  $i, j$  e  $i, j + 1$  são S

Então por 1.5 calcula-se  $\tilde{v}_{i,j+\frac{1}{2}}$ , nota-se que há pressão nas células  $i, j$  e  $i + 1, j$ , pois são S.

## 1.8 Resolução da Equação de Poisson

Resolve-se a equação de Poisson 1.6 através do método dos gradientes conjugados,

$$\frac{\psi_{i+1,j} - 2\psi_{i,j} + \psi_{i-1,j}}{\Delta x^2} + \frac{\psi_{i,j+1} - 2\psi_{i,j} + \psi_{i,j-1}}{\Delta y^2} = \tilde{D}_{i,j}. \quad (1.6)$$

Mas primeiramente é preciso montar a matriz. Como exemplo considerando que  $\Delta x = \Delta y = h$ , então a equação de Poisson 1.6 fica:

$$4\psi_{i,j} - \psi_{i+1,j} - \psi_{i-1,j} - \psi_{i,j+1} - \psi_{i,j-1} = -h^2 \tilde{D}_{i,j}. \quad (1.7)$$

Utilizando as condições de fronteira adequadas, onde:

$$\psi = 0 \quad \text{na superfície livre} \quad (\text{condição homogênea de Dirichlet}) \quad (1.8)$$

e

$$\frac{\partial \psi}{\partial \mathbf{n}} = 0 \quad \text{fronteira rígida} \quad (\text{condição homogênea de Newmann}), \quad (1.9)$$

onde  $\mathbf{n}$  é a direção normal ao contorno rígido.

Quando se impõe as condições de contorno de não escorregamento e de escorregamento livre em 1.9, a velocidade normal ao contorno deve ser nula. Para a equação  $\nabla^2 \psi(\mathbf{x}, t) = \nabla \cdot \tilde{\mathbf{u}}(\mathbf{x}, t)$  tem-se que  $\tilde{\mathbf{u}}(\mathbf{x}, t)$  satisfaz as mesmas condições de contorno impostas para  $\mathbf{u}(\mathbf{x}, t)$ . Como as “fronteiras virtuais” coincidem com as linhas da malha, obtém-se:

$$\frac{\partial \psi}{\partial \mathbf{n}} = 0,$$

onde se  $\mathbf{n} = \begin{pmatrix} 1 \\ 0 \end{pmatrix}$  então  $\frac{\partial \psi}{\partial x} = 0$  e se  $\mathbf{n} = \begin{pmatrix} 0 \\ 1 \end{pmatrix}$  então  $\frac{\partial \psi}{\partial y} = 0$ .

A condição 1.8 deriva do fato que  $\tilde{p}$  satisfaz a correta condição de fronteira sobre a superfície livre, como  $p = \tilde{p} + \frac{\psi}{\delta t}$ , isto implica que  $\psi = 0$ .

Então como exemplo considere a figura 1.108.

04	14	24	34	44	54	64	
F	V	S	S	S	V		F
03	13	23	33	$\Psi_9$	43	53	63
F	V	S	9	C	S	V	F
02	12	22	$\Psi_6$	32	$\Psi_7$	42	$\Psi_8$
		S	C	7	C	8	C
F	S	6	C	7	C	8	S
01	11	$\Psi_1$	21	$\Psi_2$	31	$\Psi_3$	41
F	1	C	2	C	3	C	4
00	10		20		30		40
		F		F		F	
F		F		F		F	

Figura 1.108: Exemplo para montar a matriz

Agora, fazendo os cálculos para montar a matriz:

- $i = 1, j = 1$ : pela equação de Poisson 1.7, tem-se:

$$4\psi_{1,1} - \psi_{2,1} - \psi_{0,1} - \psi_{1,2} - \psi_{1,0} = -h^2 \tilde{D}_{1,1}.$$

Por 1.8 tem-se que  $\psi_{1,2} = 0$  e por 1.9, tem-se que:

$$\frac{\psi_{1,1} - \psi_{0,1}}{\delta x} = 0 \Rightarrow \psi_{0,1} = \psi_{1,1},$$

$$\frac{\psi_{1,1} - \psi_{1,0}}{\delta y} = 0 \Rightarrow \psi_{1,0} = \psi_{1,1}.$$

Então,

$$2\psi_{1,1} - \psi_{2,1} = -h^2 \tilde{D}_{1,1} \Rightarrow 2\psi_1 - \psi_2 = -h^2 \tilde{D}_{1,1};$$

- $i = 2, j = 1$ : pela equação de Poisson 1.7, tem-se:

$$4\psi_{2,1} - \psi_{3,1} - \psi_{1,1} - \psi_{2,2} - \psi_{2,0} = -h^2 \tilde{D}_{2,1}.$$

Por 1.9, tem-se que:

$$\frac{\psi_{2,1} - \psi_{2,0}}{\delta y} = 0 \Rightarrow \psi_{2,0} = \psi_{2,1}.$$

Então,

$$3\psi_{2,1} - \psi_{3,1} - \psi_{1,1} - \psi_{2,2} = -h^2 \tilde{D}_{2,1} \Rightarrow 3\psi_2 - \psi_3 - \psi_1 - \psi_6 = -h^2 \tilde{D}_{2,1};$$

•  $i = 3, j = 1$ : pela equação de Poisson 1.7, tem-se:

$$4\psi_{3,1} - \psi_{4,1} - \psi_{2,1} - \psi_{3,2} - \psi_{3,0} = -h^2 \tilde{D}_{3,1}.$$

Por 1.9, tem-se que:

$$\frac{\psi_{3,1} - \psi_{3,0}}{\delta y} = 0 \Rightarrow \psi_{3,0} = \psi_{3,1}.$$

Então,

$$3\psi_{3,1} - \psi_{4,1} - \psi_{2,1} - \psi_{3,2} = -h^2 \tilde{D}_{3,1} \Rightarrow 3\psi_3 - \psi_4 - \psi_2 - \psi_7 = -h^2 \tilde{D}_{3,1};$$

•  $i = 4, j = 1$ : pela equação de Poisson 1.7, tem-se:

$$4\psi_{4,1} - \psi_{5,1} - \psi_{3,1} - \psi_{4,2} - \psi_{4,0} = -h^2 \tilde{D}_{4,1}.$$

Por 1.9, tem-se que:

$$\frac{\psi_{4,1} - \psi_{4,0}}{\delta y} = 0 \Rightarrow \psi_{4,0} = \psi_{4,1}.$$

Então,

$$3\psi_{4,1} - \psi_{5,1} - \psi_{3,1} - \psi_{4,2} = -h^2 \tilde{D}_{4,1} \Rightarrow 3\psi_4 - \psi_5 - \psi_3 - \psi_8 = -h^2 \tilde{D}_{4,1};$$

•  $i = 5, j = 1$ : pela equação de Poisson 1.7, tem-se:

$$4\psi_{5,1} - \psi_{6,1} - \psi_{4,1} - \psi_{5,2} - \psi_{5,0} = -h^2 \tilde{D}_{5,1}.$$

Por 1.8 tem-se que  $\psi_{5,2} = 0$  e por 1.9, tem-se que:

$$\frac{\psi_{6,1} - \psi_{5,1}}{\delta x} = 0 \Rightarrow \psi_{6,1} = \psi_{5,1},$$

$$\frac{\psi_{5,1} - \psi_{5,0}}{\delta y} = 0 \Rightarrow \psi_{5,0} = \psi_{5,1}.$$

Então,

$$2\psi_{5,1} - \psi_{4,1} = -h^2 \tilde{D}_{5,1} \Rightarrow 2\psi_5 - \psi_4 = -h^2 \tilde{D}_{5,1};$$

- $i = 2, j = 2$ : pela equação de Poisson 1.7, tem-se:

$$4\psi_{2,2} - \psi_{3,2} - \psi_{1,2} - \psi_{2,3} - \psi_{2,1} = -h^2 \tilde{D}_{2,2}.$$

Por 1.8 tem-se que  $\psi_{1,2} = 0$  e  $\psi_{2,3} = 0$ . Então,

$$4\psi_{2,2} - \psi_{3,2} - \psi_{2,1} = -h^2 \tilde{D}_{2,2} \Rightarrow 4\psi_6 - \psi_7 - \psi_2 = -h^2 \tilde{D}_{2,2};$$

- $i = 3, j = 2$ : pela equação de Poisson 1.7, tem-se:

$$4\psi_{3,2} - \psi_{4,2} - \psi_{2,2} - \psi_{3,3} - \psi_{3,1} = -h^2 \tilde{D}_{3,2} \Rightarrow 4\psi_7 - \psi_8 - \psi_6 - \psi_9 - \psi_3 = -h^2 \tilde{D}_{3,2};$$

- $i = 4, j = 2$ : pela equação de Poisson 1.7, tem-se:

$$4\psi_{4,2} - \psi_{5,2} - \psi_{3,2} - \psi_{4,3} - \psi_{4,1} = -h^2 \tilde{D}_{4,2}.$$

Por 1.8 tem-se que  $\psi_{5,2} = 0$  e  $\psi_{4,3} = 0$ . Então,

$$4\psi_{4,2} - \psi_{3,2} - \psi_{4,1} = -h^2 \tilde{D}_{4,2} \Rightarrow 4\psi_8 - \psi_7 - \psi_4 = -h^2 \tilde{D}_{4,2};$$

- $i = 3, j = 3$ : pela equação de Poisson 1.7, tem-se:

$$4\psi_{3,3} - \psi_{4,3} - \psi_{2,3} - \psi_{3,4} - \psi_{3,2} = -h^2 \tilde{D}_{3,3}.$$

Por 1.8 tem-se que  $\psi_{4,3} = 0$ ,  $\psi_{2,3} = 0$  e  $\psi_{3,4} = 0$ . Então,

$$4\psi_{3,3} - \psi_{3,2} = -h^2 \tilde{D}_{3,3} \Rightarrow 4\psi_9 - \psi_7 = -h^2 \tilde{D}_{3,3}.$$

Então a matriz que será usada pelo método dos gradientes conjugados é:

$$\begin{bmatrix} & \psi_1 & \psi_2 & \psi_3 & \psi_4 & \psi_5 & \psi_6 & \psi_7 & \psi_8 & \psi_9 \\ i = 1, j = 1 & 2 & -1 & 0 & 0 & 0 & 0 & 0 & 0 & 0 \\ i = 2, j = 1 & -1 & 3 & -1 & 0 & 0 & -1 & 0 & 0 & 0 \\ i = 3, j = 1 & 0 & -1 & 3 & -1 & 0 & 0 & -1 & 0 & 0 \\ i = 4, j = 1 & 0 & 0 & -1 & 3 & -1 & 0 & 0 & -1 & 0 \\ i = 5, j = 1 & 0 & 0 & 0 & -1 & 2 & 0 & 0 & 0 & 0 \\ i = 2, j = 2 & 0 & -1 & 0 & 0 & 0 & 4 & -1 & 0 & 0 \\ i = 3, j = 2 & 0 & 0 & -1 & 0 & 0 & -1 & 4 & -1 & -1 \\ i = 4, j = 2 & 0 & 0 & 0 & -1 & 0 & 0 & -1 & 4 & 0 \\ i = 3, j = 3 & 0 & 0 & 0 & 0 & 0 & 0 & -1 & 0 & 4 \end{bmatrix}$$

## 1.9 Cálculo das Velocidades Finais $u$ e $v$

Para o cálculo das velocidades finais  $u$  e  $v$  o método utilizado é o seguinte, percorre-se todas as células C e estuda-se as células seguinte e superior, depois percorre-se todas as células S e faz o mesmo estudo. Então, calcula-se as velocidades finais nas células C e S através das equações 1.10 e 1.11:

$$u = \tilde{u} - \nabla \psi \quad (1.10)$$

e

$$v = \tilde{v} - \nabla \psi \quad (1.11)$$

Então:

- se a célula  $i, j$  for C:
  - se a célula  $i + 1, j$  for C: como mostra a figura 1.109.

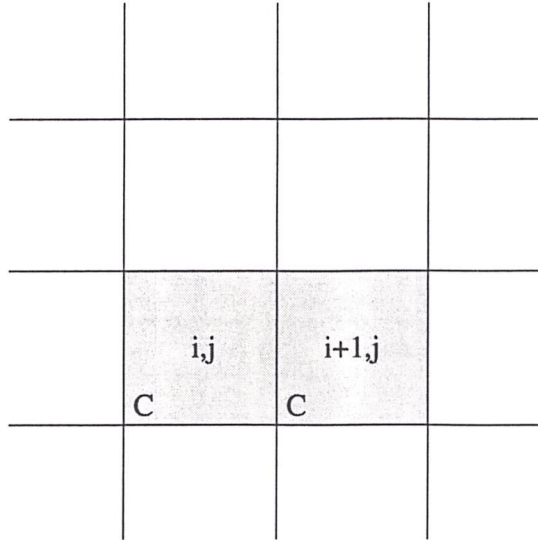


Figura 1.109: Células  $i, j$  e  $i + 1, j$  são C

Então por 1.10 calcula-se  $u_{i+\frac{1}{2},j}$ :

$$u_{i+\frac{1}{2},j} = \tilde{u}_{i+\frac{1}{2},j} + \left( \frac{p_{i,j} - p_{i+1,j}}{\delta x} \right);$$

- se a célula  $i + 1, j$  for S: como mostra a figura 1.110.

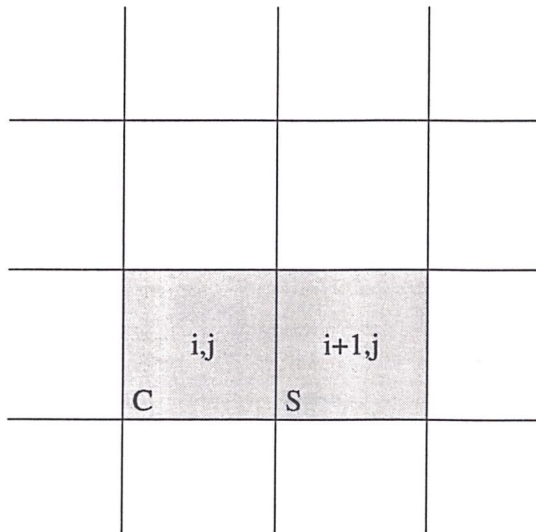


Figura 1.110: Célula  $i, j$  é C e  $i + 1, j$  é S

Então por 1.10 calcula-se  $u_{i+\frac{1}{2},j}$ :

$$u_{i+\frac{1}{2},j} = \tilde{u}_{i+\frac{1}{2},j} + \frac{p_{i,j}}{\delta x};$$

- se a célula  $i, j + 1$  for C: como mostra a figura 1.111.

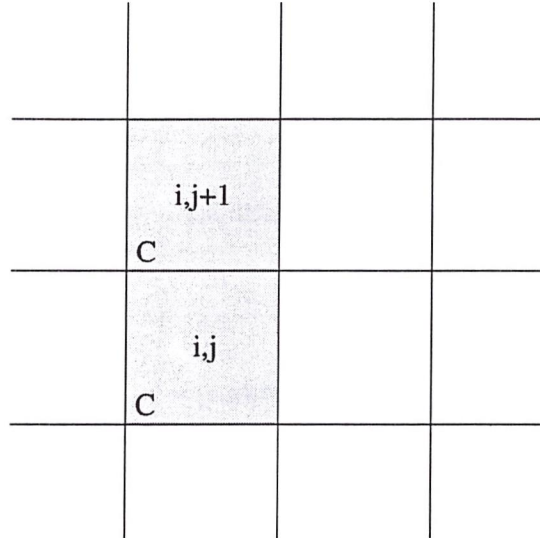


Figura 1.111: Células  $i, j$  e  $i, j + 1$  são C

Então por 1.11 calcula-se  $v_{i,j+\frac{1}{2}}$ :

$$v_{i,j+\frac{1}{2}} = \tilde{v}_{i,j+\frac{1}{2}} + \left( \frac{p_{i,j} - p_{i,j+1}}{\delta y} \right);$$

- se a célula  $i, j + 1$  for S: como mostra a figura 1.112.

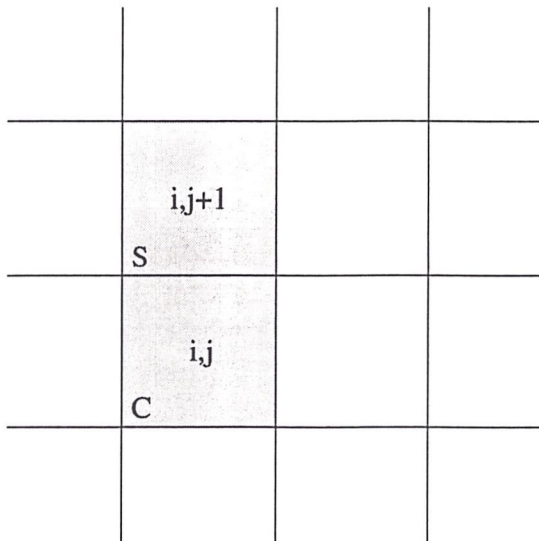


Figura 1.112: Célula  $i, j$  é C e  $i, j + 1$  é S

Então por 1.11 calcula-se  $v_{i,j+\frac{1}{2}}$ :

$$v_{i,j+\frac{1}{2}} = \tilde{v}_{i,j+\frac{1}{2}} + \frac{p_{i,j}}{\delta y};$$

- se a célula  $i, j$  for S:
  - se a célula  $i + 1, j$  for C: como mostra a figura 1.113.

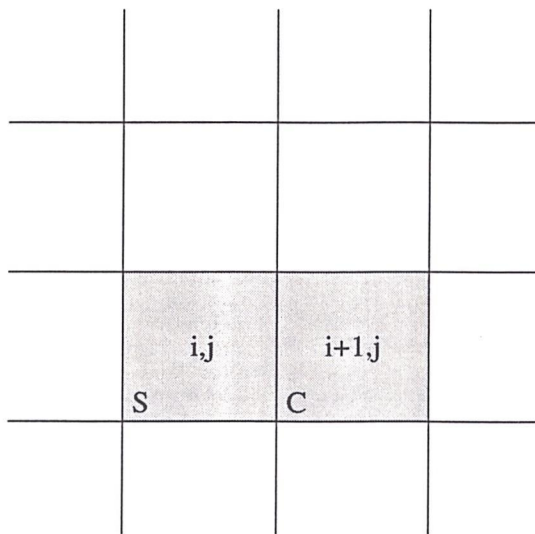


Figura 1.113: Célula  $i, j$  é S e  $i + 1, j$  é C

Então por 1.10 calcula-se  $u_{i+\frac{1}{2},j}$ :

$$u_{i+\frac{1}{2},j} = \tilde{u}_{i+\frac{1}{2},j} + \frac{p_{i+1,j}}{\delta x};$$

- se a célula  $i+1, j$  for S: como mostra a figura 1.114.

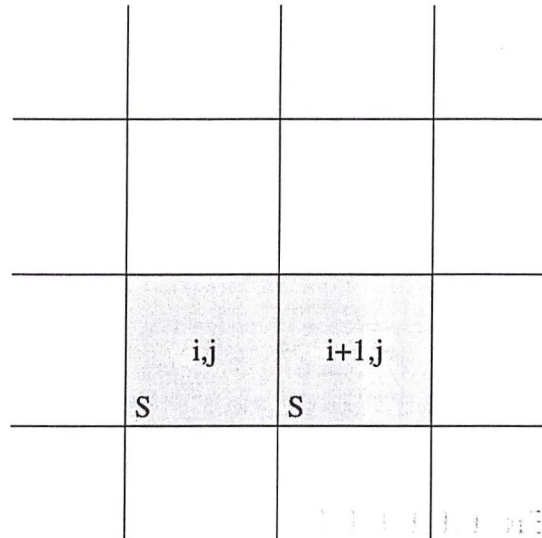


Figura 1.114: Células  $i, j$  e  $i + 1, j$  são S

Então por 1.10 calcula-se  $u_{i+\frac{1}{2},j}$ :

$$u_{i+\frac{1}{2},j} = \tilde{u}_{i+\frac{1}{2},j};$$

- se a célula  $i, j + 1$  for C: como mostra a figura 1.115.

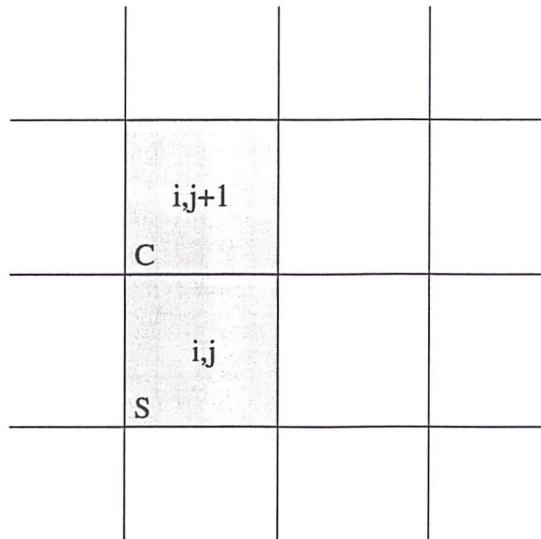


Figura 1.115: Célula  $i, j$  é S e  $i, j + 1$  é C

Então por 1.11 calcula-se  $v_{i,j+\frac{1}{2}}$ :

$$v_{i,j+\frac{1}{2}} = \tilde{v}_{i,j+\frac{1}{2}} + \frac{p_{i,j+1}}{\delta y};$$

- se a célula  $i, j + 1$  for S: como mostra a figura 1.116.

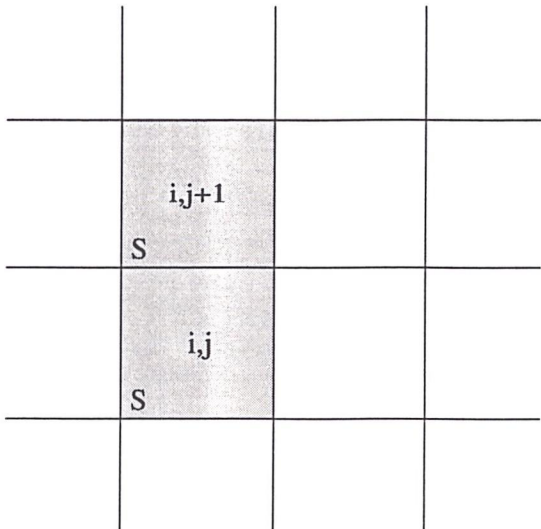


Figura 1.116: Células  $i, j$  e  $i, j + 1$  são S

Então por 1.11 calcula-se  $v_{i,j+\frac{1}{2}}$ :

$$v_{i,j+\frac{1}{2}} = \tilde{v}_{i,j+\frac{1}{2}}.$$

## 1.10 Eliminação das Partículas Virtuais

A eliminação das partículas virtuais é necessária para a diminuição de dados. Uma aresta deve ser removida quando o tamanho da aresta for menor que  $0.05 * \min\{dx, dy\}$  e pertencer a uma mesma célula. Considere a figura 1.117.

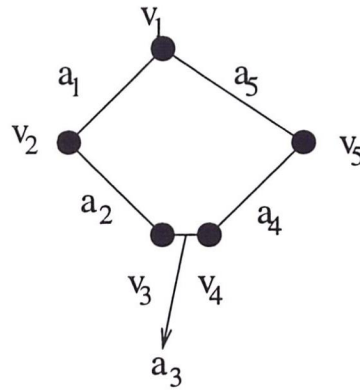


Figura 1.117: Eliminação do vértice  $v_3$  e da aresta  $a_3$

Como exemplo, considere que se queira eliminar o vértice  $v_3$  e a aresta  $a_3$ , então o vértice  $v_3$  é removido e o  $v_2$  é a média entre o  $v_2$  e o  $v_3$ , ficando como na figura 1.118.

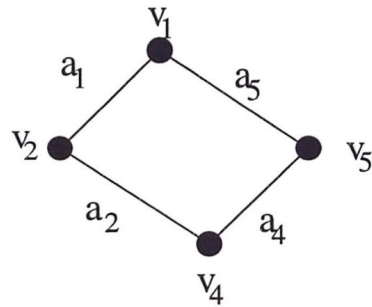


Figura 1.118: Vértice  $v_3$  e aresta  $a_3$  eliminadas

## 1.11 Cálculo das Velocidades $u$ e $v$ das Partículas Virtuais

O cálculo das velocidades  $u$  e  $v$  das partículas virtuais é feito por interpolação bilinear, envolvendo as quatro velocidades mais próximas.

O método utilizado identifica a posição da partícula que pode ter quatro posições, assim, tem-se quatro casos. Considera-se uma célula e a divida em quatro partes, como mostra a figura 1.119, pois é preciso saber as quatro velocidades mais próximas da partícula virtual.

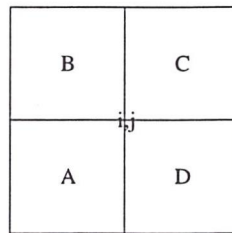


Figura 1.119: Célula dividida em quatro partes

Então, a partícula pode estar no quadrante A, B, C, ou D:

- se a partícula está no quadrante A: como mostra a figura 1.120.

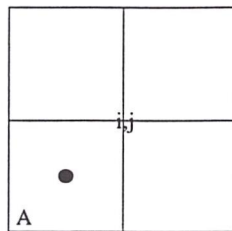


Figura 1.120: Partícula virtual está no quadrante A

Então para o cálculo da velocidade  $u$ , usando as quatro velocidades mais próximas, de uma partícula no quadrante A, considere a figura 1.121.

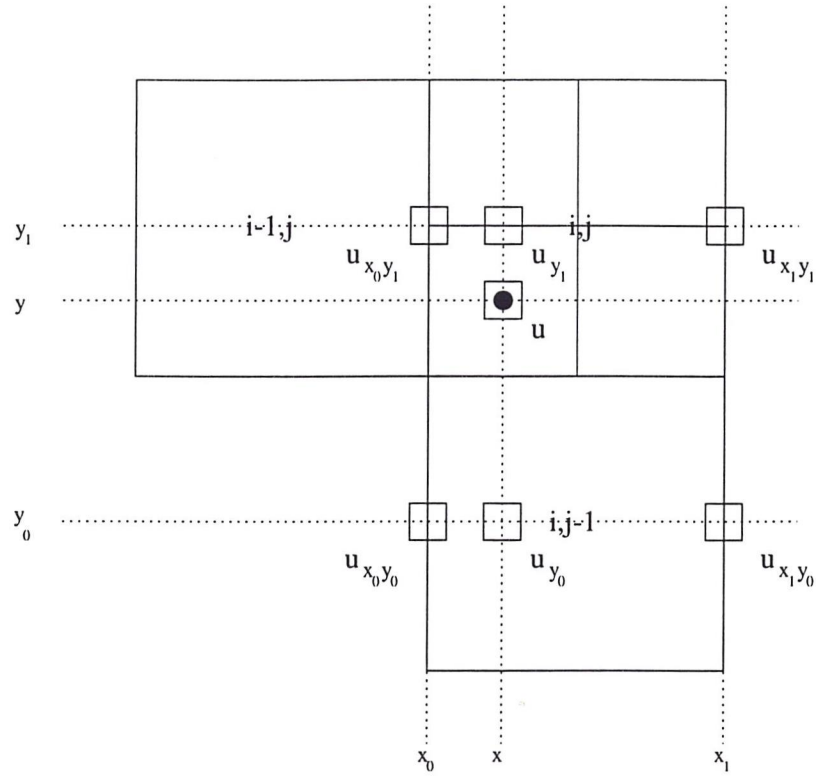


Figura 1.121: Cálculo das quatro velocidades  $u$  mais próximas da partícula virtual pertencente ao quadrante A

Então por interpolação linear:

$$u = \frac{y - y_1}{y_0 - y_1} u_{y_0} + \frac{y - y_0}{y_1 - y_0} u_{y_1},$$

onde  $u_{y_0}$  e  $u_{y_1}$  também são calculados por interpolação linear:

$$u_{y_0} = \frac{x - x_1}{x_0 - x_1} u_{x_0 y_0} + \frac{x - x_0}{x_1 - x_0} u_{x_1 y_0},$$

$$u_{y_1} = \frac{x - x_1}{x_0 - x_1} u_{x_0 y_1} + \frac{x - x_0}{x_1 - x_0} u_{x_1 y_1}.$$

Para o cálculo da velocidade  $v$ , usando as quatro velocidades mais próximas, de uma partícula no quadrante A, considere a figura 1.122.

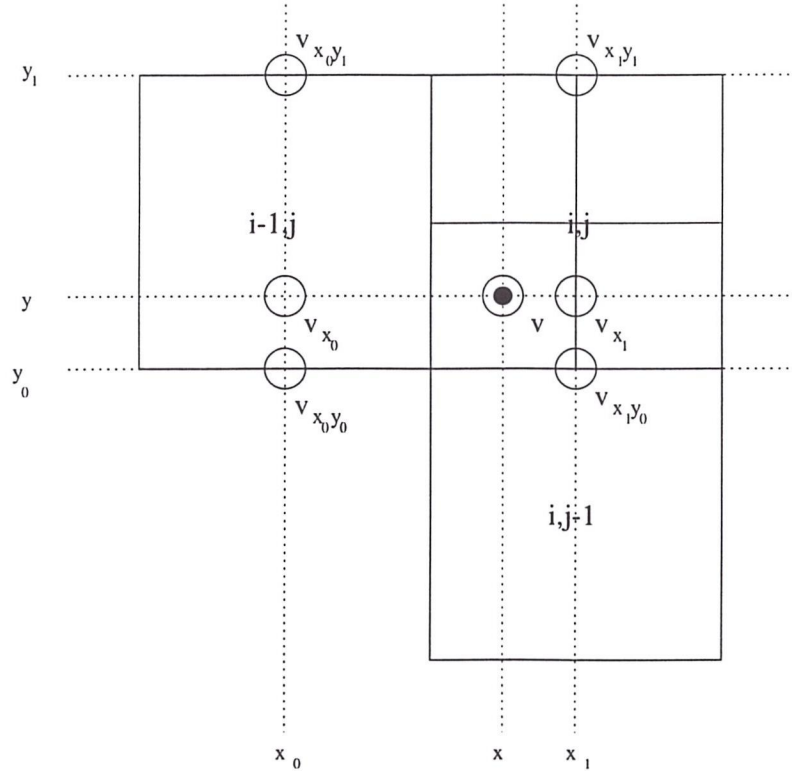


Figura 1.122: Cálculo das quatro velocidades  $v$  mais próximas da partícula virtual pertencente ao quadrante A

Então por interpolação linear:

$$v = \frac{x - x_1}{x_0 - x_1} v_{x_0} + \frac{x - x_0}{x_1 - x_0} v_{x_1},$$

onde  $v_{x_0}$  e  $v_{x_1}$  também são calculados por interpolação linear:

$$v_{x_0} = \frac{y - y_1}{y_0 - y_1} v_{x_0 y_0} + \frac{y - y_0}{y_1 - y_0} v_{x_0 y_1},$$

$$v_{x_1} = \frac{y - y_1}{y_0 - y_1} v_{x_1 y_0} + \frac{y - y_0}{y_1 - y_0} v_{x_1 y_1};$$

- se a partícula está no quadrante B: como mostra a figura 1.123.

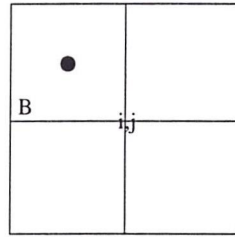


Figura 1.123: Partícula virtual está no quadrante B

Então para o cálculo da velocidade  $u$ , usando as quatro velocidades mais próximas, de uma partícula no quadrante B, considere a figura 1.124.

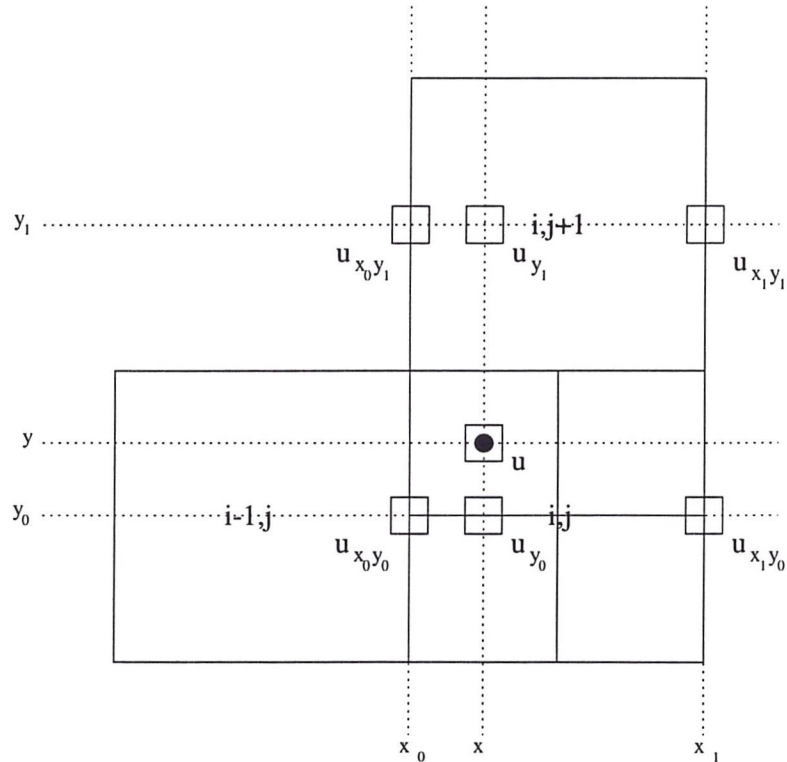


Figura 1.124: Cálculo das quatro velocidades  $u$  mais próximas da partícula virtual pertencente ao quadrante B

Então por interpolação linear:

$$u = \frac{y - y_1}{y_0 - y_1} u_{y_0} + \frac{y - y_0}{y_1 - y_0} u_{y_1},$$

onde  $u_{y_0}$  e  $u_{y_1}$  também são calculados por interpolação linear:

$$u_{y_0} = \frac{x - x_1}{x_0 - x_1} u_{x_0 y_0} + \frac{x - x_0}{x_1 - x_0} u_{x_1 y_0},$$

$$u_{y_1} = \frac{x - x_1}{x_0 - x_1} u_{x_0 y_1} + \frac{x - x_0}{x_1 - x_0} u_{x_1 y_1}.$$

Para o cálculo da velocidade  $v$ , usando as quatro velocidades mais próximas, de uma partícula no quadrante B, considere a figura 1.125.

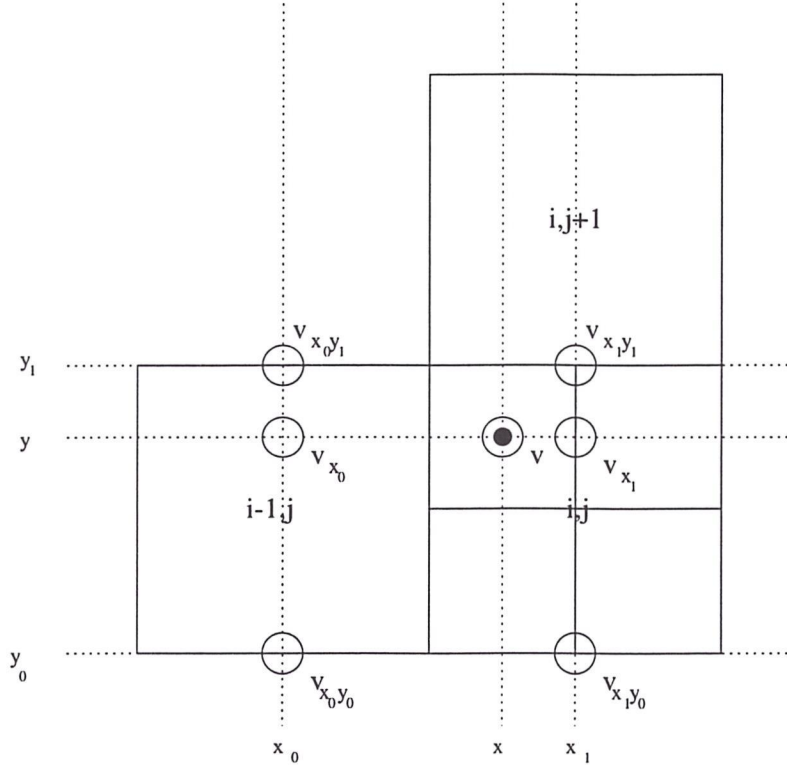


Figura 1.125: Cálculo das quatro velocidades  $v$  mais próximas da partícula virtual pertencente ao quadrante B

Então por interpolação linear:

$$v = \frac{x - x_1}{x_0 - x_1} v_{x_0} + \frac{x - x_0}{x_1 - x_0} v_{x_1},$$

onde  $v_{x_0}$  e  $v_{x_1}$  também são calculados por interpolação linear:

$$v_{x_0} = \frac{y - y_1}{y_0 - y_1} v_{x_0 y_0} + \frac{y - y_0}{y_1 - y_0} v_{x_0 y_1},$$

$$v_{x_1} = \frac{y - y_1}{y_0 - y_1} v_{x_1 y_0} + \frac{y - y_0}{y_1 - y_0} v_{x_1 y_1};$$

- se a partícula está no quadrante C: como mostra a figura 1.126.

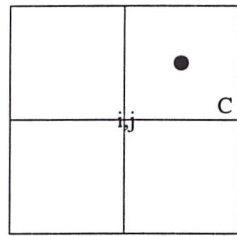


Figura 1.126: Partícula virtual está no quadrante C

Então para o cálculo da velocidade  $u$ , usando as quatro velocidades mais próximas, de uma partícula no quadrante C, considere a figura 1.127.

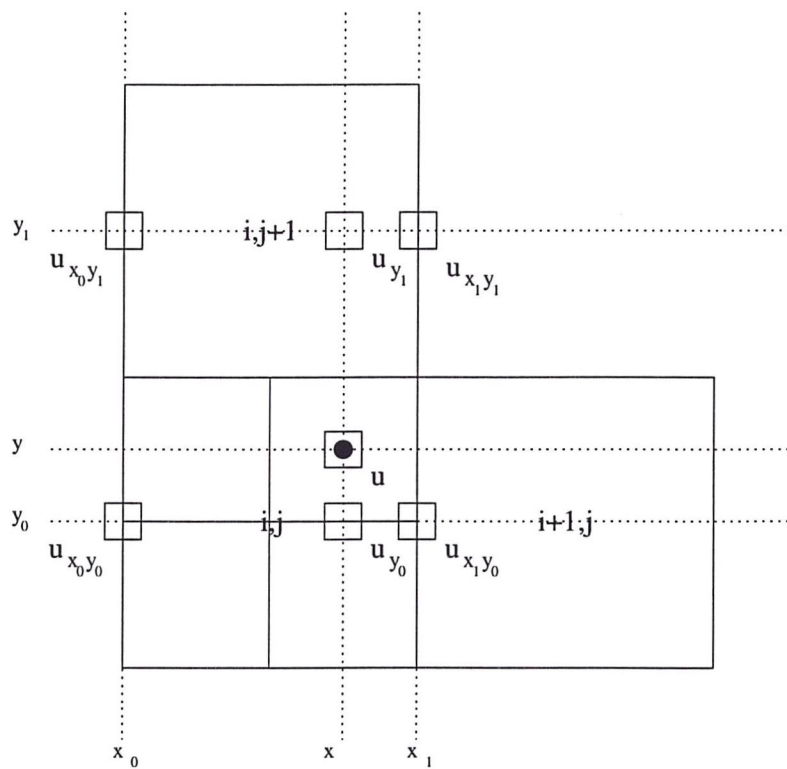


Figura 1.127: Cálculo das quatro velocidades  $u$  mais próximas da partícula virtual pertencente ao quadrante C

Então por interpolação linear:

$$u = \frac{y - y_1}{y_0 - y_1} u_{y_0} + \frac{y - y_0}{y_1 - y_0} u_{y_1},$$

onde  $u_{y_0}$  e  $u_{y_1}$  também são calculados por interpolação linear:

$$u_{y_0} = \frac{x - x_1}{x_0 - x_1} u_{x_0 y_0} + \frac{x - x_0}{x_1 - x_0} u_{x_1 y_0},$$

$$u_{y_1} = \frac{x - x_1}{x_0 - x_1} u_{x_0 y_1} + \frac{x - x_0}{x_1 - x_0} u_{x_1 y_1}.$$

Para o cálculo da velocidade  $v$ , usando as quatro velocidades mais próximas, de uma partícula no quadrante C, considere a figura 1.128.

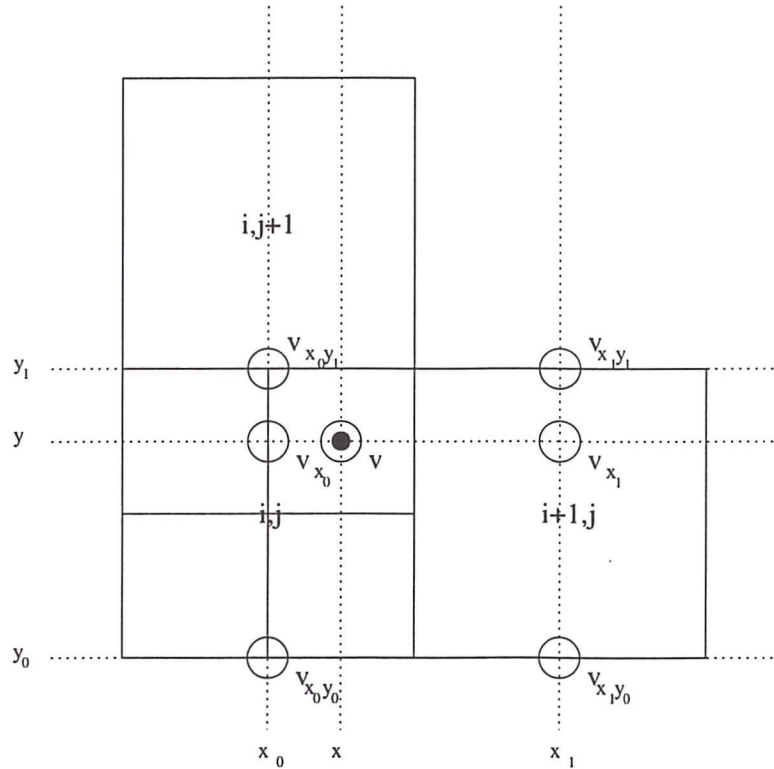


Figura 1.128: Cálculo das quatro velocidades  $v$  mais próximas da partícula virtual pertencente ao quadrante C

Então por interpolação linear:

$$v = \frac{x - x_1}{x_0 - x_1} v_{x_0} + \frac{x - x_0}{x_1 - x_0} v_{x_1},$$

onde  $v_{x_0}$  e  $v_{x_1}$  também são calculados por interpolação linear:

$$v_{x_0} = \frac{y - y_1}{y_0 - y_1} v_{x_0 y_0} + \frac{y - y_0}{y_1 - y_0} v_{x_0 y_1},$$

$$v_{x_1} = \frac{y - y_1}{y_0 - y_1} v_{x_1 y_0} + \frac{y - y_0}{y_1 - y_0} v_{x_1 y_1};$$

- se a partícula está no quadrante D: como mostra a figura 1.129.

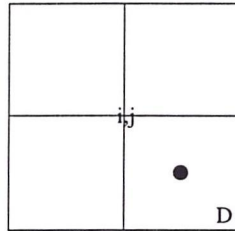


Figura 1.129: Partícula virtual está no quadrante D

Então para o cálculo da velocidade  $u$ , usando as quatro velocidades mais próximas, de uma partícula no quadrante D, considere a figura 1.130.

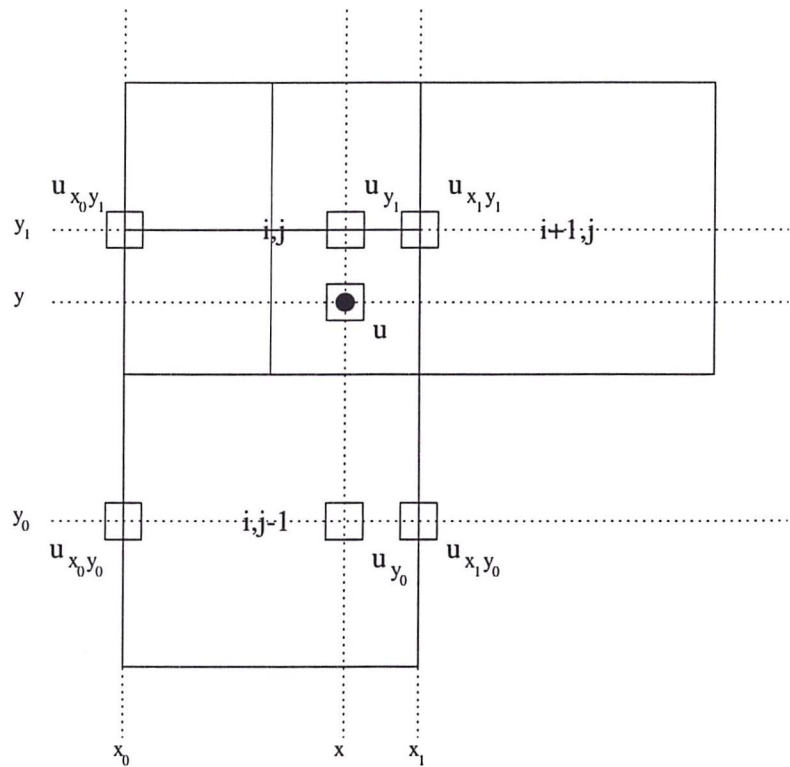


Figura 1.130: Cálculo das quatro velocidades  $u$  mais próximas da partícula virtual pertencente ao quadrante D

Então por interpolação linear:

$$u = \frac{y - y_1}{y_0 - y_1} u_{y_0} + \frac{y - y_0}{y_1 - y_0} u_{y_1},$$

onde  $u_{y_0}$  e  $u_{y_1}$  também são calculados por interpolação linear:

$$u_{y_0} = \frac{x - x_1}{x_0 - x_1} u_{x_0 y_0} + \frac{x - x_0}{x_1 - x_0} u_{x_1 y_0},$$

$$u_{y_1} = \frac{x - x_1}{x_0 - x_1} u_{x_0 y_1} + \frac{x - x_0}{x_1 - x_0} u_{x_1 y_1}.$$

Para o cálculo da velocidade  $v$ , usando as quatro velocidades mais próximas, de uma partícula no quadrante D, considere a figura 1.131.

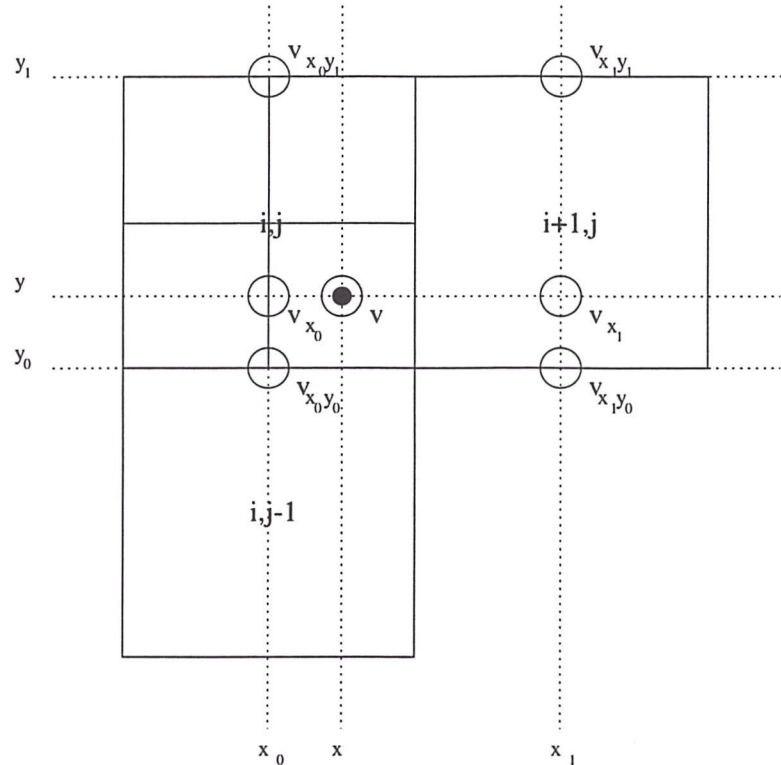


Figura 1.131: Cálculo das quatro velocidades  $v$  mais próximas da partícula virtual pertencente ao quadrante D

Então por interpolação linear:

$$v = \frac{x - x_1}{x_0 - x_1} v_{x_0} + \frac{x - x_0}{x_1 - x_0} v_{x_1},$$

onde  $v_{x_0}$  e  $v_{x_1}$  também são calculados por interpolação linear:

$$v_{x_0} = \frac{y - y_1}{y_0 - y_1} v_{x_0 y_0} + \frac{y - y_0}{y_1 - y_0} v_{x_0 y_1},$$

$$v_{x_1} = \frac{y - y_1}{y_0 - y_1} v_{x_1 y_0} + \frac{y - y_0}{y_1 - y_0} v_{x_1 y_1}.$$

Após o cálculo das velocidades das partículas virtuais atualiza-se suas posições fazendo o movimento das partículas virtuais. Denomina-se as células como C, S ou V. Se as células forem C ficam S, se as células forem V ficam S e calcula-se a velocidade nas células vizinhas.

## 1.12 Inserção das Partículas Virtuais

A inserção das partículas virtuais no fluido é importante, pois conforme o fluido se move, as partículas que representam a superfície podem ficar distantes uma das outras e assim perde-se os detalhes de representação. Pode ocorrer também que uma célula da superfície livre não contenha partículas devido a definição das células ser feita no instante de tempo anterior, podendo haver confusão no algoritmo de definição das células no tempo atualizado.

Para se inserir partículas no fluido considera-se o comprimento de cada aresta que representa a superfície livre, como mostra a figura 1.132.

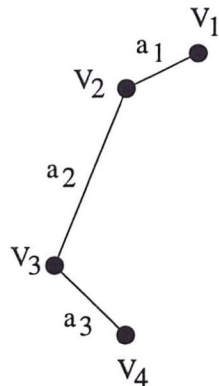


Figura 1.132: Inserção de um vértice entre os vértices  $v_2$  e  $v_3$

Subdividindo essa aresta em arestas menores toda vez que seu comprimento for superior a  $0.8 * \min\{dx, dy\}$  como mostra a figura 1.133.

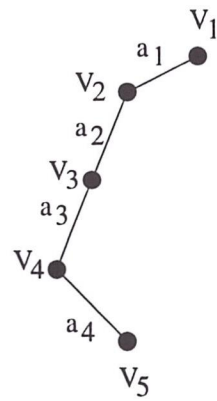


Figura 1.133: Um vértice inserido entre os vértices  $v_2$  e  $v_3$

### 1.13 Redefinição das Células Após o Movimento das Partículas Virtuais

E por fim, redefine-se as células após o movimento das partículas virtuais. Considere a figura 1.134, como o problema inicial.

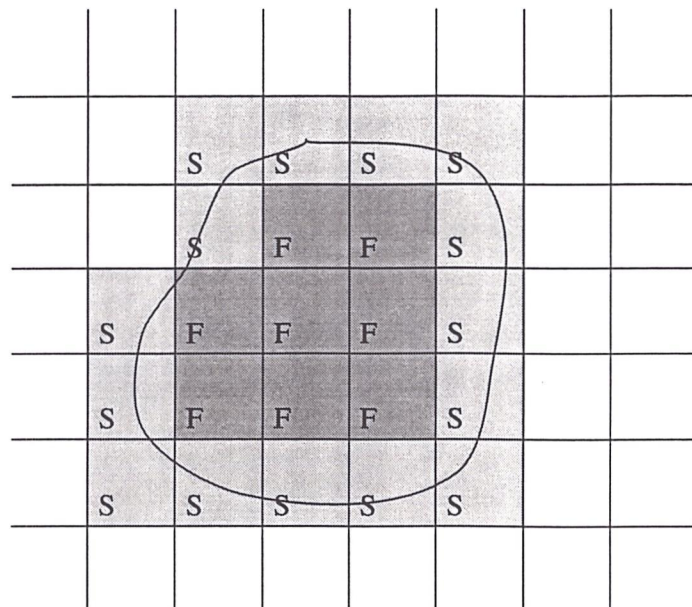


Figura 1.134: Redefinição das células, problema inicial

Quando movimentou-se as partículas virtuais, as células C e V tornaram-se S, como mostra a figura 1.135. Agora as células que contêm a superfície livre são marcadas por terem partículas virtuais.

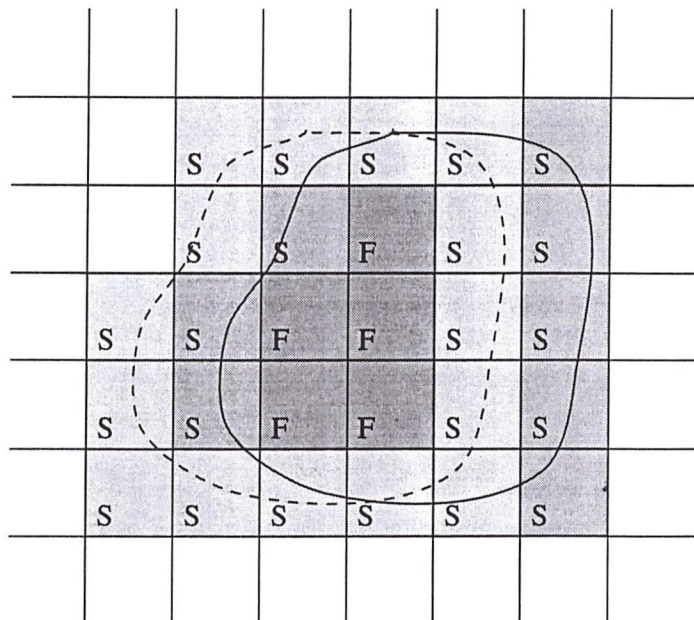


Figura 1.135: Redefinição das células S, após o movimento da superfície livre

As células S que não fazem vizinhança com nenhuma célula V ficam C. As células S que não foram marcadas por não terem partículas virtuais transformam-se em V e a velocidade nestas células é zero. As células S que não têm contato com nenhuma célula V tornam-se C e as células C que têm algum contato com as células V ficam S. Como mostra a figura 1.136

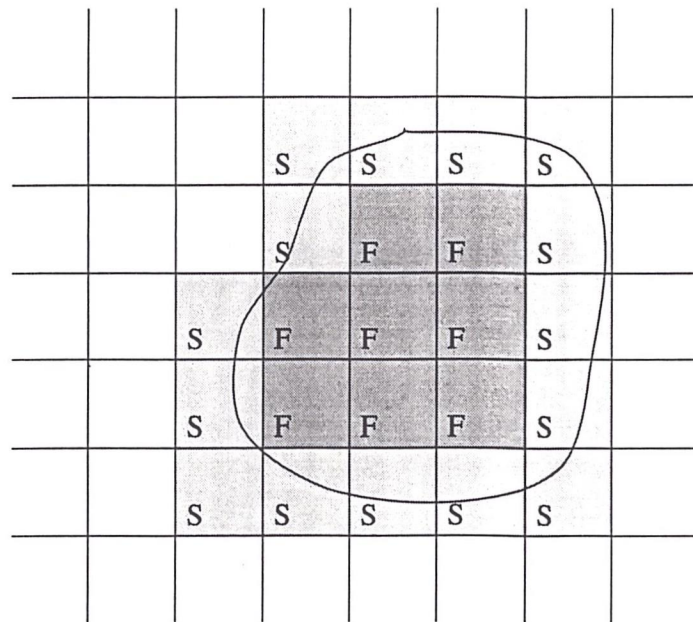


Figura 1.136: Redefinição das células V e C, último passo

## 1.14 Considerações Finais

Este relatório é importante pois em cada seção foi detalhado os passos que o simulador segue. Sendo um complemento da dissertação [1].

# Capítulo 2

## Modelador

### 2.1 Considerações Iniciais

O modelador é um sistema interativo para a especificação de um modelo de escoamento de fluidos que inclui a definição de elementos no domínio do escoamento como moldes, injetores, fluidos e a definição de propriedades do escoamento. Foi implementado em linguagem C sobre o sistema UNIX, a interface gráfica do Modflow-2D utiliza o sistema de gerenciamento de janelas Xview sobre o Xwindows.

Neste relatório será detalhado como é feito as intersecções nas células e a estrutura dos objetos geométricos.

### 2.2 Intersecções nas Células

O cálculo das intersecções nas células é importante para a definição das células e os cálculos das velocidades nas condições de contorno rígido. Os dados são armazenados em árvores e atualizados a cada movimento da superfície livre.

As intersecções são calculadas da seguinte maneira, observe as figuras 2.1.

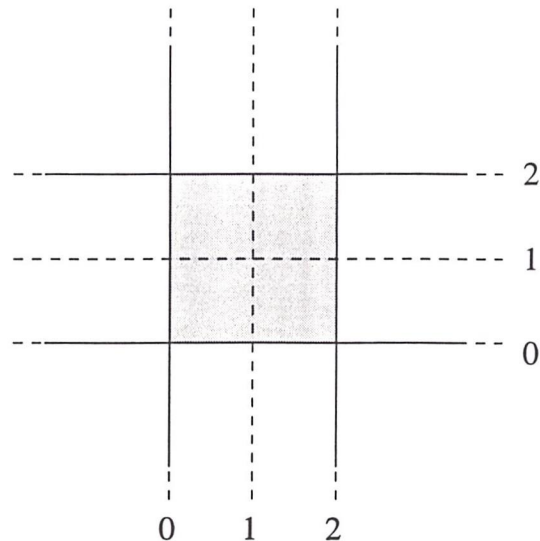


Figura 2.1: Intersecções possíveis nas direções x e y

Há duas orientações: uma em x e outra em y. A orientação em x será feita pelo número [0] e a orientação em y será feita pelo número [1]. Então para a orientação em x a intersecção é dada por  $\text{intersec}[0][?]$  e para a orientação em y a intersecção é dada por  $\text{intersec}[1][?]$ . O segundo campo é o número que define a posição na célula. A célula é dividida em três partes: [0], [1] e [2]. Então tem-se seis intersecções possíveis:

- na direção x: como mostra a figura 2.2.

$\text{intersec}[0][0]$   
 $\text{intersec}[0][1]$   
 $\text{intersec}[0][2]$

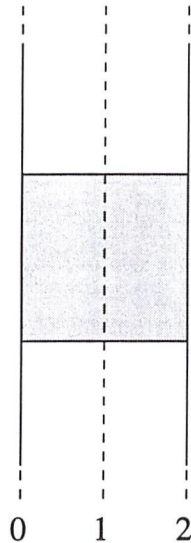


Figura 2.2: Intersecções na direção x

- na direção y: como mostra a figura 2.3.

`intersec[1][0]`  
`intersec[1][1]`  
`intersec[1][2]`

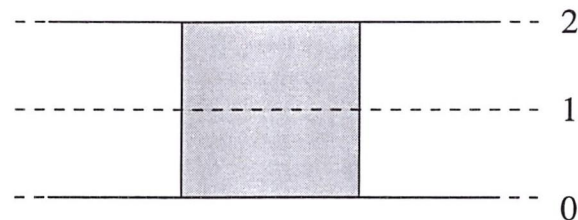


Figura 2.3: Intersecções na direção y

De forma geral as intersecções ficam como mostra a figura 2.1.  
 Como exemplo, considere a figura 2.4.

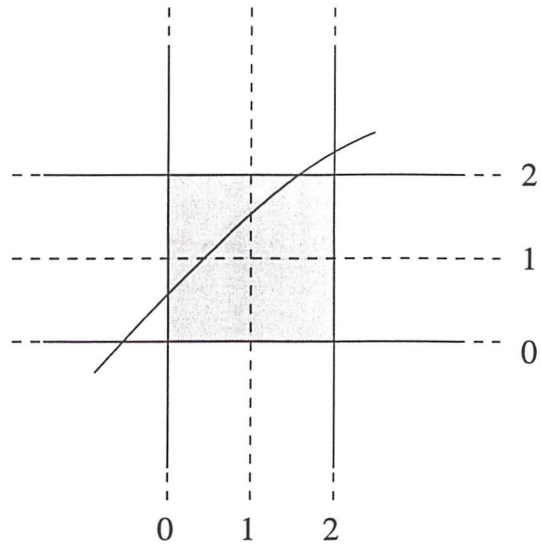
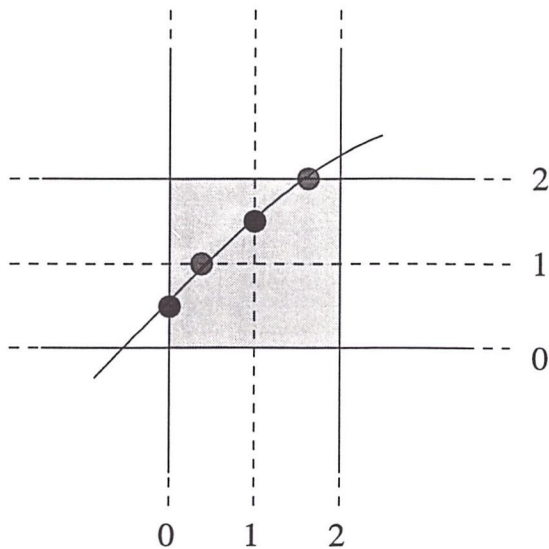


Figura 2.4: Exemplo de intersecções

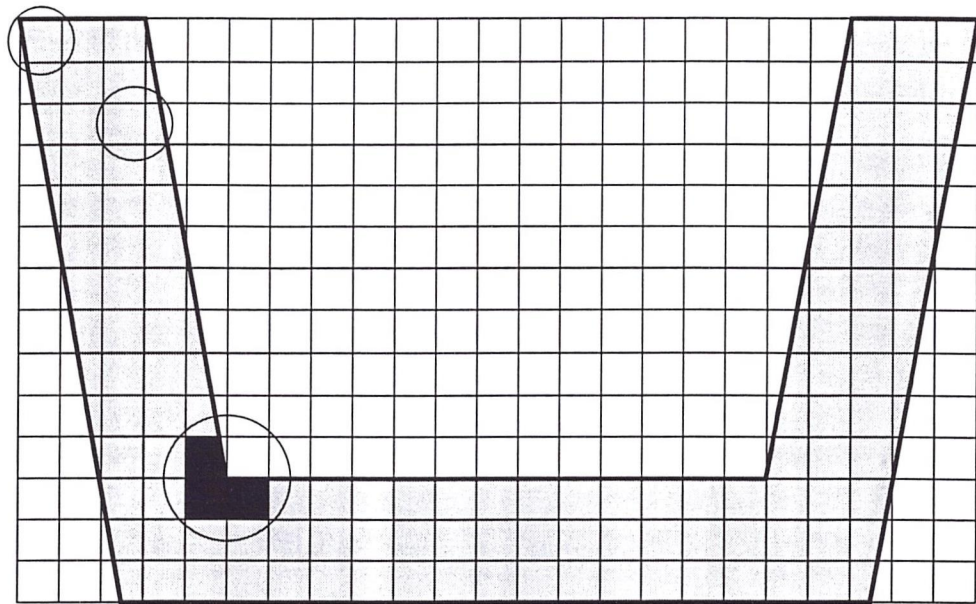
Para este exemplo, figura 2.5, as intersecções possíveis na direção x são:  $\text{intersec}[0][0]$ ,  $\text{intersec}[0][1]$ . E as intersecções possíveis na direção y são:  $\text{intersec}[1][1]$ ,  $\text{intersec}[1][2]$ .



- intersecções na direção x
- intersecções na direção y

Figura 2.5: Exemplo de intersecções nas direções x e y

Como exemplo geral, considere a figura 2.6.



- Ilustração 1
- Ilustração 2
- Ilustração 3

Figura 2.6: Contêiner tipo *Box Inclinado* com detalhes que serão exemplificados

Agora, será feito algumas intersecções como ilustração. Considere como primeira ilustração a figura 2.7.

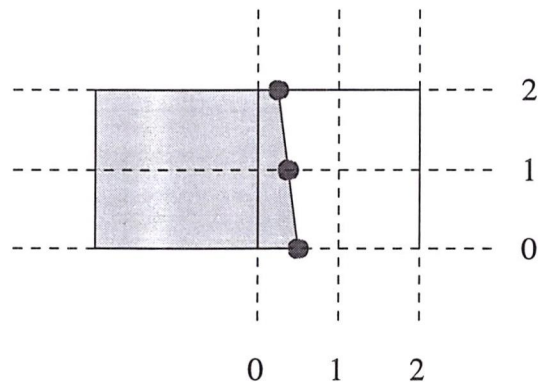


Figura 2.7: Primeira ilustração

Neste caso, tem-se as três intersecções da direção y,  $\text{intersec}[1][0]$ ,  $\text{intersec}[1][1]$  e  $\text{intersec}[1][2]$ , que serão armazenadas na árvore. Após ter calculado as intersecções verifica-se se a célula é F ou não. Como esta célula não é F as informações das intersecções desta

célula é passada para a célula vizinha anterior sendo esta considerada uma célula F. Como segunda ilustração, considere a figura 2.8.

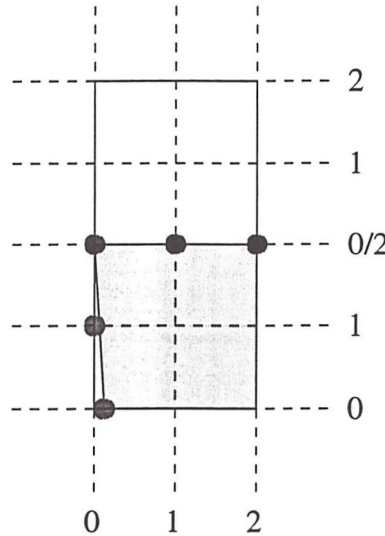


Figura 2.8: Segunda Ilustração

Neste caso, tem-se as intersecções:  $\text{intersec}[0][0]$ ,  $\text{intersec}[0][1]$ ,  $\text{intersec}[0][2]$ ,  $\text{intersec}[1][0]$ ,  $\text{intersec}[1][1]$ ,  $\text{intersec}[1][2]$ . As intersecções  $\text{intersec}[0][0]$ ,  $\text{intersec}[0][1]$ ,  $\text{intersec}[0][2]$  e  $\text{intersec}[1][0]$  são calculadas para as duas células, mas a célula superior não é F, então suas informações são transferidas para a célula vizinha de baixo que é F. Como terceira ilustração, considere a figura 2.9.

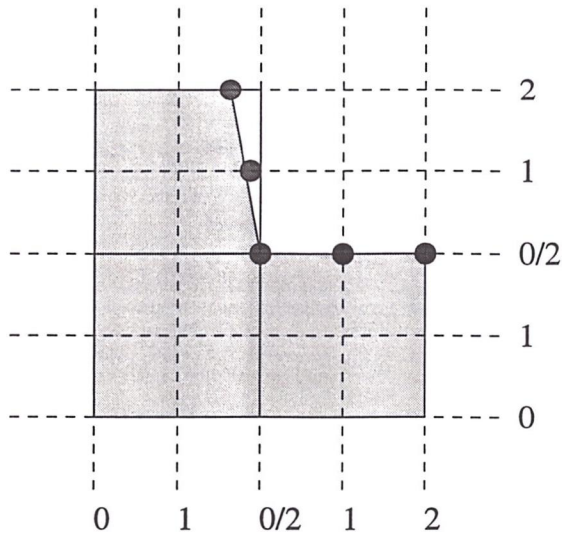


Figura 2.9: Terceira Ilustração

Neste caso, tem-se as intersecções:  $\text{intersec}[0][0]$ ,  $\text{intersec}[0][1]$ ,  $\text{intersec}[0][2]$ ,  $\text{intersec}[1][0]$ ,  $\text{intersec}[1][1]$ ,  $\text{intersec}[1][2]$ . As intersecções  $\text{intersec}[0][0]$ ,  $\text{intersec}[0][1]$ ,  $\text{intersec}[0][2]$  e  $\text{intersec}[1][0]$  são calculadas para as duas células, mas a célula superior não é F, então suas informações são transferidas para a célula vizinha de baixo. E as informações das intersecções  $\text{intersec}[1][0]$ ,  $\text{intersec}[1][1]$ ,  $\text{intersec}[1][2]$  são armazenadas na célula F.

Então de uma forma geral, antes de verificar quais células são realmente F algumas células estão definidas de forma equivocada, como mostra a figura 2.10.

Figura 2.10: Células definidas equivocadamente

Depois de se fazer os cálculos das intersecções, armazenar os dados das intersecções nas células corretas e determinar as células que realmente são F o contêiner fica como mostra a figura 2.11.

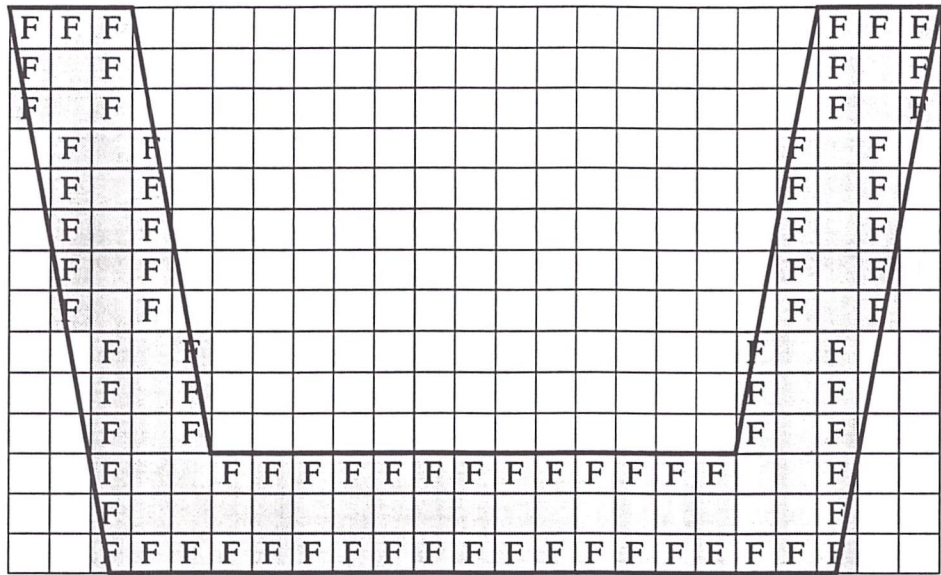


Figura 2.11: Células definidas corretamente

Uma observação importante é que a expressura do contêiner deve conter três células, assim se evitando confusão do algoritmo com relação a orientação.

## 2.3 Estrutura dos Objetos Geométricos

A estrutura de dados do Freeflow-2D foi explicada em [1]. Nesta seção será montado a estrutura de dados de um objeto geométrico.

Os objetos geométricos são curvas fechadas com orientação anti-horária e são representados por um tipo de estrutura de dados B-Rep (*Boundary Representation*) para representar objetos geométricos pela sua fronteira.

Então como exemplo quer se criar um contêiner do tipo *Cube* [1], como mostra a figura 2.12.

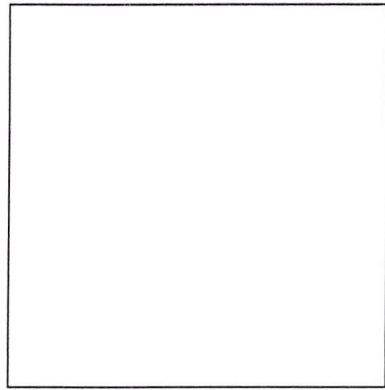


Figura 2.12: Contêiner do tipo *Cube*

Então primeiramente, cria-se na estrutura uma fatia, figura 2.13.

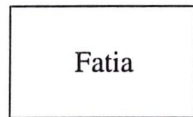


Figura 2.13: Primeiro passo para se criar a estrutura de um contêiner do tipo *Cube*

Em seguida, cria-se uma face, como mostra a figura 2.14.

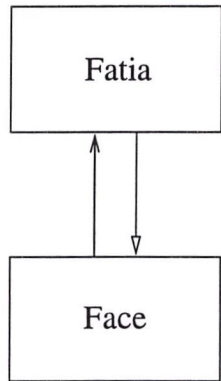


Figura 2.14: Segundo passo para se criar a estrutura de um contêiner do tipo *Cube*

Depois, o primeiro vértice é criado e em seguida a primeira semi-aresta. Como mostra a figura 2.15 na estrutura e 2.16 o objeto.

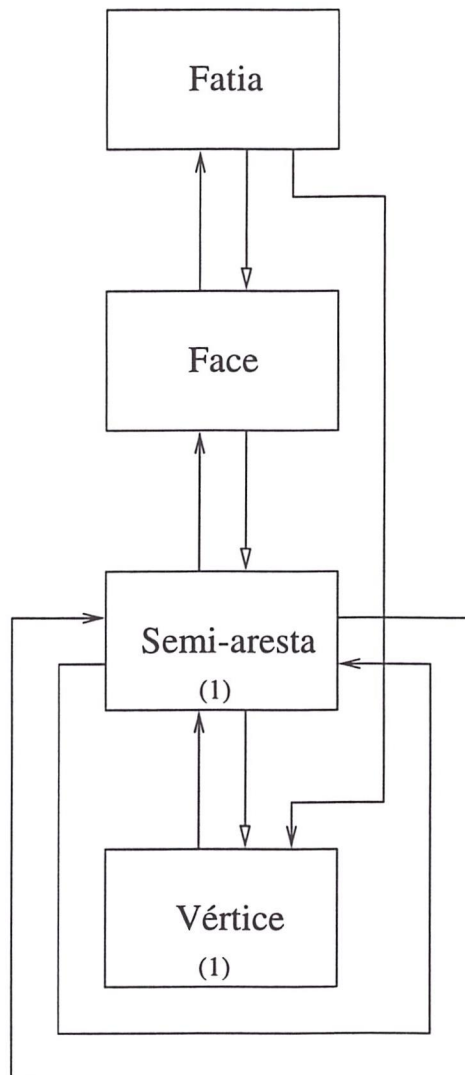


Figura 2.15: Terceiro passo para se criar a estrutura de um contêiner do tipo *Cube*



Figura 2.16: Primeiro passo para se criar um contêiner do tipo *Cube*

Em seguida, cria-se o segundo vértice e a segunda semi-aresta. Como mostra a figura 2.17 na estrutura e 2.18 o objeto.

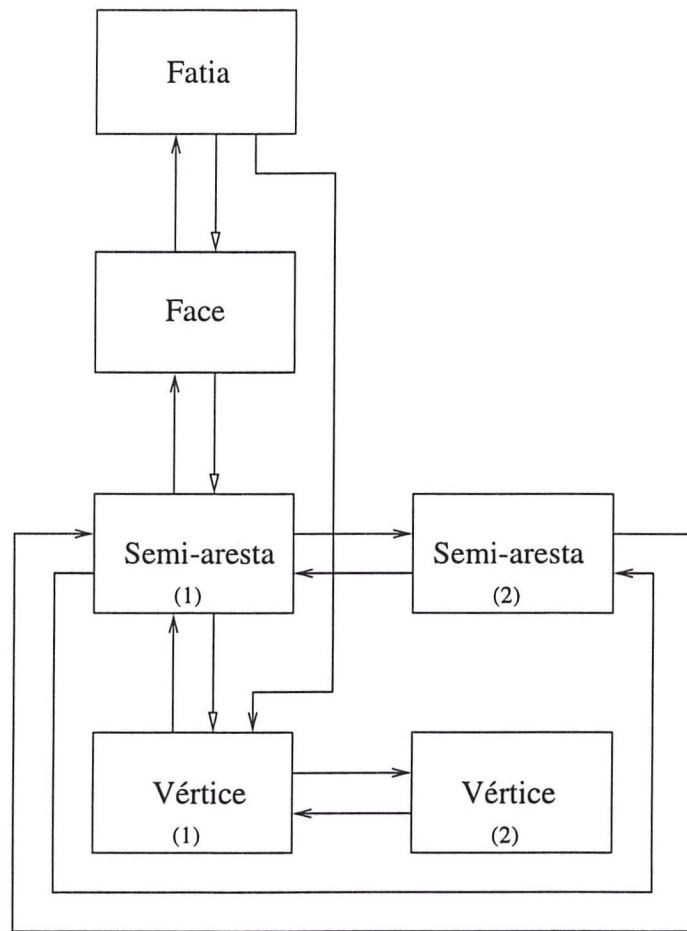


Figura 2.17: Quarto passo para se criar a estrutura de um contêiner do tipo *Cube*

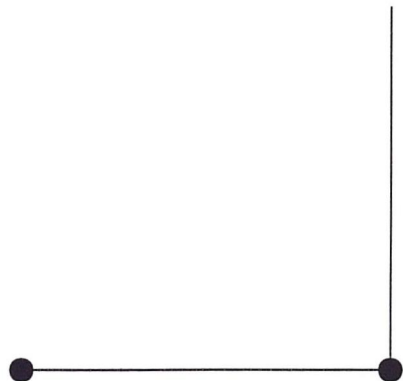


Figura 2.18: Segundo passo para se criar um contêiner do tipo *Cube*

Depois, cria-se o terceiro vértice e a terceira semi-aresta. Como mostra a figura 2.19 na estrutura e 2.20 o objeto.

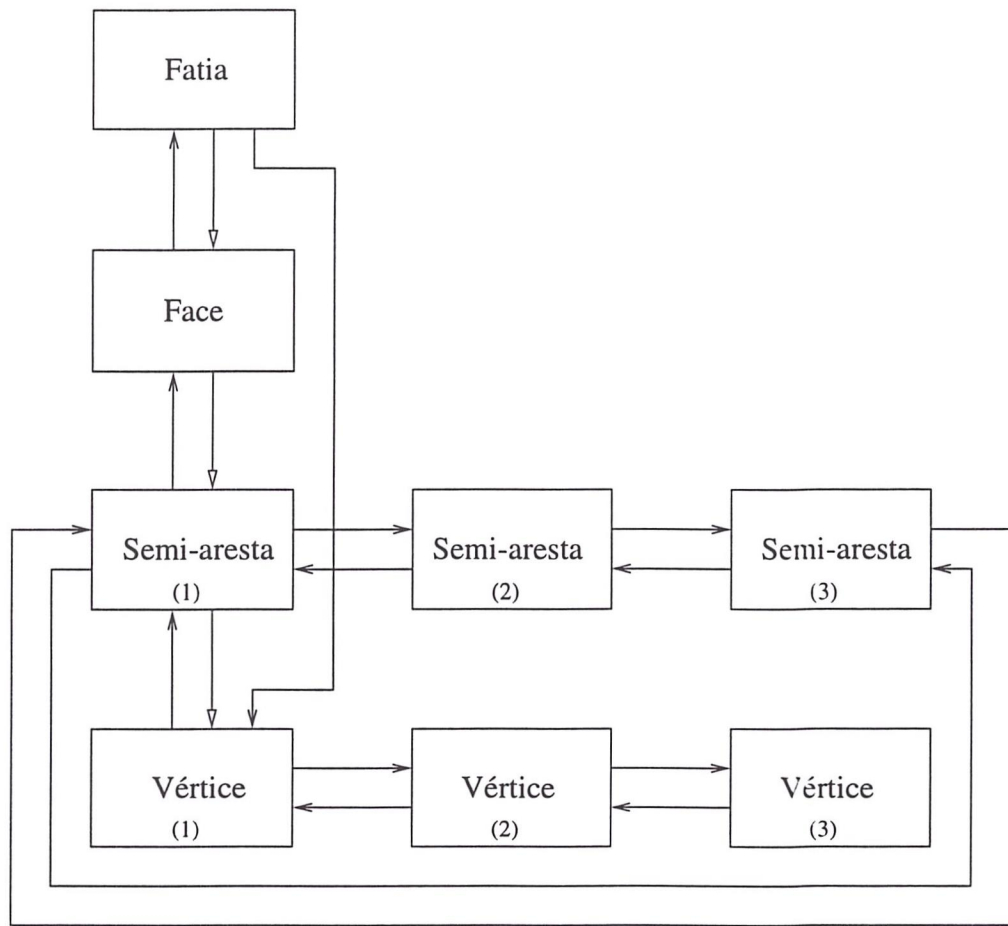


Figura 2.19: Quinto passo para se criar a estrutura de um contêiner do tipo *Cube*

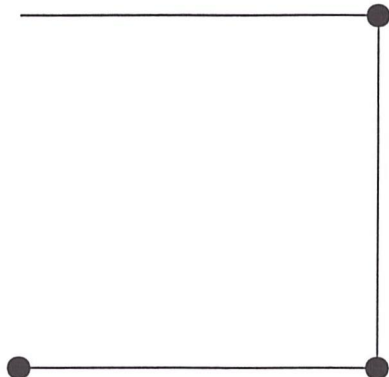


Figura 2.20: Terceiro passo para se criar um contêiner do tipo *Cube*

E por fim, cria-se o quarto vértice e a quarta semi-aresta. Como mostra a figura 2.21 na estrutura e 2.22 o objeto.

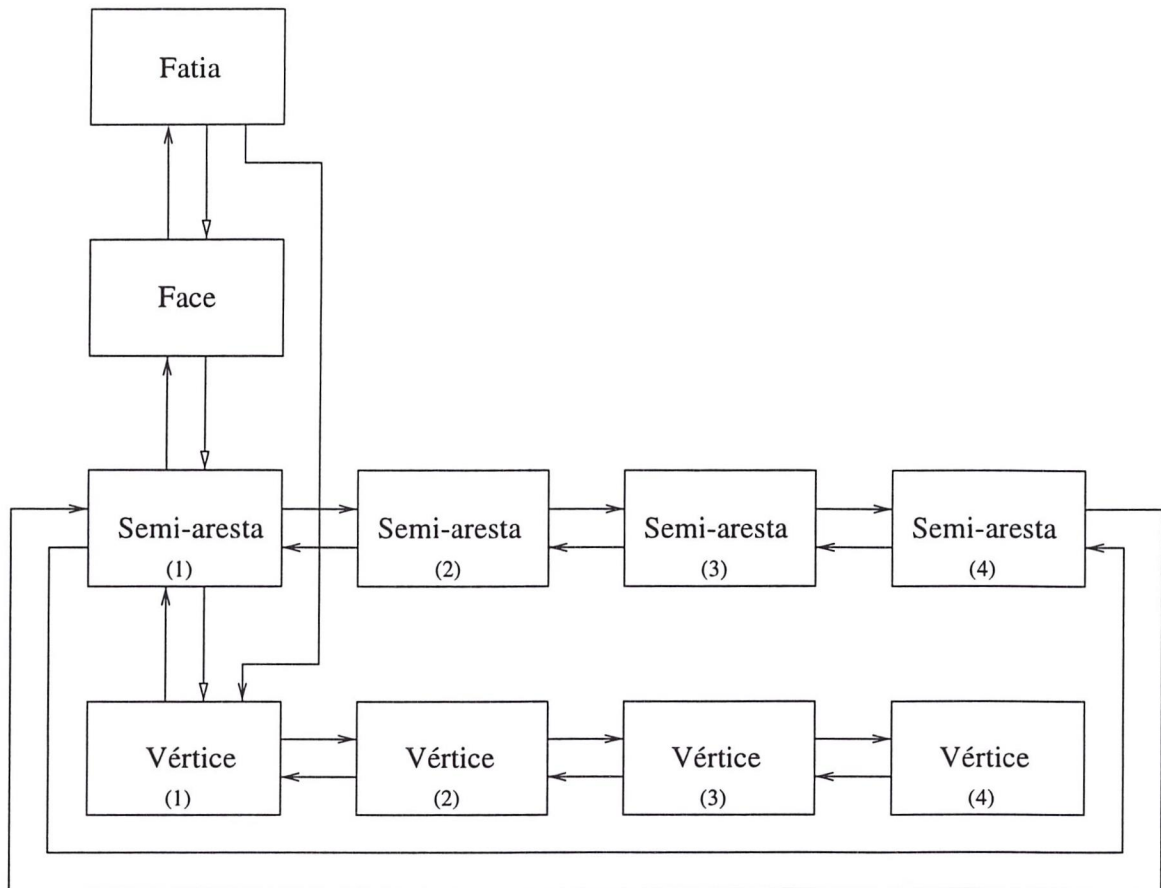


Figura 2.21: Sexto passo para se criar a estrutura de um contêiner do tipo *Cube*

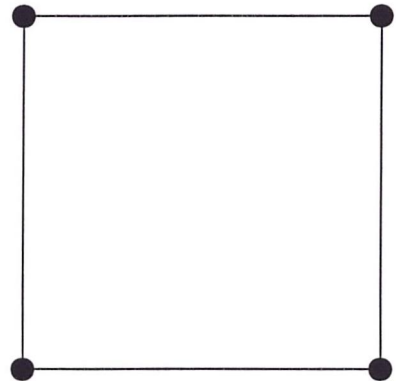


Figura 2.22: Quarto passo para se criar um contêiner do tipo *Cube*

## 2.4 Considerações Finais

Conclui-se então que o modelador de moldes e escoamentos Modflow-2D é de grande importância para o sistema Freeflow-2D, pois é por ele que se faz a especificação de um modelo de escoamento de fluidos que inclui a definição de elementos no domínio do escoamento como moldes, injetores, fluidos e a definição de propriedades do escoamento.

Neste capítulo foi detalhado como é feito as intersecções nas células e como é montada a estrutura dos objetos geométricos.

# Referências Bibliográficas

- [1] OLIVEIRA, J. *Desenvolvimento de um Sistema de Simulação de Escoamentos de Fluidos com Superfícies Livres Bidimensionais*. São Carlos, 1999. p.133. Dissertação (Mestrado) - Instituto de Ciências Matemáticas de São Carlos, Universidade de São Paulo.
- [2] TOMÉ, M. F.; MCKEE, S. *GENSMAC: A Computational Marker-and-Cell Method for Free Surface Flows in General Domains*. J. Comp. Phys., V.110, n.1, pp.171-186, 1994.